

# GPUは専用アクセラレータではないーポストペタスケールへのスケーリングへの本質的な変容

東京工業大学 学術国際情報センター  
教授

松岡 聡

理研シンポジウム  
2011年02月16日

# 「アクセラレータ」の定義



- **高速計算用専用ハードウェア**
  - ▶ 少量生産・特殊マーケット・高価格
  - ▶ ソフトウェアの世代間の継承の困難さ
- **アプリケーション分野の限定**
  - ▶ 特殊な計算処理のみ高速
  - ▶ 「嵌らない」計算はできないか、CPUよりかなり遅い
- **一般的なプログラムの不動作**
  - ▶ 特殊なプログラミング・言語等
  - ▶ ポインタ、リカーション、構造体などの制限
  - ▶ OS等、システムソフトウェアは動かない・連動しない

# 2006年4月東工大 "TSUBAME1.0" 日本一の「みんなのスパコン」

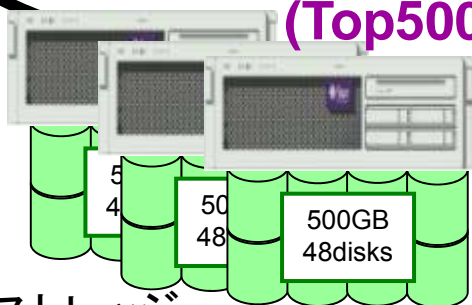
Voltaire ISR9288 Infiniband x8  
10Gbps x2 ~1310+50 Ports  
~13.5Terabits/s  
(3Tbits bisection)



10Gbps+外部  
ネットワーク

Sun/AMD高性能計算クラスター  
(Opteron Dual core 8-Way)  
10480core/655ノード  
50.4TeraFlops  
OS(現状) Linux  
(検討中) Solaris, Windows  
NAREGIグリッドミドル

2006年6月  
アジア No.1, 世界No.7  
38.18Teraflops  
(Top500)



ストレージ

1 Petabyte (Sun "Thumper")  
0.1Petabyte (NEC iStore)  
Lustre ファイルシステム  
>400Gbps



ClearSpeed CSX600  
SIMD accelerator  
360 boards,  
30TeraFlops



# 異種プロセッサを持つ TSUBAMEノードの構成

8 dual-core  
Opteron CPUs  
(16 cores)

Other nodes

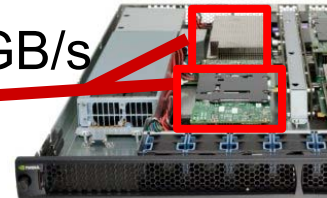
SDR InfiniBand  
1GB/s x 2

**ClearSpeed Accelerator**



PCI-X  
1GB/s

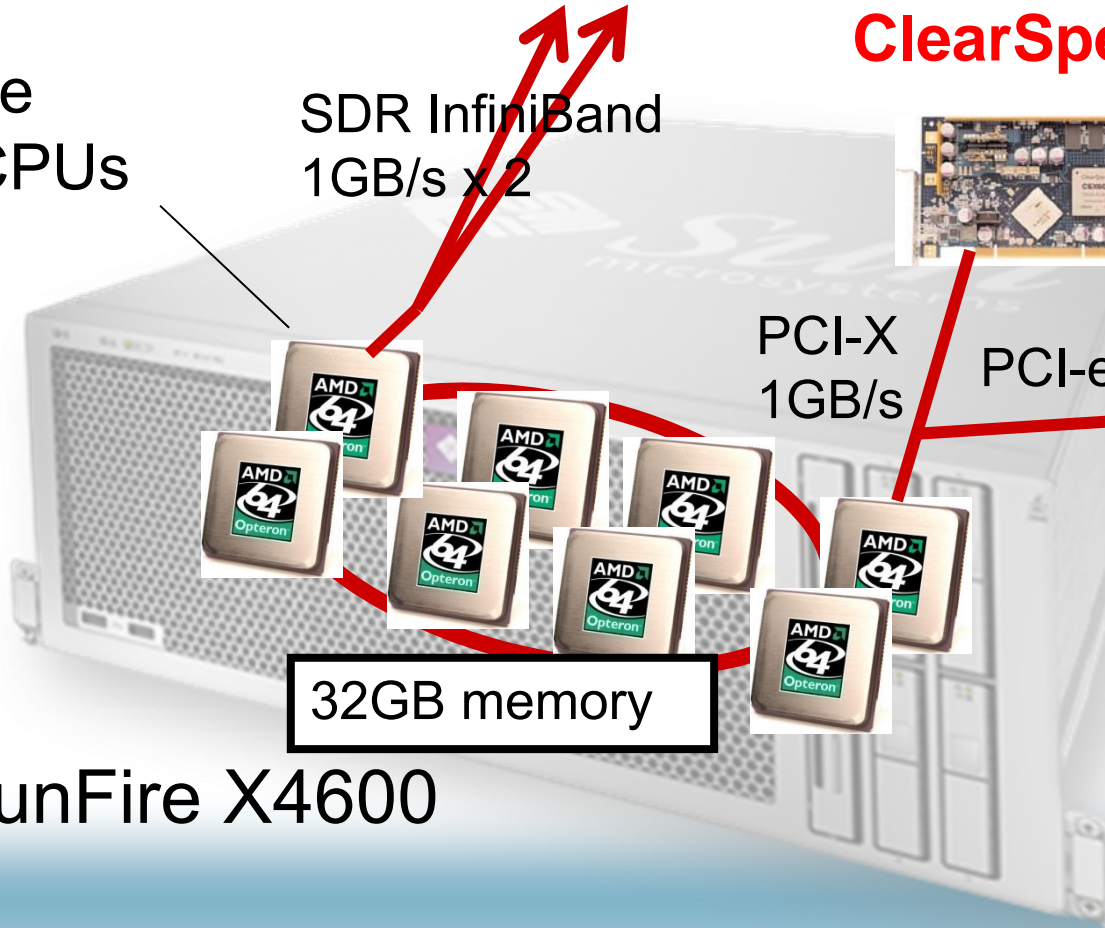
PCI-e x8 2GB/s



Tesla GPU  
2devices

32GB memory

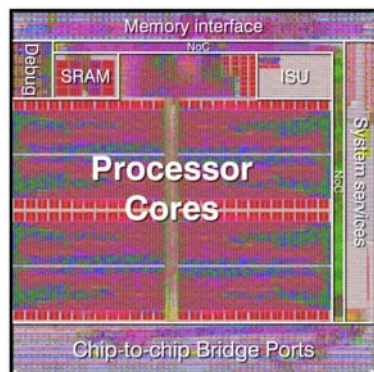
SunFire X4600



# Advance™ Dual CSX600 PCI-X accelerator board



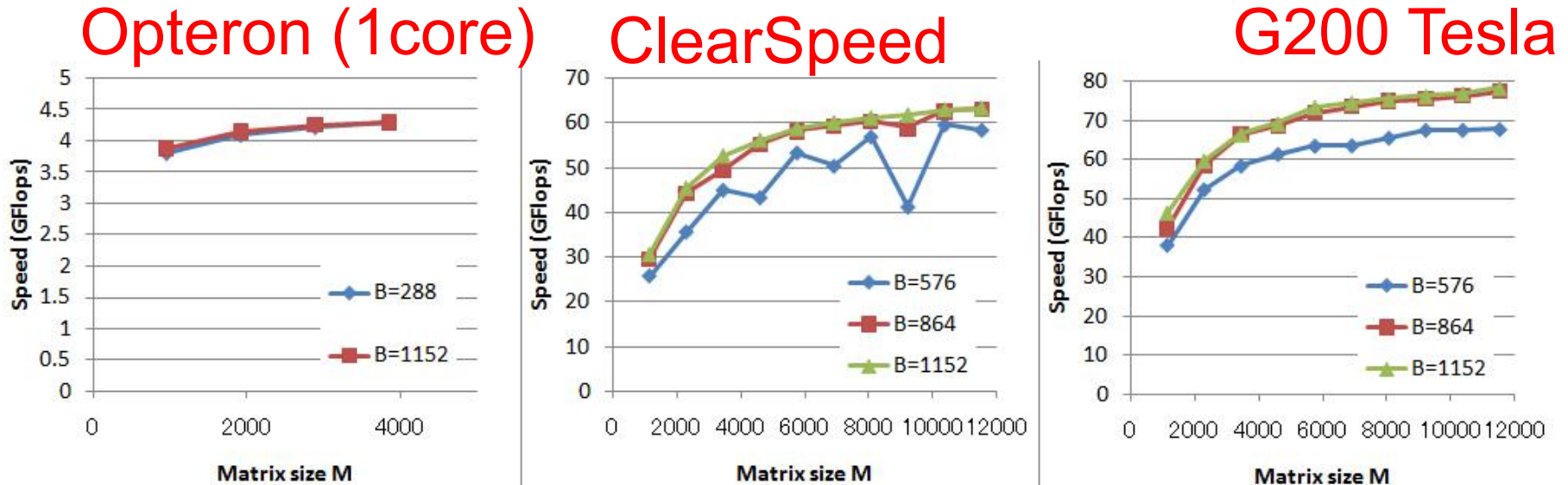
360 boards in TSUBAME1.0  
 -> increase to ~648 in 2007  
 (>50TeraFlops)



- 50 DGEMM GFLOPS sustained
- 0.4 M 1K complex single precision FFTs/s (20 GFLOPS)
- ~200 Gbytes/s aggregate B/W to on-chip memories
- **6.4 Gbytes/s aggregate B/W to local ECC DDR2-DRAM**
- 1 Gbyte of local DRAM (512 Mbytes per CSX600)
- ~1 Gbyte/s to/from board via PCI-X @133 MHz
- < 25 watts for entire card (8" single-slot PCI-X)

# Measured Kernel Performance

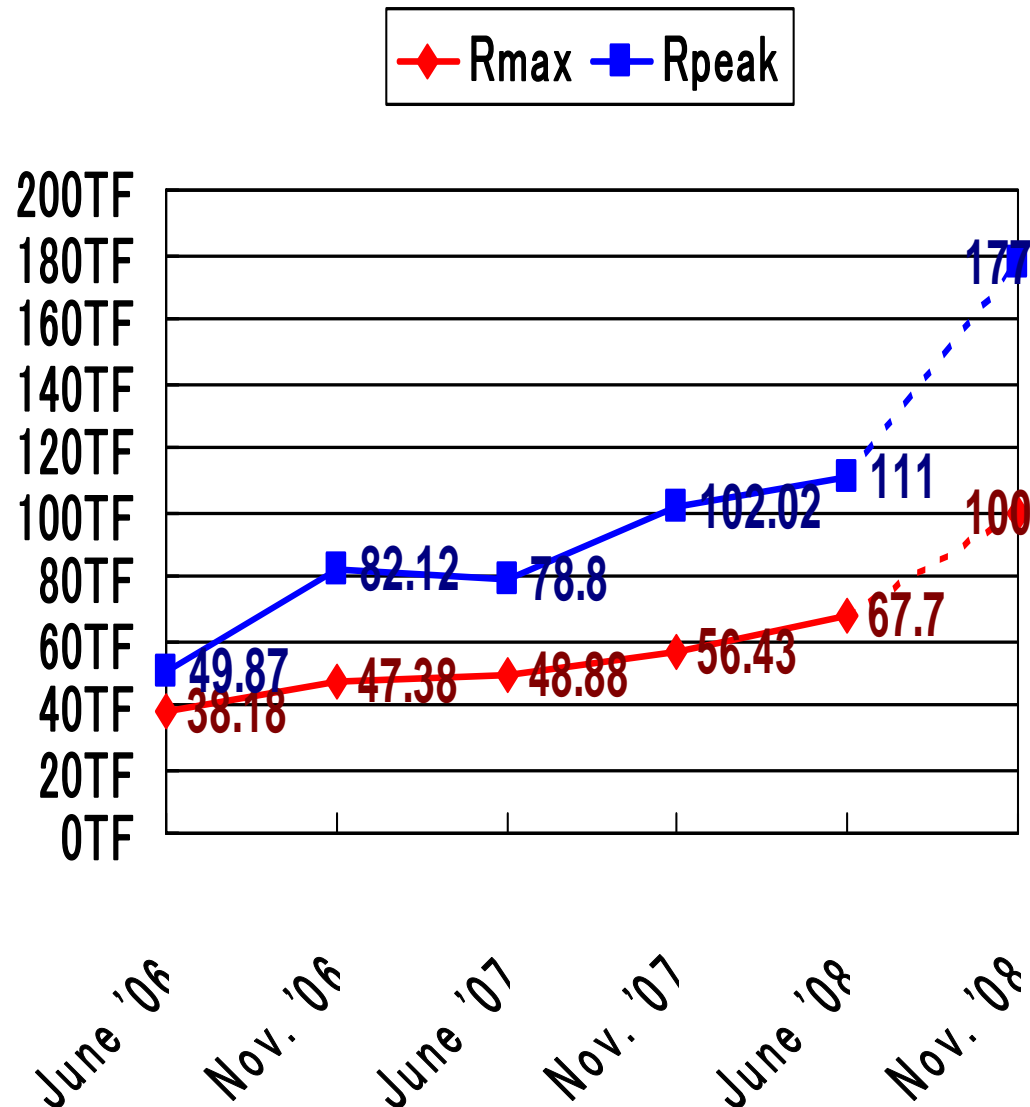
Performance of Multiply of  $(M \times B) \times (B \times M)$



- ◆ Opteron: GotoBLAS by Kazushige Goto
- ◆ ClearSpeed: CSXL by ClearSpeed
  - ◆ Matrix size should be multiple of 288
- ◆ Tesla: NUBLAS from our group

# Results---5 consecutive Top500 Performance Increase

- First ever "Heterogeneous" Architecture on Top500 w/47.38TF (#9 Nov. 2006 28<sup>th</sup> Top 500)
  - 648 nodes 360 Accelerators
- "Heterogeneous HPL" algorithm published @ IEEE IPDPS 2008
- Continued improvements via
  - Adding more Clearspeed boards (648)
  - Algorithmic Improvements
  - Various Tuning
- Now at 67.7 TF for the June 2008 (31<sup>st</sup>) Top500



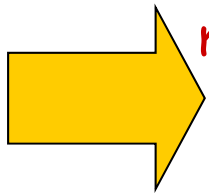
# ClearSpeed Experience: Mode-of Use

- 1. Numerical Library Acceleration
  - Transparent to users (Fortran/C bindings)
  - BLAS/LAPACK, IMSL (Dense LA) - often used
    - Joint CPU-CS acceleration - x2 for TSUBAME
  - BW-intensive kernels very slow - not used
- 2. User Application Acceleration
  - Matlab, Mathematica, Amber10, ...
  - Slow:  $\text{Perf}(\text{Opteron Node}) > \text{Perf}(\text{CS})$  - not used
- 3. User Applications
  - Need MPI-like programming with C-dialect Cn
  - *Hardly any users here...*

**CS Acceleration is extremely “Narrow Band” => Hard to Scale**

# GPUs as Commodity Massively Parallel Vector Processors

- E.g., NVIDIA Tesla, AMD Firestream
  - High Peak Performance > 1TFlops
    - Good for tightly coupled code e.g. Nbody
  - High Memory bandwidth (>100GB/s)
    - Good for sparse codes e.g. CFD
  - Low latency over shared memory
    - Thousands threads hide latency w/zero overhead
  - Slow and Parallel and Efficient vector engines for HPC
  - Restrictions: Limited non-stream memory access, PCI-express overhead, programming model etc.

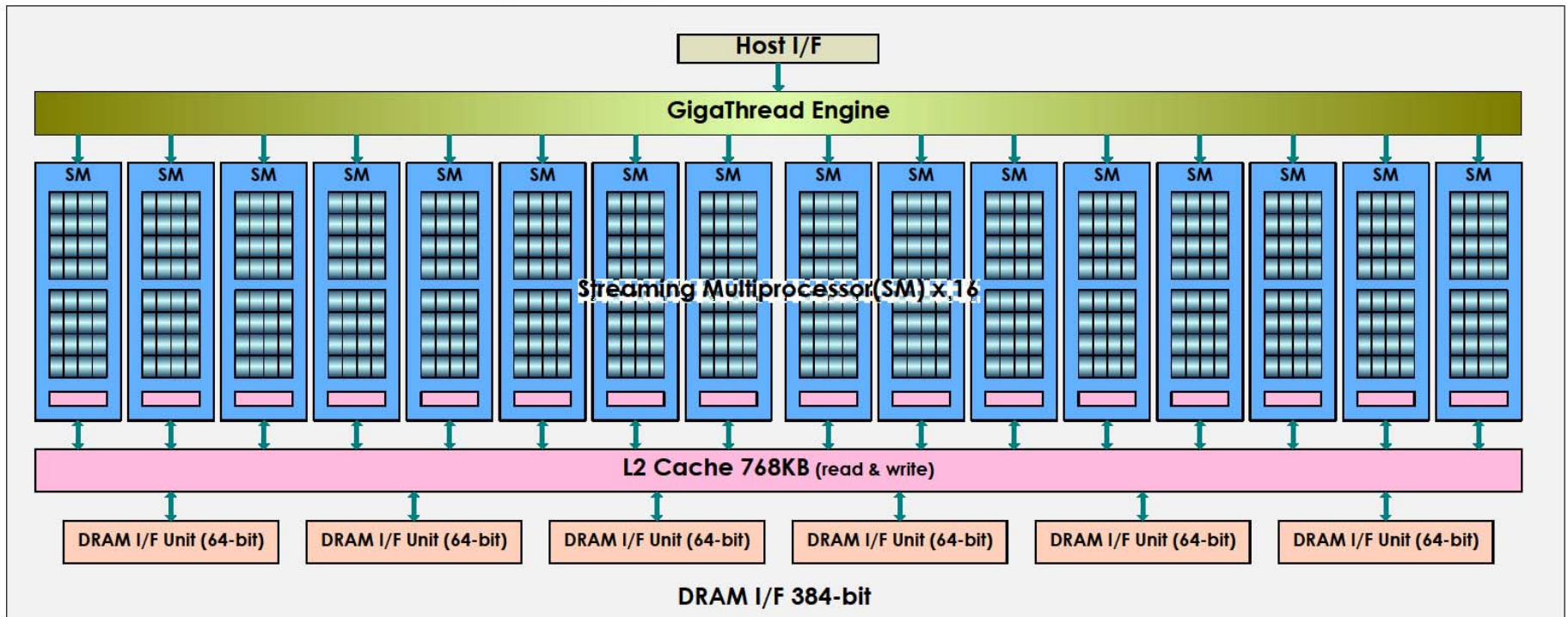


How do we exploit them given vector computing experiences?

# NVIDIA Fermi

## Many Core, Multithreaded, SIMD-Vector, MIMD Parallel Architecture

### Fermi Overview

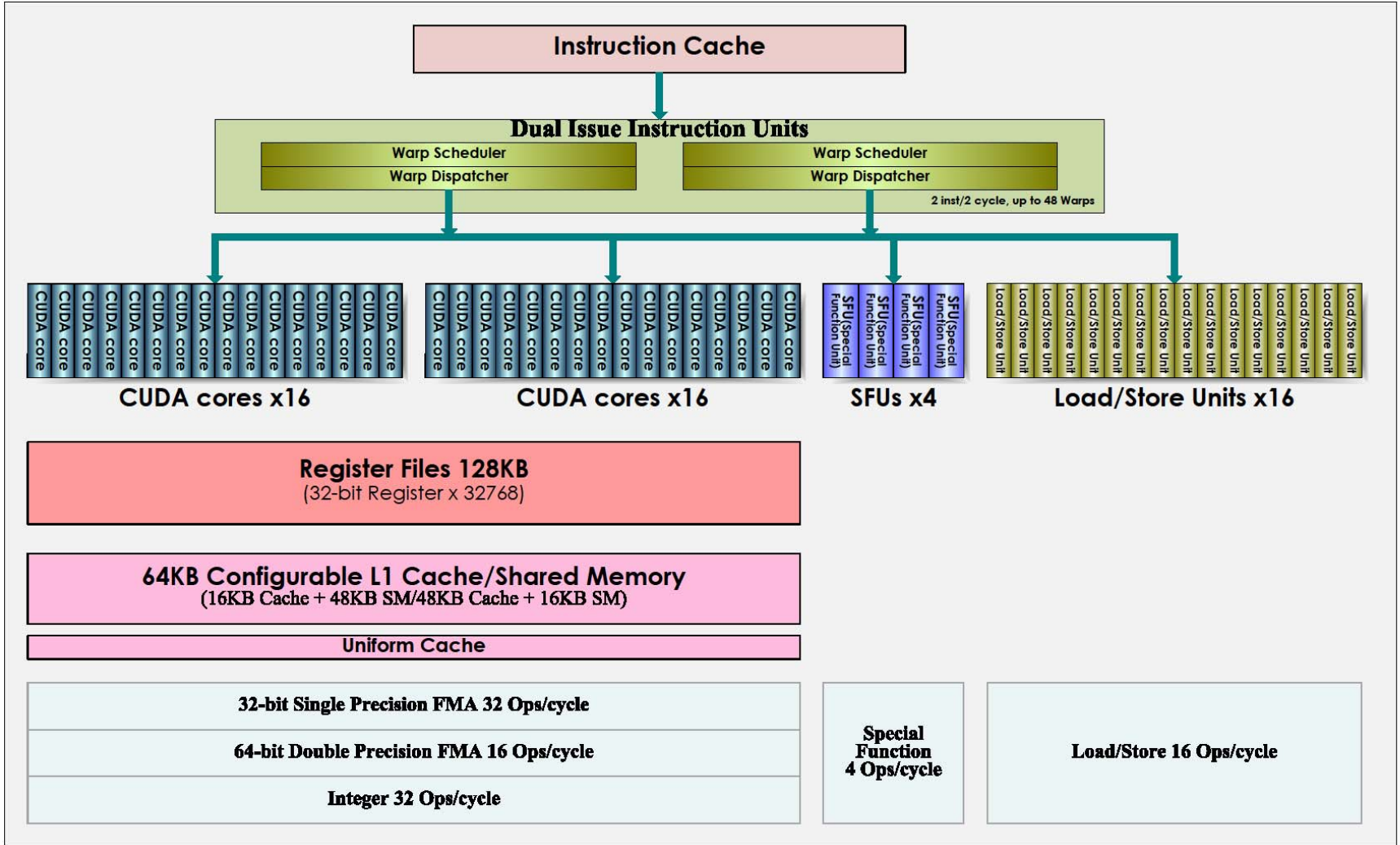


Copyright (c) 2009 Hiroshige Goto All rights reserved.

(Figure by Kazushige Goto)

# NVIDIA Fermi SM "Core"

Fermi Streaming Multiprocessor(SM)

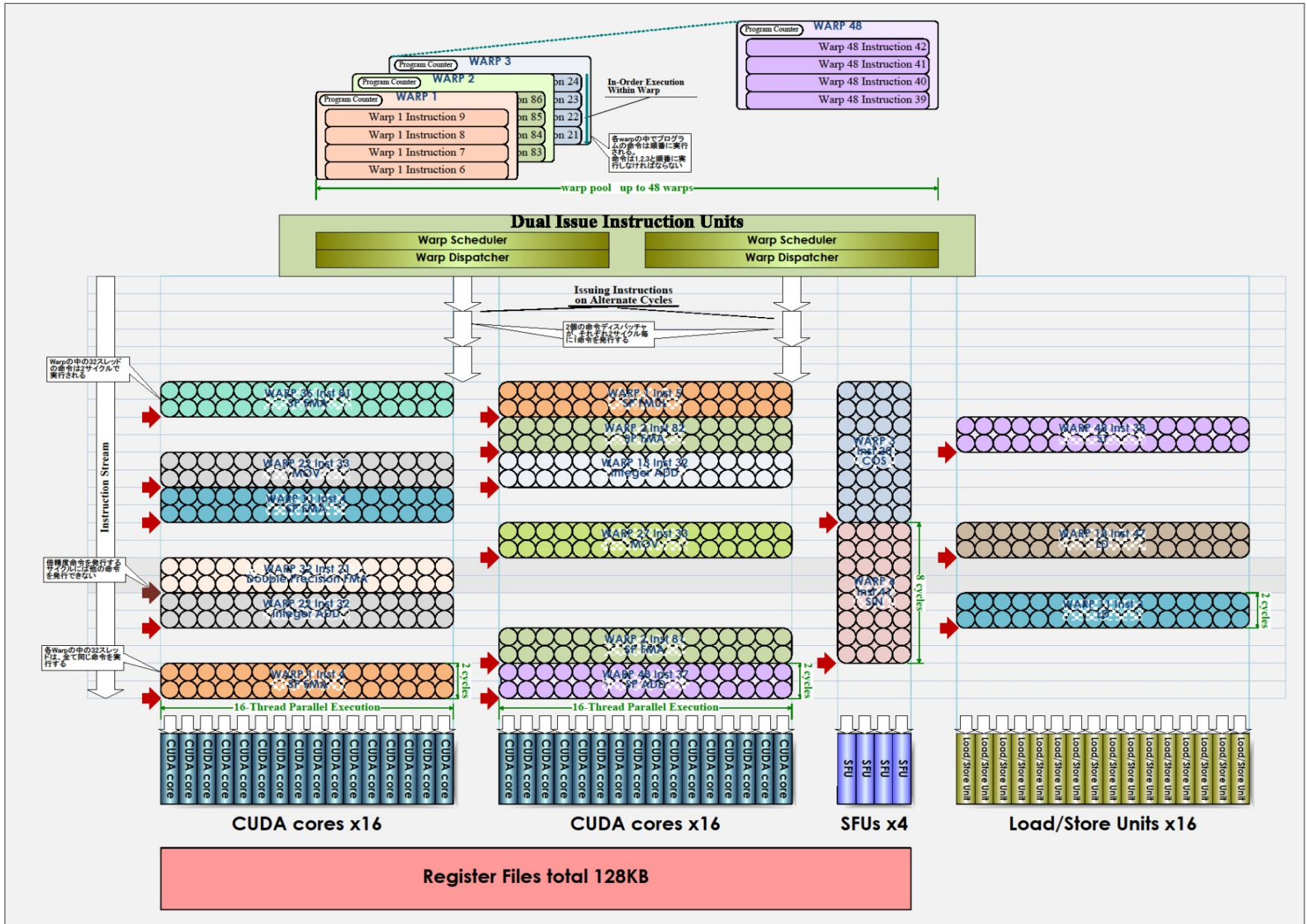


Copyright (c) 2009 Hiroshige Goto All rights reserved.

(Figure by Kazushige Goto)

# Parallelism in CUDA GPUs

- SIMD-Vector Parallelism (WARP)
  - 32 (16) way vector parallelism
- SPMD Thread Parallelism
  - Thousands of threads possible
  - Cyclic pipeline, hides memory latency, like vector processor but allows out-of-order execution
- MIMD Parallelism (Kernel)
  - Up to #SM (16 in Fermi) Kernels with independent instruction streams
- GPU-CPU Heterogeneous Parallelism
  - Streaming Data Transfer Engine via PCI-e
  - Massive Parallelism: GPU, Short Latency: CPU
  - In single chip sharing memory in Denver generation



(Figure by Kazushige Goto)

# Fermi: MIMD Execution of CPU threads and Multiple GPU Kernels

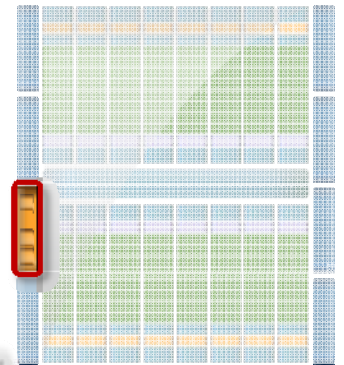
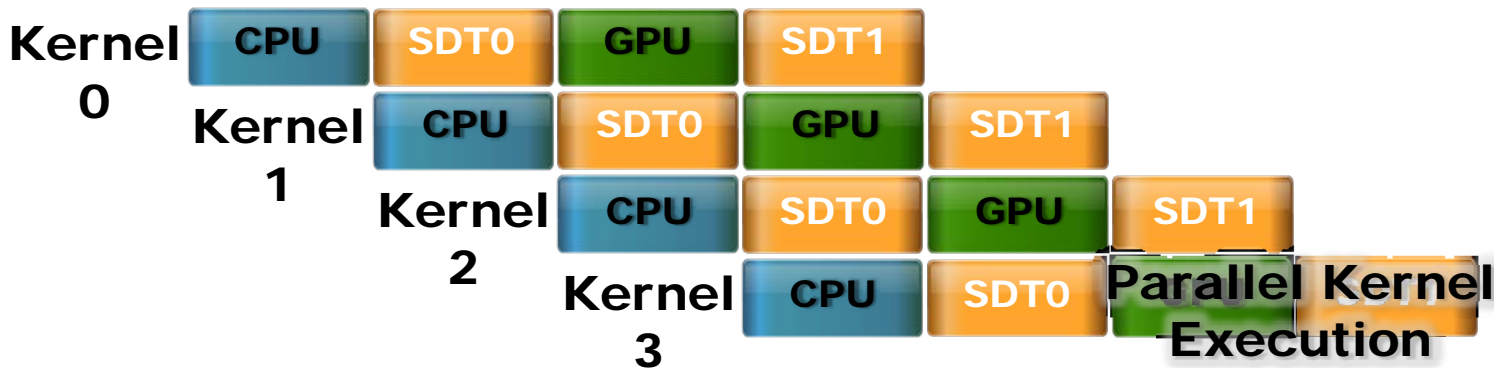
複数Kernel同時実行 + 高速コンテキストスイッチ

SM毎に異なる命令ストリームに割り当て可能  
 ⇒16並列のタスクパラレル+内部の細粒度SIMD並列



## GigaThread Streaming Data Transfer Engine

- CPU→GPU 及び GPU→CPU データ転送の同時実行
  - CPU と GPUの完全に並列実行をオーバーラップ可能

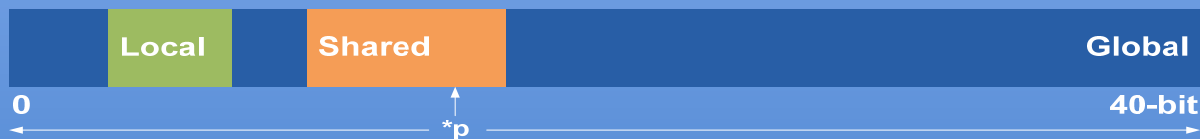


# • Fermi における統合アドレススペース C/C++ ポインターのフルサポート

## Non-unified Address Space

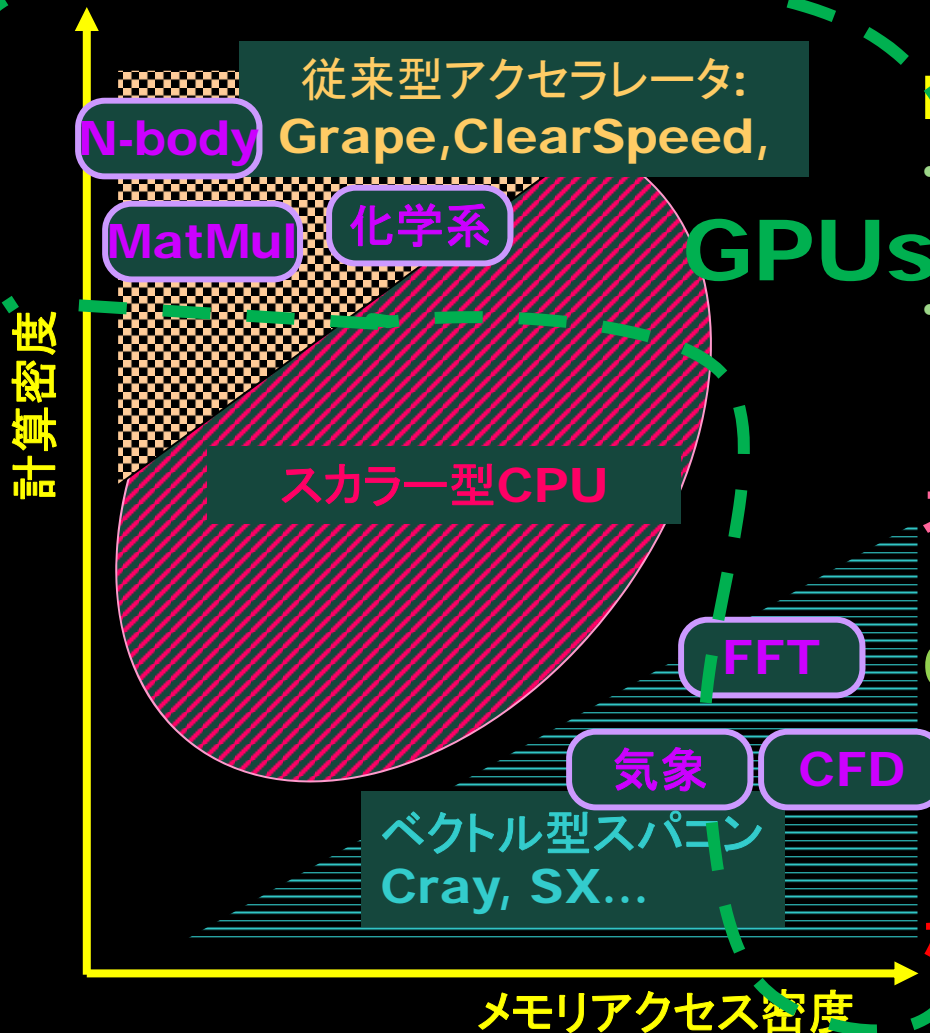


## Unified Address Space



- 将来は、GPUs/CPUの統合アドレッシング
- Barcelona SC: GMA (非対称共有メモリ)
  - CUDA XXX (ごめんなさい言えません)
  - NVIDIA Denver, HPC用 AMD Fusion

# 新世代のベクトル計算機としてのGPU



NPCのワークロードとして、二つのタイプ

- ・ 計算密度が高い「密問題」  
→従来型のアクセラレータが得意
- ・ メモリアクセス密度が高い「粗問題」  
→ベクトル型スパコンが得意

スカラー型CPUはどちらもそこそこ

→高性能を得るために巨大並列化

GPUは、新世代のベクトルプロセッサと、  
計算密度が高いアクセラレータとしての  
両面を持つ

→効率の良いスパコンの主要素

ただし、少ないメモリ量・CPUや他GPUとの  
通信・GPU向アルゴリズムやアプリ・  
ベクトル並列のプログラミング手法・  
システムソフトウェア等の技術課題

東工大GSICでの  
研究開発

# Compute Intensive or Memory Bound ?

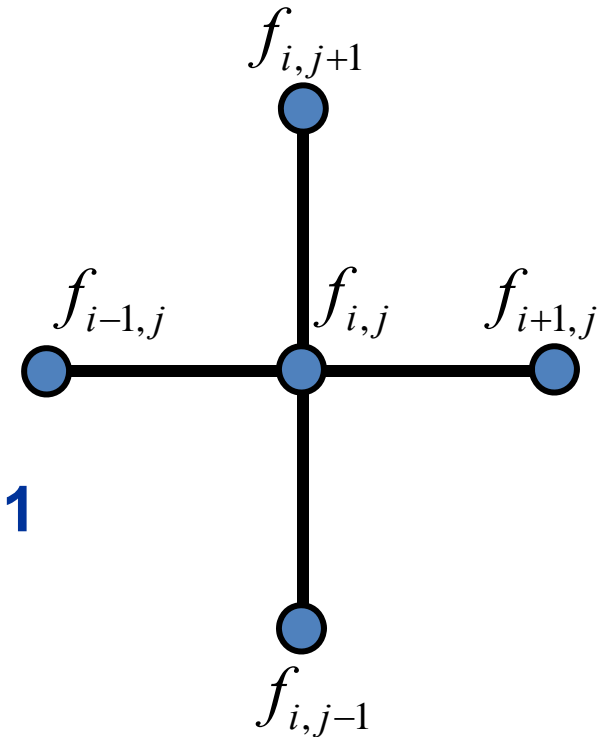


## 2-dimensional diffusion Equation

$$\frac{f_{i,j}^{n+1} - f_{i,j}^n}{\Delta t} = \kappa \left( \frac{f_{i+1,j}^n - 2f_{i,j}^n + f_{i-1,j}^n}{\Delta x^2} + \frac{f_{i,j+1}^n - 2f_{i,j}^n + f_{i,j-1}^n}{\Delta y^2} \right)$$



$$f_{i,j}^{n+1} = c_0 f_{i,j}^n + c_1 f_{i+1,j}^n + c_2 f_{i-1,j}^n + c_3 f_{i,j+1}^n + c_4 f_{i,j-1}^n$$



**FLOP = 9**

**Byte = 4\*6 = 24 byte : read 5, write 1**

**FLOP/Byte = 9/24 = 0.375**

# Arithmetic INTENSITY: FLOP/Byte



**FLOP** = number of FP operation for applications

**Byte** = Byte number of memory access for applications

**F** = Peak Performance of floating point operation

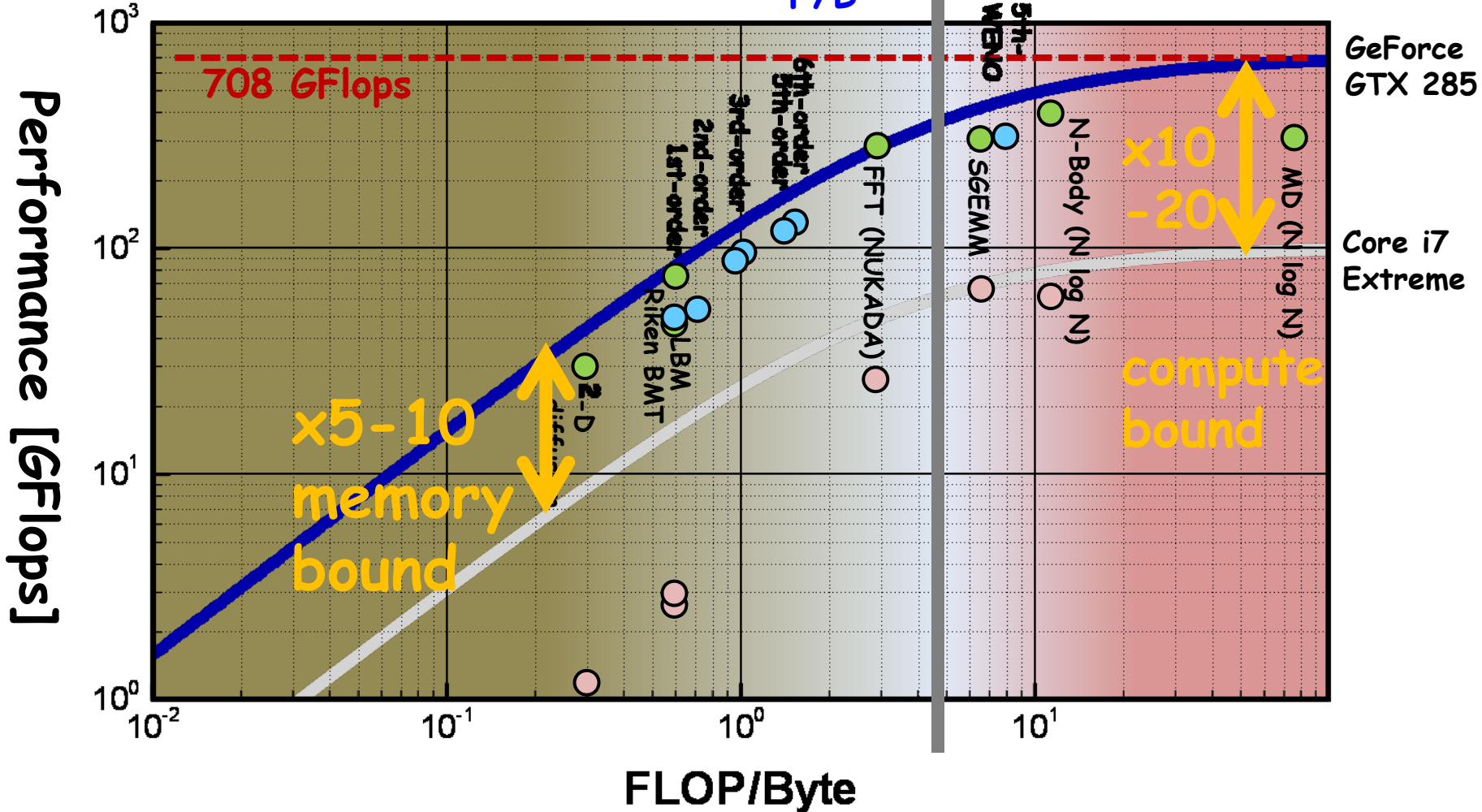
**B** = Peak Memory Bandwidth

$$\begin{aligned} \text{Performance} &= \frac{\text{FLOP}}{\text{FLOP}/F + \text{Byte}/B + \alpha} \\ &= \frac{\text{FLOP/Byte}}{\text{FLOP/Byte} + F/B + \alpha} F \end{aligned}$$

# GPU vs. CPU Performance

Roofline model: Williams, Patterson 2008  
 Communications of the ACM

$$\text{FLOP/Byte} = \frac{F}{B}$$



# DOE のキーアプリケーション群

(following slides courtesy John Shalf @ LBL NERSC)

NAME	Discipline	Problem/Method	Structure
MADCAP	Cosmology	CMB Analysis	Dense Matrix
FVCAM	Climate Modeling	AGCM	3D Grid
CACTUS	Astrophysics	General Relativity	3D Grid
LBMHD	Plasma Physics	MHD	2D/3D Lattice
GTC	Magnetic Fusion	Vlasov-Poisson	Particle in Cell
PARATEC	Material Science	DFT	Fourier/Grid
SuperLU	Multi-Discipline	LU Factorization	Sparse Matrix
PMEMD	Life Sciences	Molecular Dynamics	Particle



# アプリケーションにはバンド幅？レーテンシ？ Latency Bound vs. Bandwidth Bound?

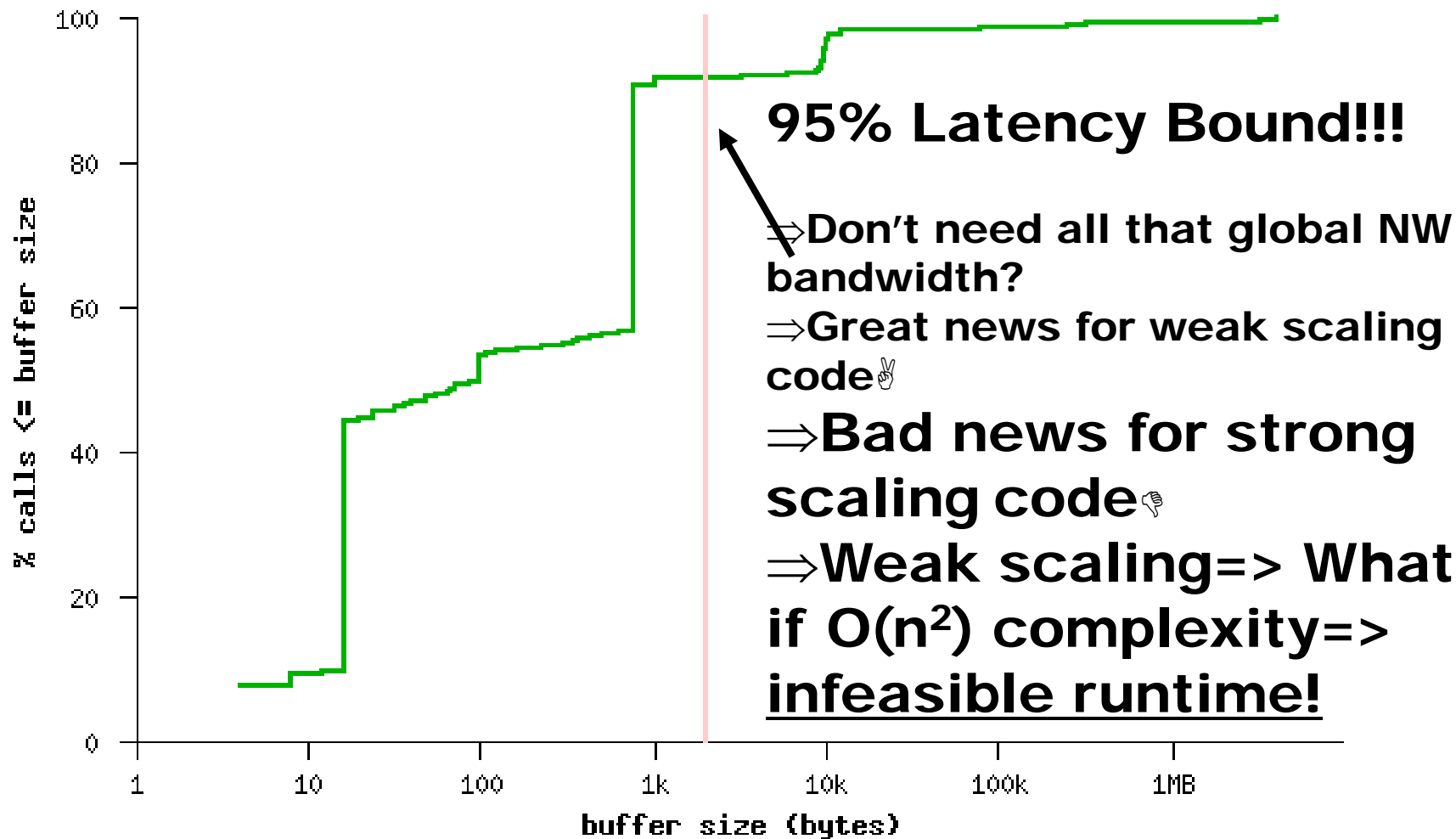
- How large does a message have to be in order to saturate a dedicated circuit on the interconnect?
  - ▶  $N^{1/2}$  from the early days of vector computing
  - ▶ Bandwidth Delay Product in TCP

System	Technology	MPI Latency	Peak Bandwidth	Bandwidth Delay Product
SGI Altix	Numalink-4	1.1us	1.9GB/s	2KB
Cray X1	Cray Custom	7.3us	6.3GB/s	46KB
NEC ES	NEC Custom	5.6us	1.5GB/s	8.4KB
Myrinet Cluster	Myrinet 2000	5.7us	500MB/s	2.8KB
Cray XD1	RapidArray/IB4x	1.7us	2GB/s	3.4KB

- Bandwidth Bound if msg size  $>$  Bandwidth\*Delay
- Latency Bound if msg size  $<$  Bandwidth\*Delay
  - Except if pipelined (*unlikely with MPI due to overhead*)
  - W/HW DMA a few 100ns but not much more

# 多くの実問題は実はレーテンシバウンド -小規模メッセージパッシングプロセッサの問題-

Collective Buffer Sizes for All Codes



# ペタからエクサへのスケーリング

## 強スケーリング達成のためには

### ● レイテンシをなるべく短く

- ▶ Extreme multi-core incl. vectors
- ▶ "Fat" nodes, exploit short-distance interconnection
- ▶ Direct cross-node DMA (e.g., put/get for PGAS)

### ● でなければ、レイテンシを隠す

- ▶ Dynamic multithreading (Old: dataflow, New: GPUs)
- ▶ Trade Bandwidth for Latency (so we do need BW...)
- ▶ Departure from simple mesh system scaling

### ● レイテンシに敏感なアルゴリズムを変更

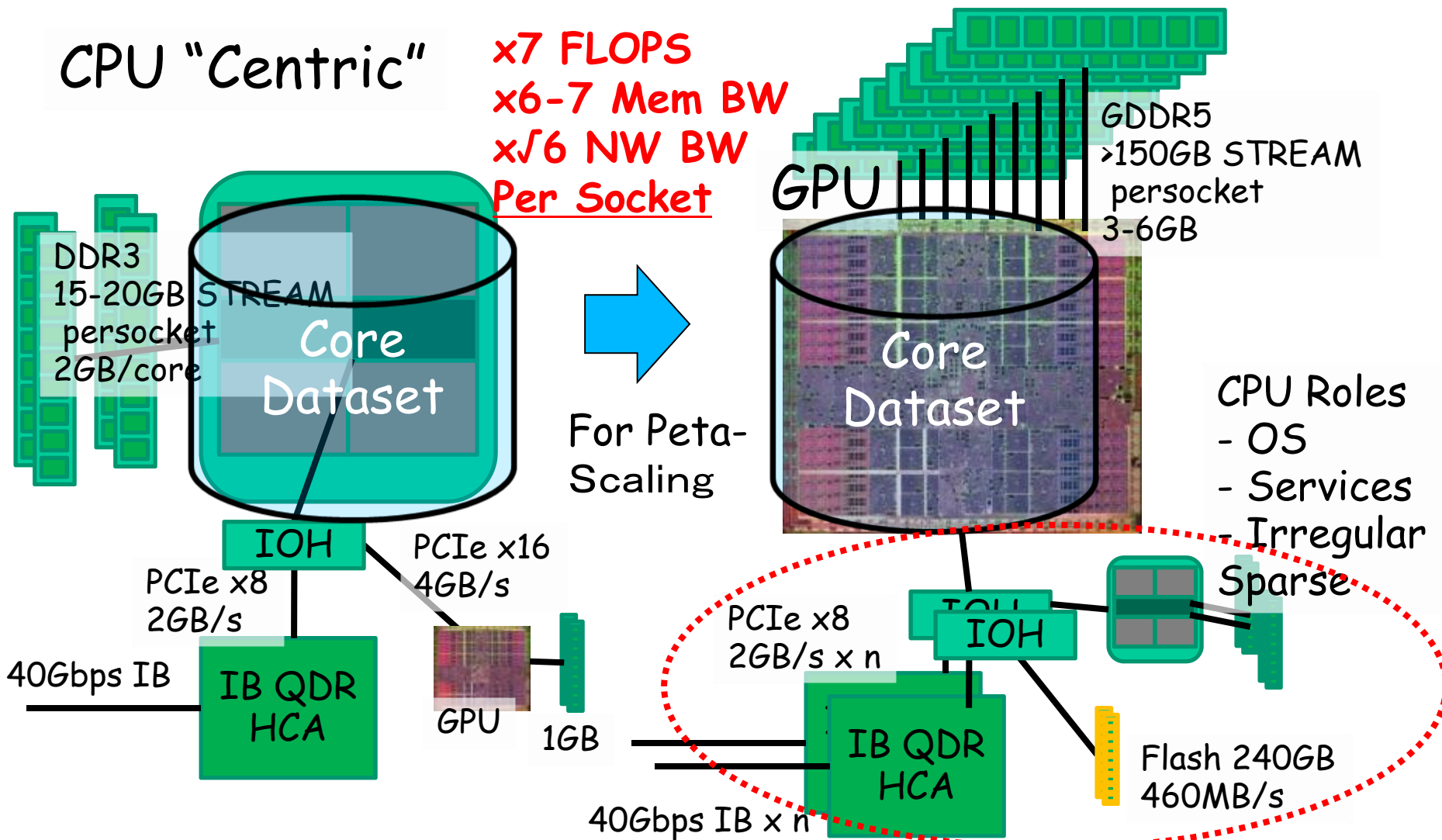
- ▶ From implicit Methods to direct/hybrid methods
- ▶ Structural locality, extrapolation, stochastics (MC)
- ▶ Still may require global bandwidth for implicit solvers

# TSUBAME2.0のノードアーキテクチャ

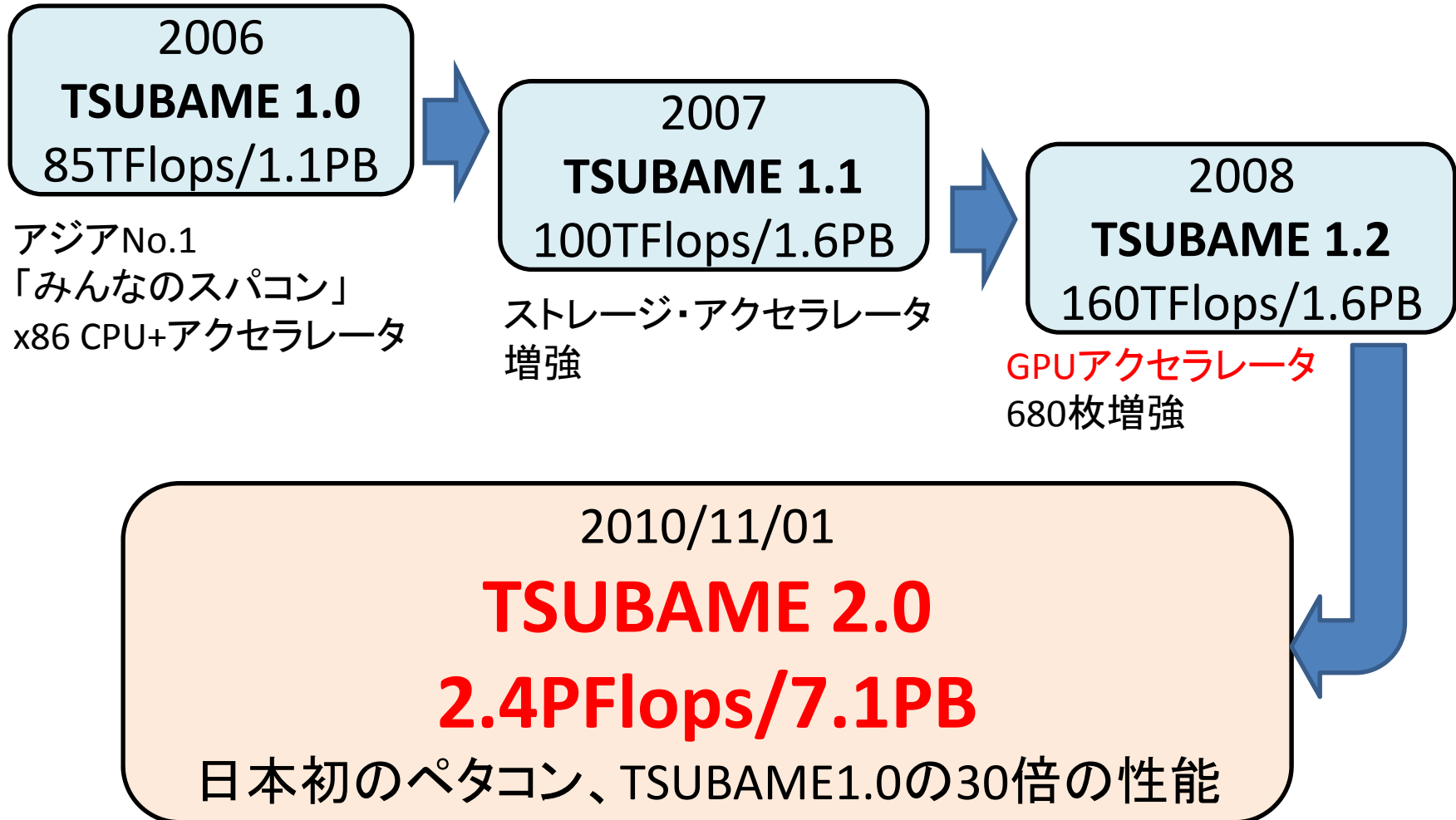
## GPU+CPUによるベクトル・スカラー混合アーキテクチャ

CPU "Centric"

x7 FLOPS  
 x6-7 Mem BW  
 x√6 NW BW  
Per Socket



# TSUBAMEの歴史



- TSUBAME初の完全リプレイス

# Highlights of TSUBAME 2.0 Design (Oct. 2010) w/NEC-HP

## 2.4 PF Next gen multi-core x86 + next gen GPGPU

- ▶ 1432 nodes, Intel Westmere/Nehalem EX
- ▶ 4224 NVIDIA Tesla (Fermi) M2050 GPUs
- ▶ ~100,000 total CPU and GPU "cores", High Bandwidth
- ▶ **1.9 million "CUDA cores", 32K x 4K = 130 million CUDA threads(!)**



## 0.72 Petabyte/s aggregate mem BW,

- ▶ Effective 0.3-0.5 Bytes/Flop, restrained memory capacity (100TB)

## Optical Dual-Rail IB-QDR BW, full bisection BW(Fat Tree)

- ▶ **200Tbits/s**, Likely fastest in the world, still scalable

## Flash/node, ~200TB (1PB in future), **660GB/s I/O BW**

- ▶ >7 PB IB attached HDDs, 15PB Total HFS incl. LTO tape

## Low power & efficient cooling, comparable to TSUBAME 1.0 (~1MW); **PUE = 1.28** (60% better c.f. TSUBAME1)

## Virtualization and Dynamic Provisioning of **Windows HPC** + Linux, job migration, etc.

# TSUBAME2.0 2010年11月1日稼働開始



## TSUBAME2.0: A GPU-centric Green 2.4 Petaflops Supercomputer

### Tsubame 2.0: "Tiny" footprint, very power efficient

- Floorspace less than 200m<sup>2</sup> (2,100 ft<sup>2</sup>)
- Top-class power efficient machine on the Green 500

System  
(42 Racks)  
1408 GPU Compute Nodes,  
34 Nehalem "Fat Memory" Nodes

Rack  
(8 Node Chassis)



2.4 PFLOPS  
80 TB

Node Chassis  
(4 Compute Nodes)



6.7 TFLOPS  
220 GB/412 GB

Compute Node  
(2 CPUs,3 GPUs)



1.6 TFLOPS  
55 GB/103 GB

Chip  
(CPU ,GPU)



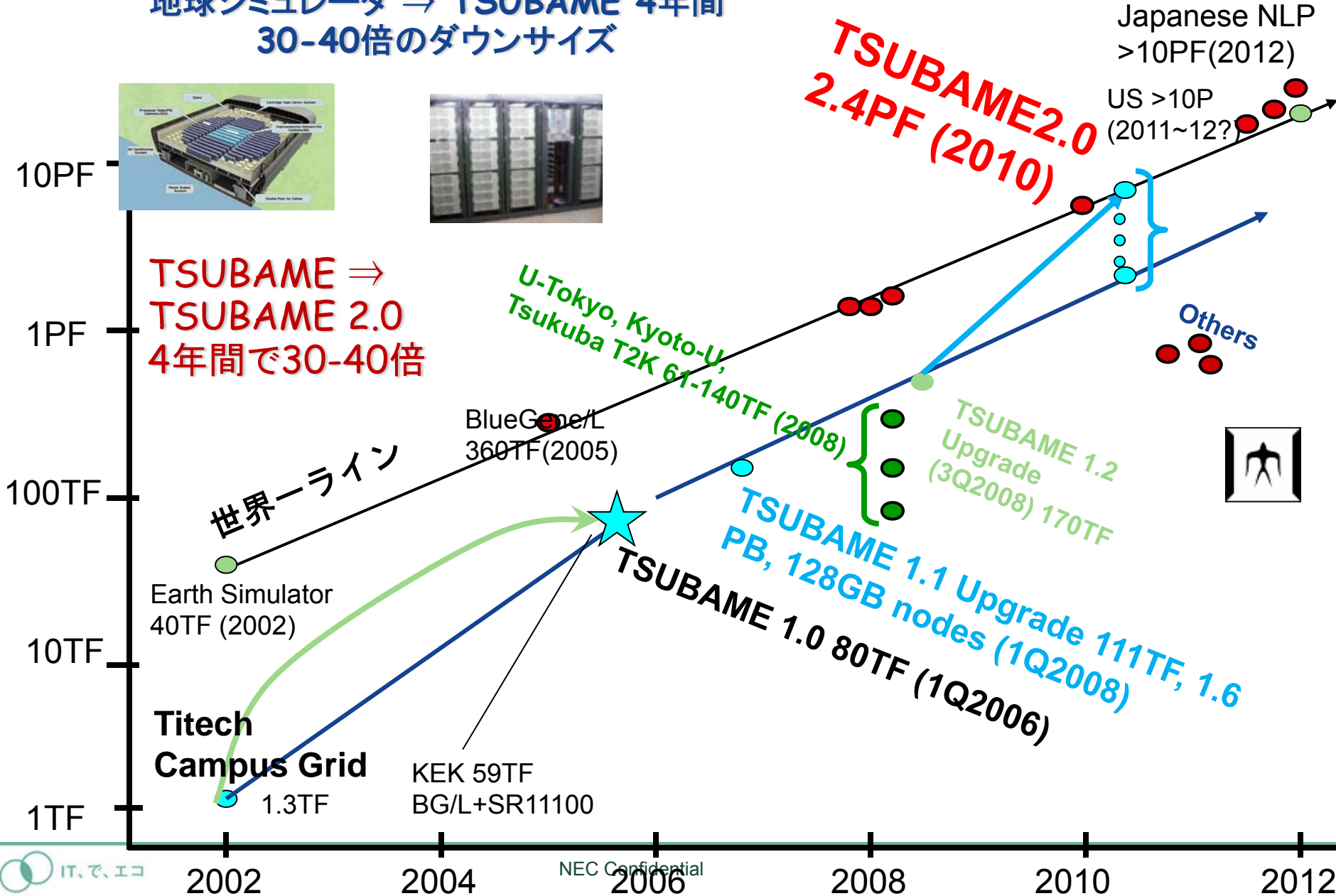
CPU(Westmere EP)  
76.8 GFLOPS

GPUs(Tesla M2050)  
515 GFLOPS  
3 GB

Integrated by NEC Corporation

# TSUBAME2.0の性能向上

地球シミュレータ ⇒ TSUBAME 4年間  
30-40倍のダウンサイズ





**~50 compute racks + 6 switch racks  
Two Rooms, Total 160m<sup>2</sup>**

**1.4MW (Max, Linpack), 0.48MW (Idle)**



# TSUBAME2.0システム概念図

## Thin計算ノード

HP SL390z G7 x1408

- \*CPU:215.99TFlops
- \*CPU+GPU  
2391.35TFlops
- \*Memory 80.55TB
- \*SSD 173.88TB



## Medium計算ノード

HP DL580 G7 x24

- \*CPU:6.14TFlops
- \*Memory 3.07TB
- \*SSD 11.52TB



## Fat計算ノード

HP DL580 G7 x10

- \*CPU:2.56TFlops
- \*Memory 3.07TB
- \*SSD 4.8TB



## 計算ノード

2.4PFlops (CPU+GPU)

種別	ノード数	CPU Clock	Memory	SSD
Thin	1367 41	2.93GHz	54GiB	120GB
		2.93GHz	96GiB	240GB
Medium	24	2.0GHz	128GiB	480GB
Fat	8 2	2.0GHz	256GiB	480GB
		2.0GHz	512GiB	480GB

InfiniBand Network  
Voltaire GridDirector 4700  
12 switches

ノード間相互結合網

FatTree接続 ノンブロッキング・フルバイセクション

並列ファイルシステム領域  
5.93PB

ペタバイト級ストレージ

ホーム領域  
1.2PB

7.13PB

1180TB  
590disks

1180TB  
590disks

1180TB  
590disks

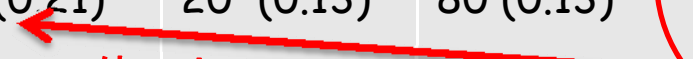
1180TB  
590disks

1180TB  
590disks

1200TB  
600disks

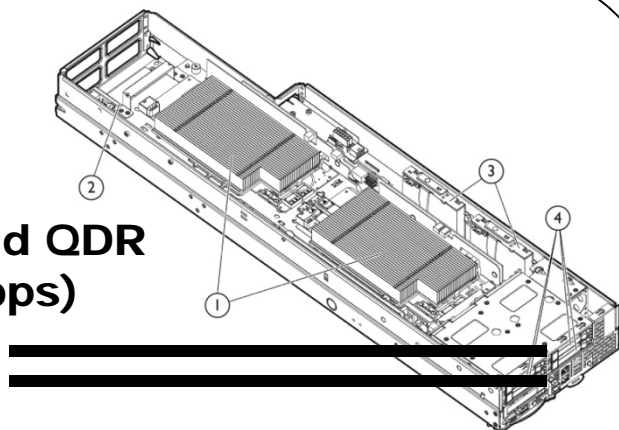
	TSUBAME 1 (2006年, 22億円)	T2K東大 (2008年, 90億円)	TACC Ranger (2008年, 60億円?)	TSUBAME2.0 (2010年, 32億円)
Cores/Node	16	16	16	12(CPU)+1344(GPU)
Node Mem BW(GBytes/s)	20	20	20	64(CPU)+450(GPU)
Node Network BW (Gbps)	20	40	10	80
#Nodes	655	952	3,936	1408(Thin) + 34(Med/Fat)
#Cores (Total)	10,480(CPU)	15,232	62,976	17,664(CPU)+189万(GPU)
# GPUs/Accelerators	360 (ClearSpeed)	0	0	<b>4224 (Tesla M2050)</b>
<b>理論 Peak TFLOPS (倍精度)</b>	80	141	579	<b>2400</b>
<b>合算メモリバンド幅(TB/s) (Flops/Byte)</b>	17 (0.21)	20 (0.13)	80 (0.13)	<b>~720 (0.3)</b> 高バンド幅 ベクトル スカラー混合
<b>ネットワークバイセクション(Tbps)</b>	6	41	80	<b>&gt;200</b>
Memory (Tbytes)	21	30	126	100
Linpack (倍精度-TFLOPS)	48	102	433	<b>&gt;1000</b>
<b>合算 3D-FFT 256^3 (TFLOPS)</b>	~13	~20	~80	<b>~700 (GPU only)</b>
<b>HDD Storage (Raw TBytes)</b>	1100	1500	1700	<b>7130</b>
Local SSD Storage/BW (Raw TBytes) (Bandwidth TByte/s)	0/0	0/0	0/0	<b>~200 (0.66PByte/s)</b>
Energy(Incl. Cooling)	850KW/年	~1MW/年	2.4MW Year	<b>~1MW/年</b>
Compute Racks	65	70?	~100	<b>~44</b>

40倍以上



# TSUBAME2.0 Compute Nodes

## Thin Node



Infiniband QDR  
x2 (80Gbps)

**HP SL390G7 (Developed for  
TSUBAME 2.0)**

GPU: NVIDIA Fermi M2050 x 3  
515GFlops, 3GByte memory /GPU  
CPU: Intel Westmere-EP 2.93GHz x2  
(12cores/node)  
Memory: 54, 96 GB DDR3-1333  
SSD: 60GBx2, 120GBx2

IB QDR



PCI-e Gen2x16 x2  
NVIDIA Tesla  
S1070 GPU

HP 4 Socket Server  
CPU: Intel Nehalem-EX 2.0GHz x4  
(32cores/node)  
Memory: 128, 256, 512GB DDR3-1066  
SSD: 120GB x4 (480GB/node)

1408nodes:

4224GPUs: 59,136 SIMD Vector  
Cores, 2175.36TFlops (Double FP)

2816CPUs, 16,896 Scalar Cores:  
215.99TFlops

Total: 2391.35TFLOPS

Memory: 80.6TB (CPU) + 12.7TB  
(GPU)

SSD: 173.9TB

34 nodes:  
8.7TFlops

Memory:  
6.0TB+GPU

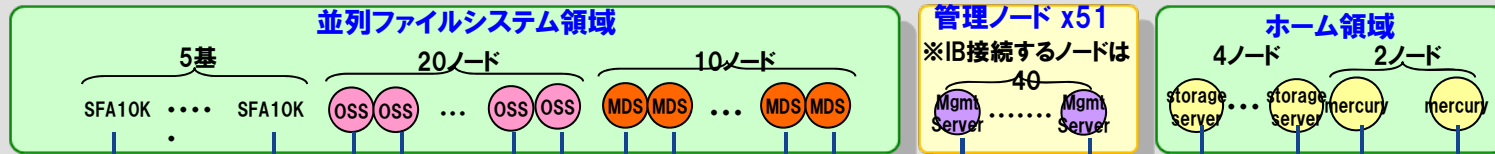
SSD: 16TB+

Total Perf  
**2.4PFlops**  
**Mem: ~100TB**  
**SSD: ~200TB**





# TSUBAME2.0ノード間相互結合網



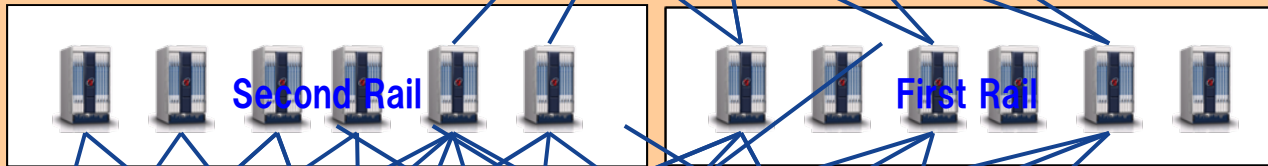
10Gb Ethernet x2

10Gb Ethernet x10

Voltaire Grid Director 4036E x6 + Grid Director 4036 x1

**世界一クラスのバイセクションバンド幅 (200Tbps)  
約3000本の光ファイバ**

Voltaire Grid Director 4700 x12



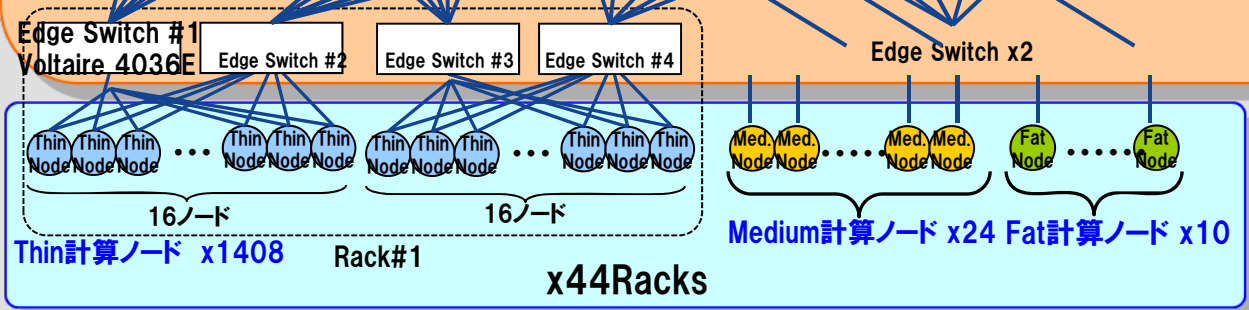
Sun SL8500  
Tape 8PB HFS

RENKEI-POP



SINET 3  
JGN 10Gps  
HPCI

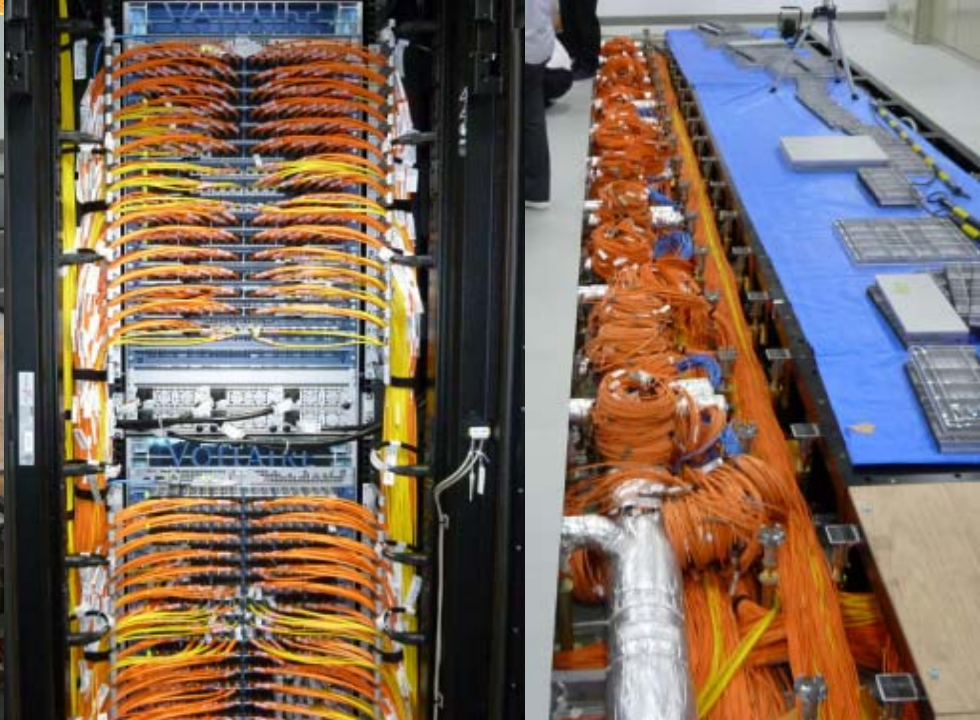
**フルバイセクションFat Tree・ノンブロッキング・光ネットワーク**



TSUBAME2.0ネットワーク全体図



3500 Fiber Cables > 100Km



# TSUBAME 2.0ペタバイト級ストレージ

1) 各ノードの短期記憶用SSD、2) Lustre/GPFSを利用した「並列ファイルシステム領域」、NFS,CIFS,iSCSIを備えた「ホーム・クラウドサービス用領域」のHDD群、および 3) 長期保存用テープシステムで構成

## Lustre 並列ファイルシステム領域

MDS:HP DL360 G6 x10

-CPU:Intel Westmere-EP x2 socket (12コア)

-メモリ:51GB (=48GiB)

-IB HCA:IB 4X QDR PCI-e G2 x1port

OSS:HP DL360 G6 x20

-CPU:Intel Westmere-EP x2 socket (12コア)

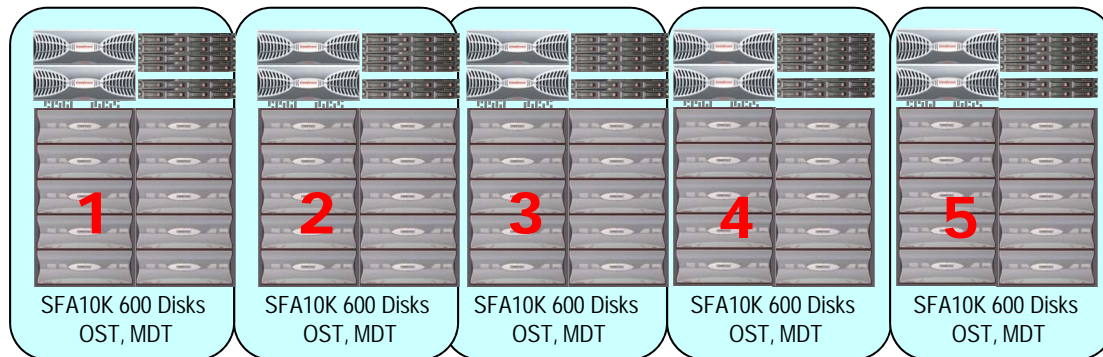
-メモリ:25GB (=24GiB)

-IB HCA:IB 4X QDR PCI-e G2 x2port

ストレージ:DDN SFA10000 x5

-Total容量:5.93PB

2TB SATA x 2950 Disks + 600GB SAS x 50 Disks



並列ファイルシステム領域 5.93PB

## ホーム・クラウドサービス用領域

NFS/CIFS用:HP DL380 G6 x4

-CPU:Intel Westmere-EP x2 socket (12コア)

-メモリ:51GB (=48GiB)

-IB HCA:IB 4X QDR PCI-e G2 x2port

NFS/CIFS/iSCSI アクセラレーション:BlueArc Mercury100 x2

-10GbE x2

ストレージ:DDN SFA10000 x1

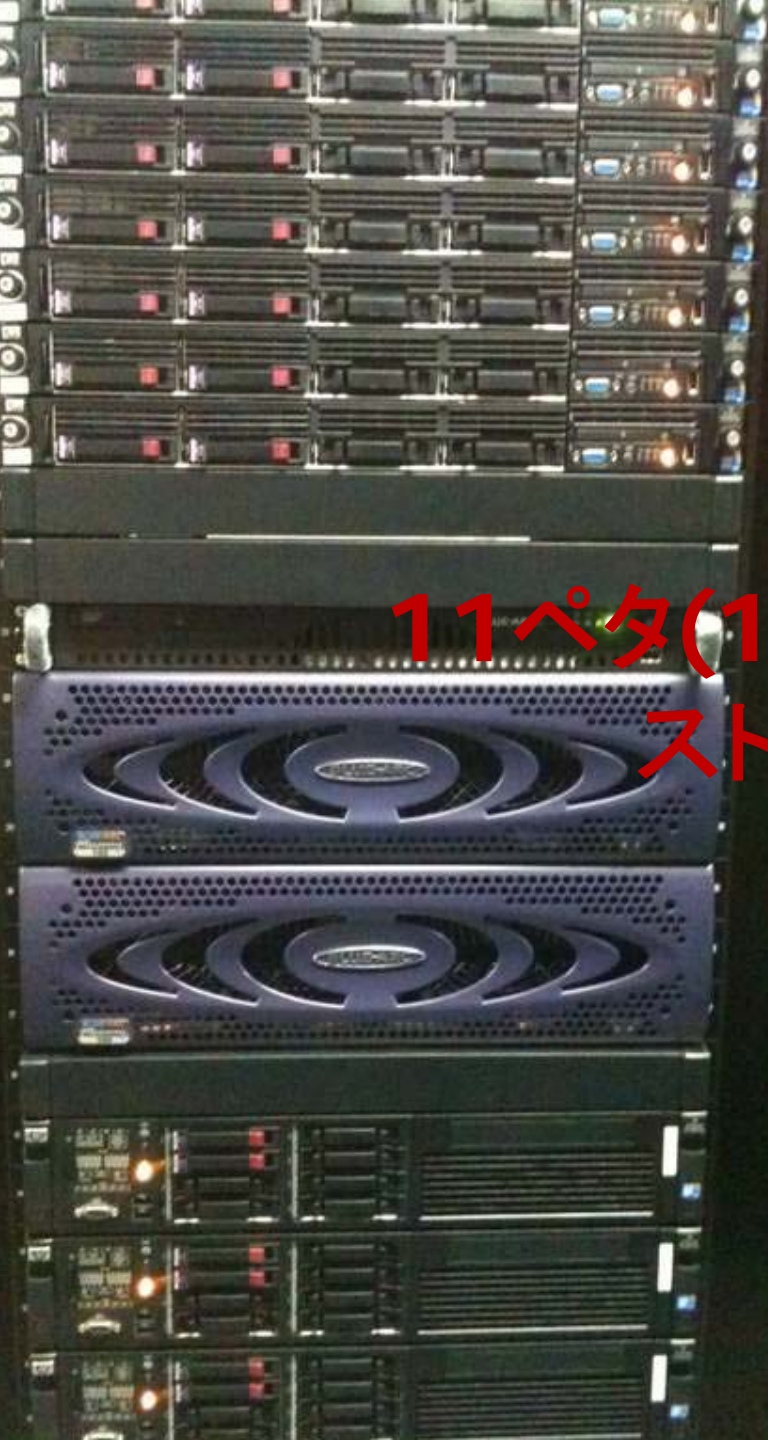
-Total容量:1.2PB

2TB SATA x 600 Disks



ホーム領域 1.2PB

約200TB SSD+7.13PB HDD + 約8PBテープ(予定)の大容量階層ストレージ  
合算15ペタバイト: 全国大学基盤センター群合算の数倍の容量



11ペタ(10<sup>15</sup>)バイトの  
ストレージ

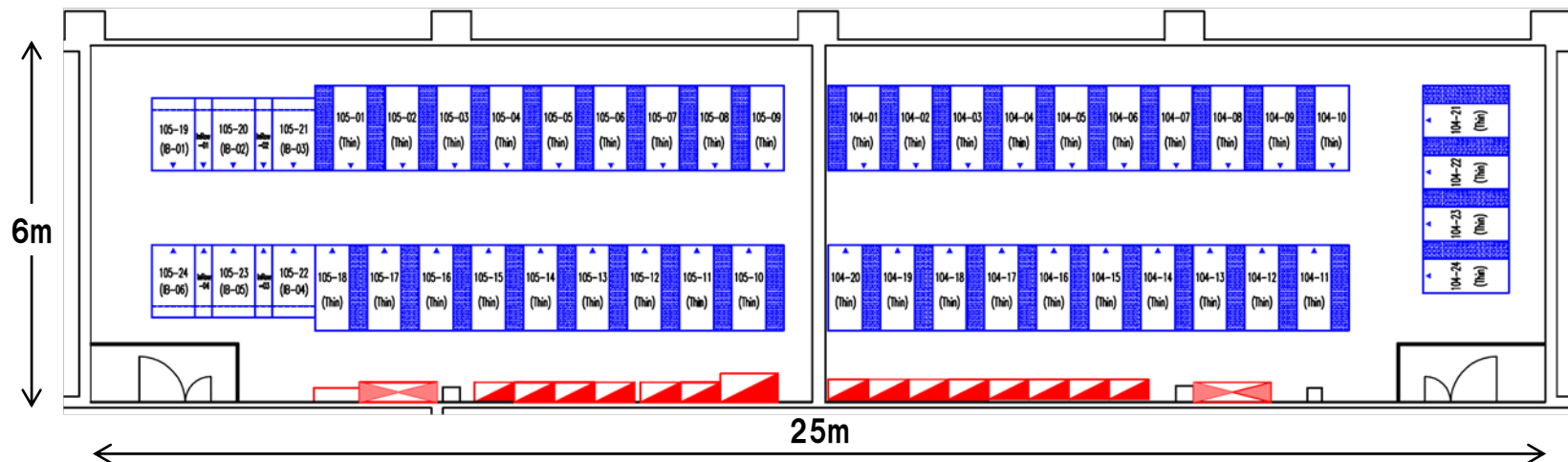


# TSUBAME2.0 (Green: 施設関連)

## 超省スペース化

- TSUBAME1.2よりも狭いスペースに、2倍以上のNode数を設置  
約2PFlops越えの計算能力を約150m<sup>2</sup>のスペースに収容

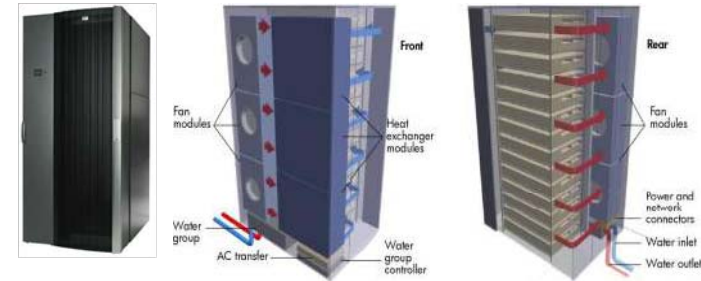
【1階マシン室レイアウト】



# TSUBAME2.0(Green:施設関連)

## 超高密度実装Rackの冷却

- 水冷ラックによる, 35kW/Rackの冷却を実現
  - HP社製MCSラック導入により, サーバ吸気口に均質な冷却風を提供



## 年間PUE1.28の実現

- 大規模水冷システム構築
  - 高効率チラー採用により, 付帯設備電力を削減
  - 効率の良い冷却設備を使用することにより平均電力を削減
  - 施設関連のデータを業務管理システムにリアルタイムで供給し、施設管理も含めたITシステム統合管理



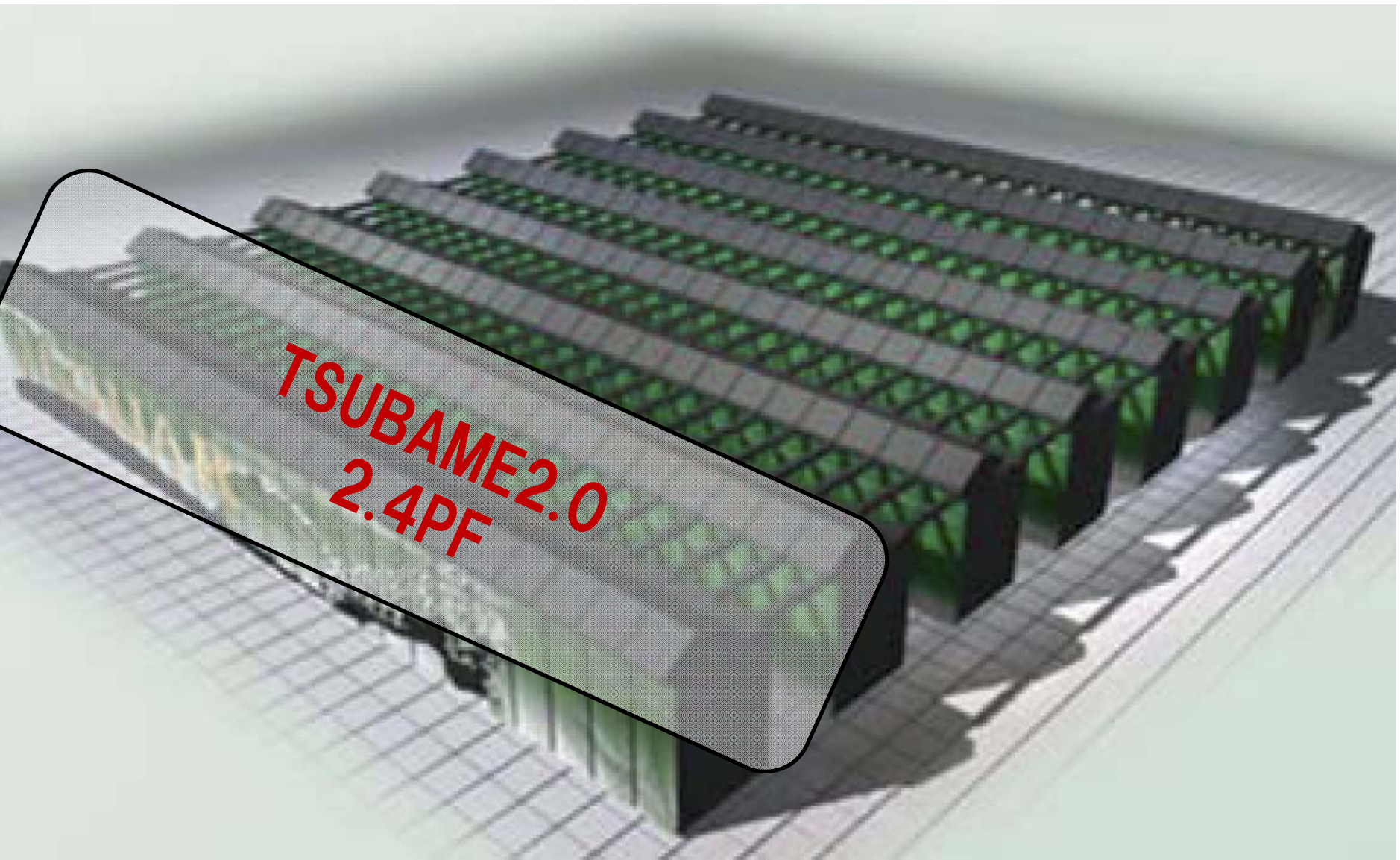
## 大量ケーブルの配線

- ラック間IBケーブル:約3,500本(約100,000m)を配線
  - ※TSUBAME1.2:約1,700本(20,000m)



# ORNL Jaguar and Tsubame 2.0

## Similar Peak Performance, 1/4 the Size and Power



**TSUBAME2.0**  
**2.4PF**

# TSUBAME2.0 (システムスタック)

GPU Enabled OSS and ISV SW: **Amber, Gaussian (2011), BLAST, SW, ...**

**プログラミング環境 (GPU)**

**CUDA, OpenCL, MATLab, Mathematica,  
PGI Fortran, CUDA Fortran, ...**

グリッドミドルウェア

**-NAREGI, Globus, Gfarm2**

バッチスケジューラ

**PBS professional (w/GPU extensions), Windows HPC Server**

**GPU Libraries**

**CUDA Lib, CULA,  
NUFFT, ... (MKL/AKML)**

**Message Passing**

**OpenMPI, MVAPICH2  
w/GPU Direct**

**FileSystem**

**Lustre, GPFS,  
NFS, CIFS, iSCSI**

**運用管理ソリューション**

- ユーザ管理
- 課金統計管理  
(アカウントिंग)
- バックアップ
- 運転管理  
(自動運転, 電源制御)
- モニタリング (GPU含)

**Compiler**

**PGI, Intel, TotalView Debugger  
(GPU/CPU)**

**Operating Systems/Virtual Machine**

**SUSE Linux Enterprise Server, Windows HPC  
Server, KVM**

**Driver (Voltaire OFED/InfiniBand, CUDA Driver)**

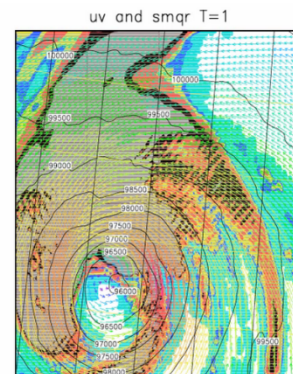
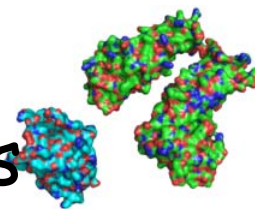
**Server and Storage Platform**

**(HP ProLiant SL390z G7, DL580G7, NVIDIA Tesla M2050/M2070, Voltaire InfiniBand)  
DDN DFA10000, Oracle SL8500, ...**

# TSUBAME2.0 アプリケーション性能予測



- 1.192 TFlops Linpack [IEEE IPDPS 2010]
  - ▶ Top ranks Green 500?
- ~0.5 PF 3D Protein Rigid Docking (Node 3-D FFT) [SC08, SC09]
- 145Tlops ASUCA Weather Forecast [SC10 Best Student Paper Finalist]
- Multiscale Simulation of Cardiovascular flows [SC10 Gordon Bell Finalist]
- Various FEM, Genomics, MD/MO (w/IM Apps: search, optimization, ...)



# TSUBAME2.0 (2010) vs. Earth Simulator1 (ES) (2002) vs. Japanese 10PF NexGen @Kobe (2012)



ES1  
40TF



"High efficiency,  
Ideal Scaling"  
3000m<sup>2</sup>



Tsubame2.0  
3PF  
200m<sup>2</sup>



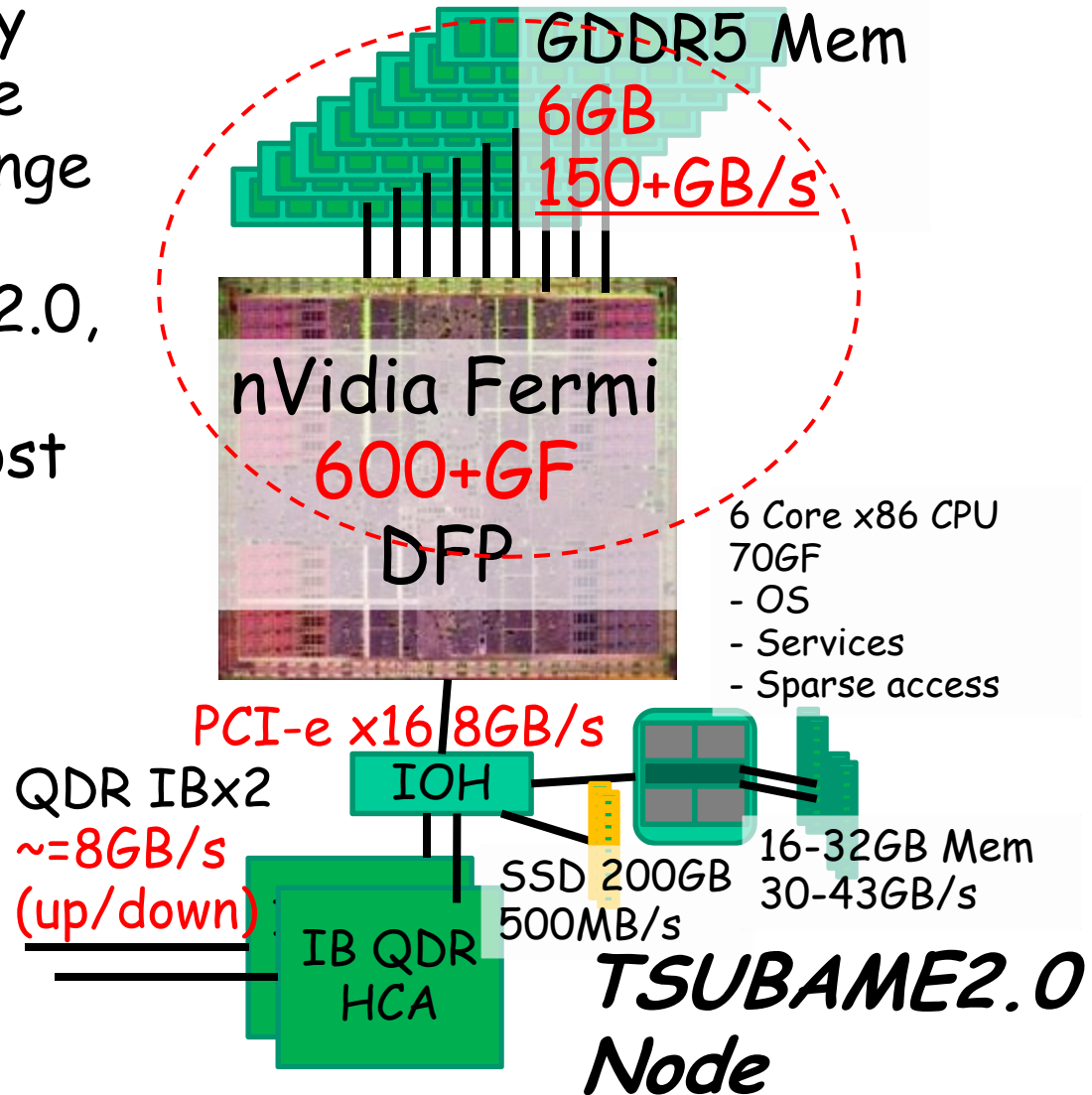
10PF  
NextGen  
10,000m<sup>2</sup>

# The "IDEAL TSUBAME2.0"

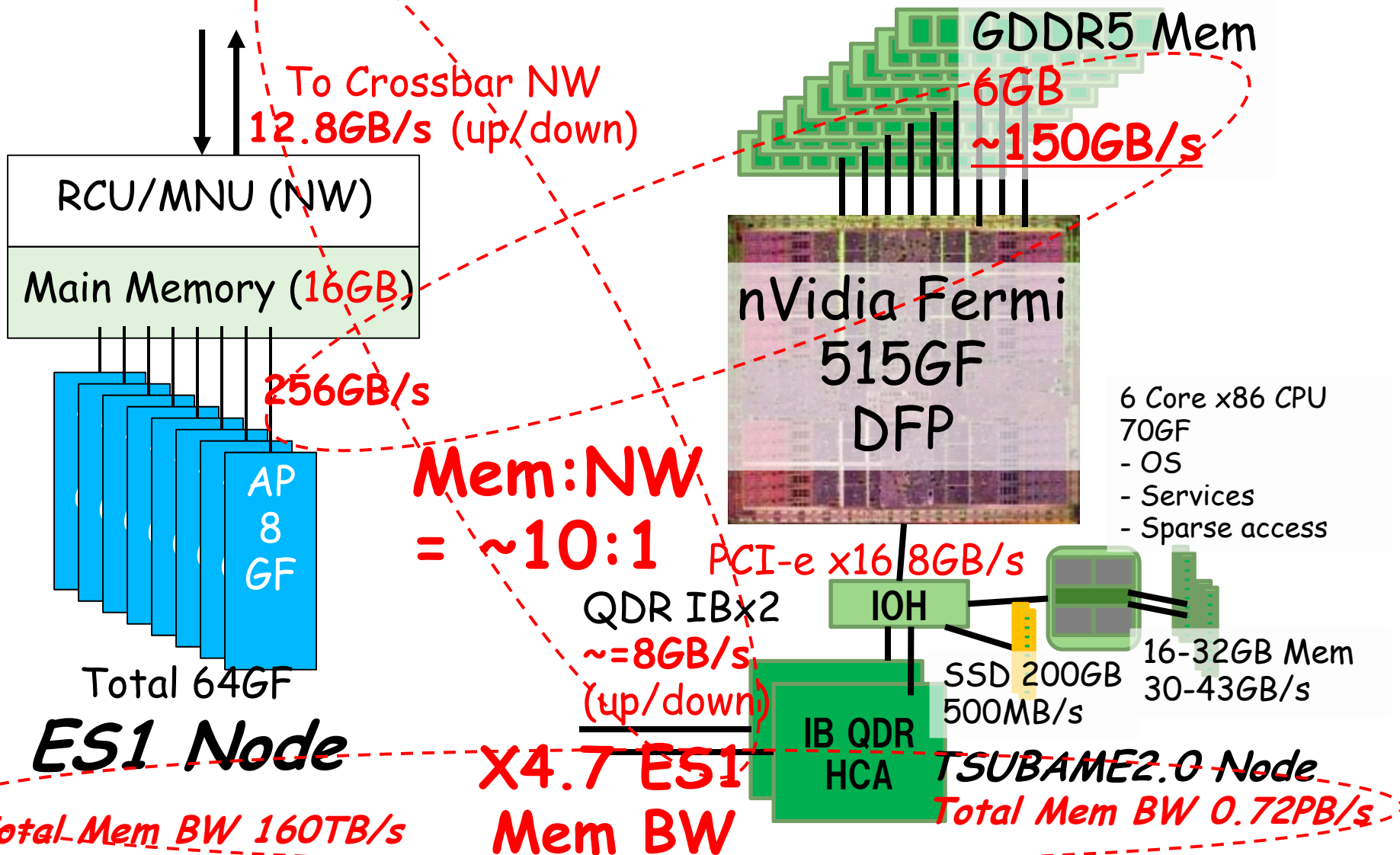
- What are architecturally possible without excessive design, power, or SW change

- In the REAL TSUBAME2.0, will have to compromise various parameters for cost and other reasons

- Almost Equal to "High Bandwidth" TSUBAME2/SL390 Config



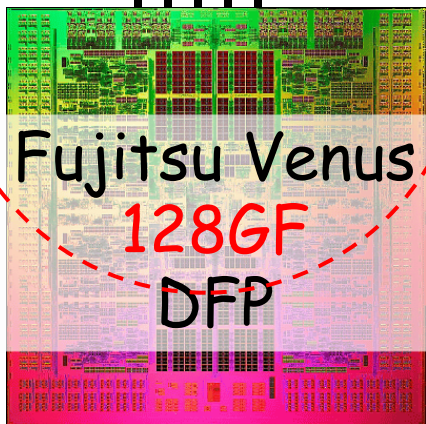
# The "IDEAL TSUBAME2.0" (w/o cost constraints) node vs. ES1 node



# The "IDEAL TSUBAME2.0" node vs. 10PF NLP Node (2012)

DDR3-1066 Mem

16GB 64GB/s



Bytes/Flop  
= 0.3~0.5

GDDR5 Mem

6GB  
~150+GB/s



- 6 Core x86 CPU
- 70GF
- OS
- Services
- Sparse access

6-D Torus  
5GB/s / link  
up to 4  
simultaneous  
transfers

PCI-e x16 8GB/s

QDR IBx2  
~8GB/s  
(up/down)

IOH  
IB QDR  
HCA

SSD 200GB  
500MB/s

16-32GB Mem  
30-43GB/s



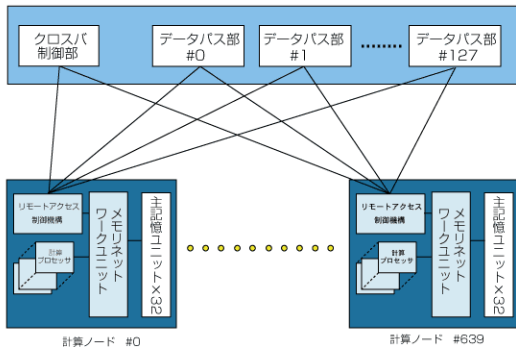
NLP Node

TSUBAME2.0  
Node

# Comparing the Networks

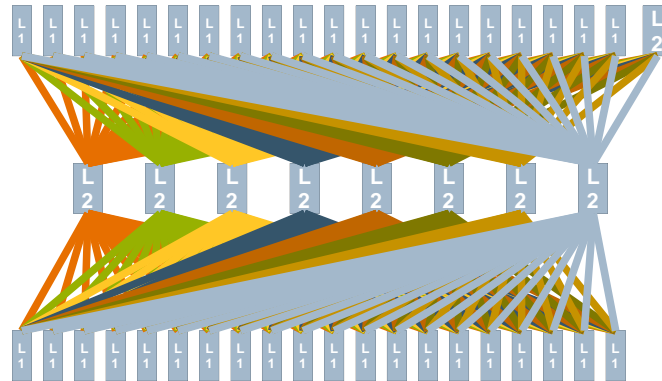


結合ネットワーク(IN)部



## ES1

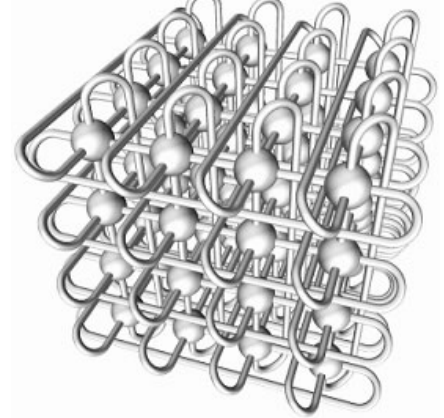
12.8GB/s Link  
5us latency  
Full Crossbar  
~8TB/s  
Bisection BW



## Ideal

## TSUBAME2.0

(4+4)GB/s Link  
2us latency  
Full Bisection Fat Tree  
~60TB/s Bisection BW



## 10PF NLP

5GB/s Link  
?us latency  
6-D Torus  
~30TB/s?  
Bisection BW

## Summary of Comparisons

### ● (1) ES1 vs. Ideal TSUBAME2.0

▶ Similar (Mem BW : Network BW) , full bisection NW

▶ ES1  $\Sigma$  BW : TSUBAME2  $\Sigma$  BW = 1 : 6

⇒ **BW-bound apps (e.g. CFD) should scale equally on both w.r.t.  $\Sigma$  BW (TSUBAME2.0 6 times faster), Other apps *drastically* faster on TSUBAME2.0**

### ● (2) 10PF NLP vs. Ideal TSUBAME2.0

▶ Similar Memory Bytes/Flop (0.3~0.5)

▶ NLP x2 superior on Mem BW : Network BW

▶ TSUBAME2.0 x2 better on Bisection BW?

⇒ **Most apps similar efficiency and (strong) scalability  
NLP ~ 4 times faster on full machine (weak scaling)**

# TSUBAME2.0世界ランキング スパコンニ大リスト (2010年11月)

## The Top 500 (ベンチマーク絶対性能、ペタフロップス)

- 1位: 2.566 中国防衛大 Tianhe 1-A (11)
- 2位: 1.758 : 米国オークリッジ国立研究所 Cray Jaguar (81)
- 3位: 1.271 : 中国深圳国立スパコンセンター Dawning Nebulae (13)
- 4位: 1.192 : 日本 東工大/HP/NEC TSUBAME2.0 (2)
- 5位: 1.054 : 米国ローレンスバークレー国立研究所 Cray Hopper (30)
- 6位: 1.050 : 仏CEA国立研究所 Bull Bullx (97)
- 7位: 1.042 : 米国オークリッジ国立研究所 IBM Roadrunner (16)
- 33位(日本2位): 0.1914: 日本原子力研究開発機構/富士通 (95)



(Green500 rank)

## The Green 500 (ベンチマーク電力性能、メガフロップス/W)

- 1位: 1684.20 : 米国 IBM研究所 BlueGene/Q プロトタイプ (116)
- 2位: 958.35 : 日本 東工大/HP/NEC TSUBAME2.0 (4)
- 3位: 933.06 : 米国 NCSA Hybrid Cluster実験機 (403)
- 4位: 828.67 : 日本 理研 京 (170)
- 5-7位: 773.38 : ドイツ ユーリッヒ大等 IBM QPACE SFB TR (207-209)
- 10位(日本3位): 636.36 : 日本 環境研 (102)



(Top500 rank)

“Little Green 500” では TSUBAME2.0の実験構成が  
1.037 Gigaflops/W 達成 (米Microsoftとの共同研究)

THE GREEN  
500™

sponsored by

SUPERMICRO®

This certificate is in recognition of your organization's achievements in reducing the environmental impact of high-performance computing.

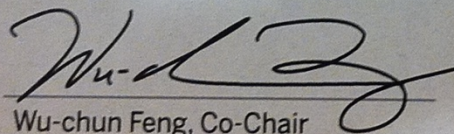
**GSIC Center, Tokyo Institute of Technology**

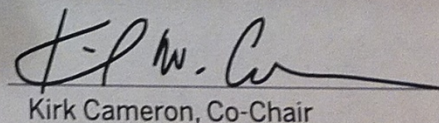
Is recognized as the

**Greenest Production Supercomputer in the World**

on the world's Green500 List of computer systems as of

**November 2010**

  
Wu-chun Feng, Co-Chair

  
Kirk Cameron, Co-Chair



# Supercomputing 2010 @ New Orleans 東工大ブース



# GPUで最速スパコン

Graphics Processing Unit (GPU)は画像処理技術の略。コンピュータの画面に写真や動画を表示する装置。ゲームの3D表示にハイビジュアルを実現するために2000年代後半から急速に高性能化が進んだ。最新の機種では切手大の中心に5個



世界の「天河一号」(中国科学院)が計算速度で初めて世界一になったスパコンランキング「TOP500」では、中央演算処理装置(CPU)に加え、「GPU」=「」と呼ばれる画像処理装置を多く積んだスパコンが、上位5台のうち3台を占めた。高速の割に小型で消費電力も少ないのが特徴だ。スパコンは大規模化に限界に達しており、GPUや専用演算素子(ASIC)を駆使した新世代へ、急速に多様化が進んでいる。(東山正宜)

中国のスーパーコンピュータ「天河一号」が計算速度で初めて世界一になったスパコンランキング「TOP500」では、中央演算処理装置(CPU)に加え、「GPU」=「」と呼ばれる画像処理装置を多く積んだスパコンが、上位5台のうち3台を占めた。高速の割に小型で消費電力も少ないのが特徴だ。スパコンは大規模化に限界に達しており、GPUや専用演算素子(ASIC)を駆使した新世代へ、急速に多様化が進んでいる。(東山正宜)



## GPU

天河の部品はほとんどは米国製の「TOP500」では、中央演算処理装置(CPU)に加え、「GPU」=「」と呼ばれる画像処理装置を多く積んだスパコンが、上位5台のうち3台を占めた。高速の割に小型で消費電力も少ないのが特徴だ。スパコンは大規模化に限界に達しており、GPUや専用演算素子(ASIC)を駆使した新世代へ、急速に多様化が進んでいる。(東山正宜)

## 本職は画像処理

天河の部品はほとんどは米国製の「TOP500」では、中央演算処理装置(CPU)に加え、「GPU」=「」と呼ばれる画像処理装置を多く積んだスパコンが、上位5台のうち3台を占めた。高速の割に小型で消費電力も少ないのが特徴だ。スパコンは大規模化に限界に達しており、GPUや専用演算素子(ASIC)を駆使した新世代へ、急速に多様化が進んでいる。(東山正宜)

# 省エネスパコン 日本2位

スパコンは消費電力の問題で大型化が限界に近づいている。ブルージーンやツバメは従来の演算装置だけに頼らない新世代のスパコンだ。(東山正宜、ニューオーリンズ小宮山亮磨)

ランキングは「グリーン500」で消費電力当たりの計算速度を競う。1つ当たりの計算速度は、ブルージーンが毎秒16億8400万回、ツバメが9億5800万回。ツバメは、計算速度を競う世界ランキング「TOP500」では4位だった。京は現在、全体の0.5%しかできていないが、高性能が示された。

東工大「ツバメ」、理研4位  
スーパーコンピュータの省エネ性能を競う世界ランキングが18日に発表され、東京工業大の「ツバメ2.0」が2位、理化学研究所が神戸に建設している「京」が4位になった。1位は米IBMが開発中の「ブルージーンQ」、3位は米国立スーパーコンピュータ応用研究所の試験機。すでに運用されているスパコンとしてはツバメが世界一だった。

東工大「ツバメ」、理研4位  
スーパーコンピュータの省エネ性能を競う世界ランキングが18日に発表され、東京工業大の「ツバメ2.0」が2位、理化学研究所が神戸に建設している「京」が4位になった。1位は米IBMが開発中の「ブルージーンQ」、3位は米国立スーパーコンピュータ応用研究所の試験機。すでに運用されているスパコンとしてはツバメが世界一だった。

# 東工大、世界2位

米バージニア工科大学が「SUBAME」が1位。消費電力を抑えやすい画像処理チップ(GPU)を採用したほか、冷却機構を工夫するなどの省エネ性能を高く評価された。日本勢では、次世代スパコンの性能を競う「グリーン500」で、実際に運用されているスパコンが10位以内に入った。

# 朝日20101119(夕刊)

# 日経20101121

## で高速計算

### 開発費も安く

市販品を使っての開発費を安く、天河は約80億円、ツバメは30億円だった。2002年には世界一をとった地球シミュレータが600億円、理化学研究所が建設している「京」が、建屋も含めて1100億円かかるの比、けた違いに安い。

## クラウドで普及、省エネに貢献

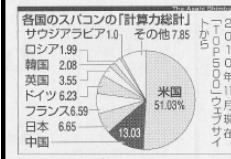
計算速度を競う「TOP500」を並べ注目を集めたスパコンが、18日に発表される「グリーン500」だ。TOP500は計算速度を競う「TOP500」を並べ注目を集めたスパコンが、18日に発表される「グリーン500」だ。TOP500は計算速度を競う「TOP500」を並べ注目を集めたスパコンが、18日に発表される「グリーン500」だ。

# 中国スパコン軍の影

## 計算速度世界一

## 米、技術力を注視

世界のスパコンの性能を競う「TOP500」が16日、米ニューオーリンズで開催された。中国のスパコン「天河一号」が初めて世界一になった。上位を独占してきた米国の地位は揺らぎ、世界のスパコンの競争が激化した。中国のスパコン「天河一号」が初めて世界一になった。上位を独占してきた米国の地位は揺らぎ、世界のスパコンの競争が激化した。



順位	名称	設置機関	計算速度
1	天河1号	中国科学院	2566
2	京	理化学研究所	1759
3	星雲	東京工業大	1271
4	ツバメ2.0	東京工業大	1192
5	日米	ローレンス・バークリー研究所	1054
6	日米	日本原子力研究開発機構	191
7	B X900	海洋研究開発機構	122
8	地球シミュレータ	理化学研究所	48
9	日米	理化学研究所	189

「TOP500」を並べ注目を集めたスパコンが、18日に発表される「グリーン500」だ。TOP500は計算速度を競う「TOP500」を並べ注目を集めたスパコンが、18日に発表される「グリーン500」だ。

# 朝日20101118

# 日本、公

# ペタフロップス？ ギガフロップス/W？



6.6万倍高速  
3倍省エネ

<<

4.4万倍データ



Laptop: SONY Vaio type Z (VPCZ1)  
CPU: Intel Core i7 620M (2.66GHz)  
MEMORY: DDR3-1066 4GBx2  
OS: Microsoft Windows 7 Ultimate 64bit  
HPL: Intel(R) Optimized LINPACK Benchmark for  
Windows (10.2.6.015)  
256GB HDD

**18.1 ギガ( $10^9$ )フロップス**  
**369 メガ( $10^6$ )フロップス / Watt**

Supercomputer: TSUBAME 2.0  
CPU: 2714 Intel Westmere 2.93 Ghz  
GPU: 4071 nVidia Fermi M2050  
MEMORY: DDR3-1333 80TB + GDDR5 12TB  
OS: SuSE Linux 11 + Windows HPC Server R2  
HPL: Tokyo Tech Heterogeneous HPL  
11PB Hierarchical Storage

**1.192 ペタ( $10^{15}$ )フロップス**  
**1037 メガ( $10^6$ )フロップス / Watt**

# 気象計算



気象庁数値予報課との共同研究:

メソスケール大気シミュレーション:

雲解像非静力平衡モデル

Compressible equation taking consideration of sound waves.

**Meso-scale**

2000 km

台風



1 km 以下

竜巻、集中豪雨、  
ダウンバースト



# WRF の GPU Computing

## ■ WRF (Weather Research and Forecast)

オープンソース・コミュニティコード (NCAR, NCEP, OU, NOAA/FSL, AFWA)

**WSM5** (WRF Single Moment 5-tracer) Microphysics\*

Represents condensation, precipitation and thermodynamic effects of latent heat release

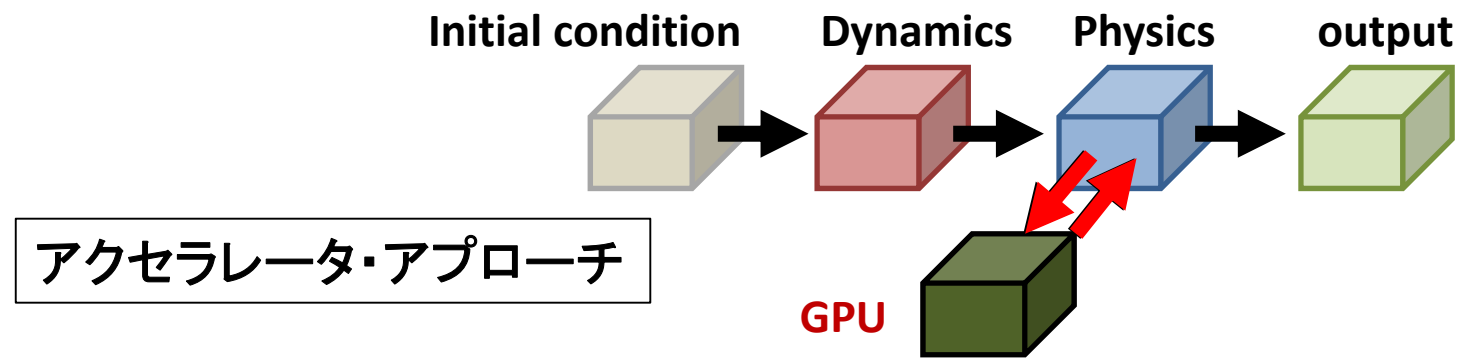
1 % of lines of code, 25 % of elapsed time

⇒ 20 x boost in microphysics (1.2 - 1.3 x overall improvement)

### WRF-Chem\*\*

provides the capability to simulate chemistry and aerosols from cloud scales to regional

⇒ x 8.5 increase



# 気象庁の次期気象コードASUCA

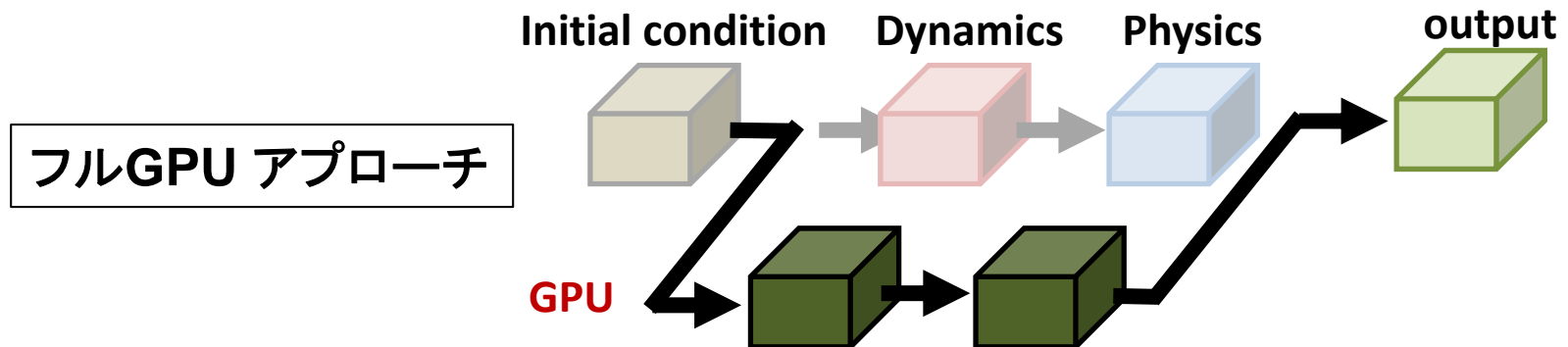


## ■ASUCA Production Code

- ✓ *A next-generation high resolution weather simulation code that is being developed by Japan Meteorological Agency (JMA)*
- ✓ *ASUCA succeeds the JMA-NHM as an operational non-hydrostatic regional model at JMA*

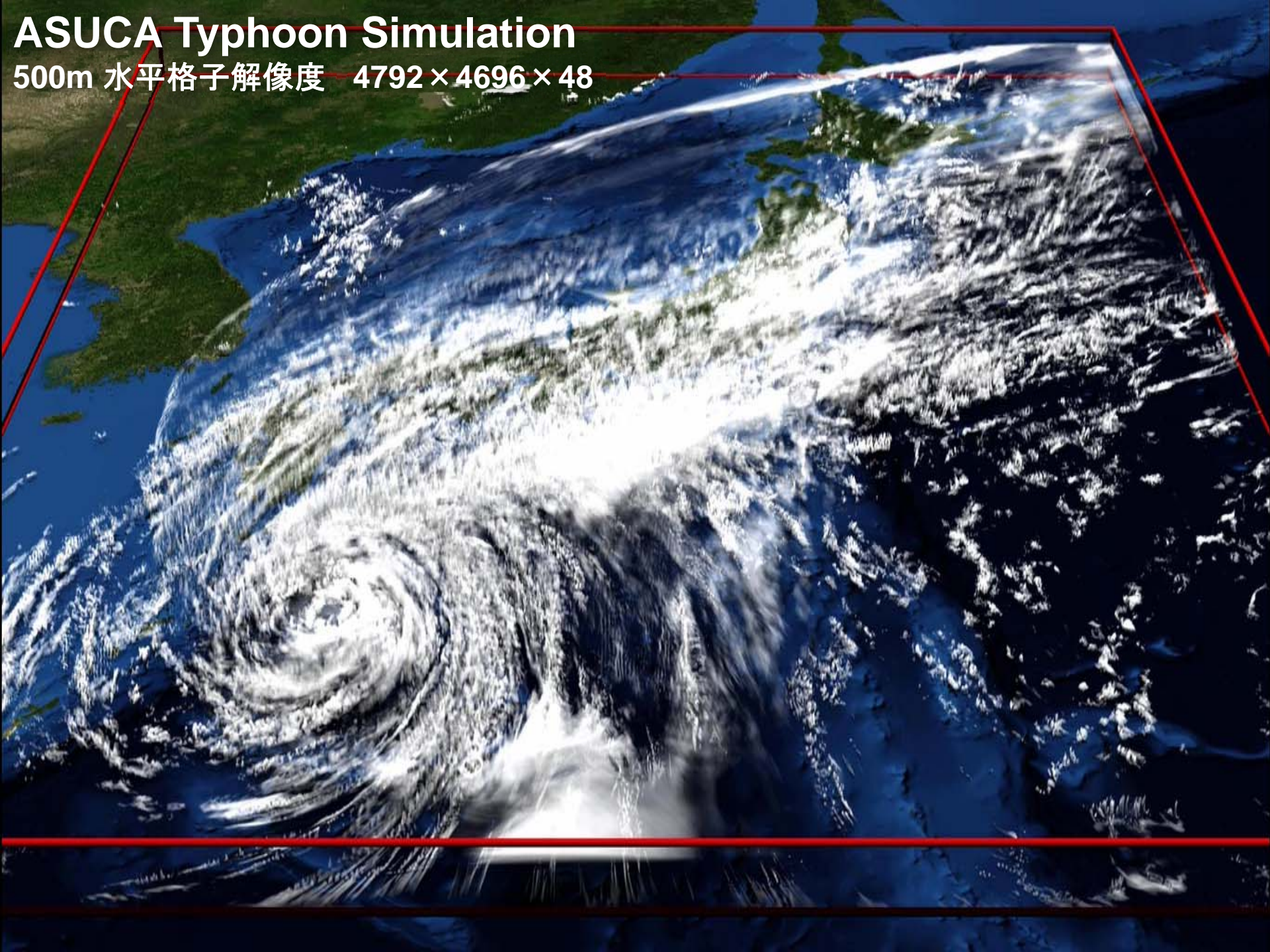
## ■Similar Structure as WRF

- ✓ *HEVI (Horizontally explicit Vertical implicit) scheme*
- ✓ *Dynamical Core uses a numerical scheme with 3<sup>rd</sup>-order accuracy in time and space*
  - Flux-form non-hydrostatic compressible equation*
  - Generalized coordinate*

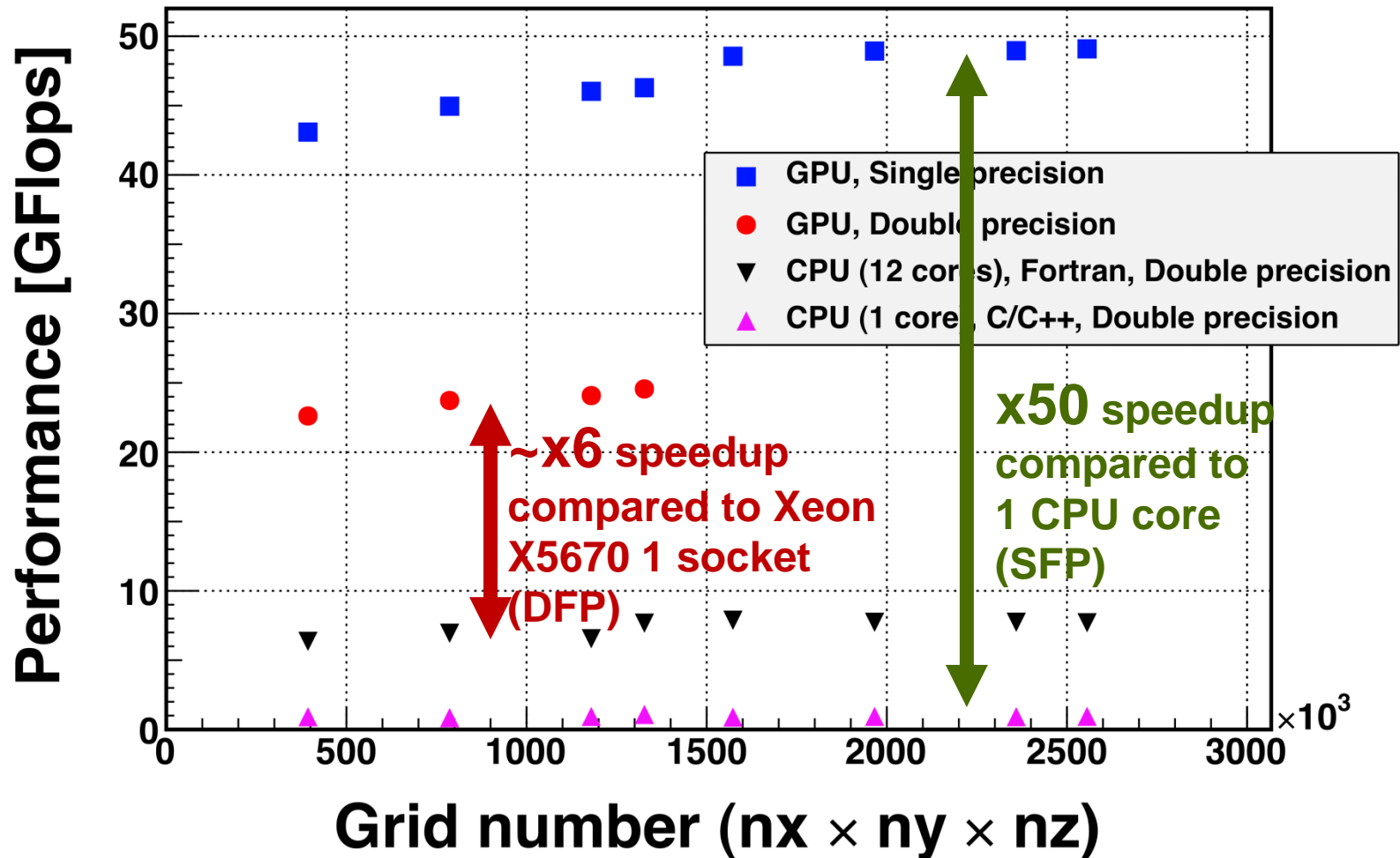


# ASUCA Typhoon Simulation

500m 水平格子解像度 4792 × 4696 × 48



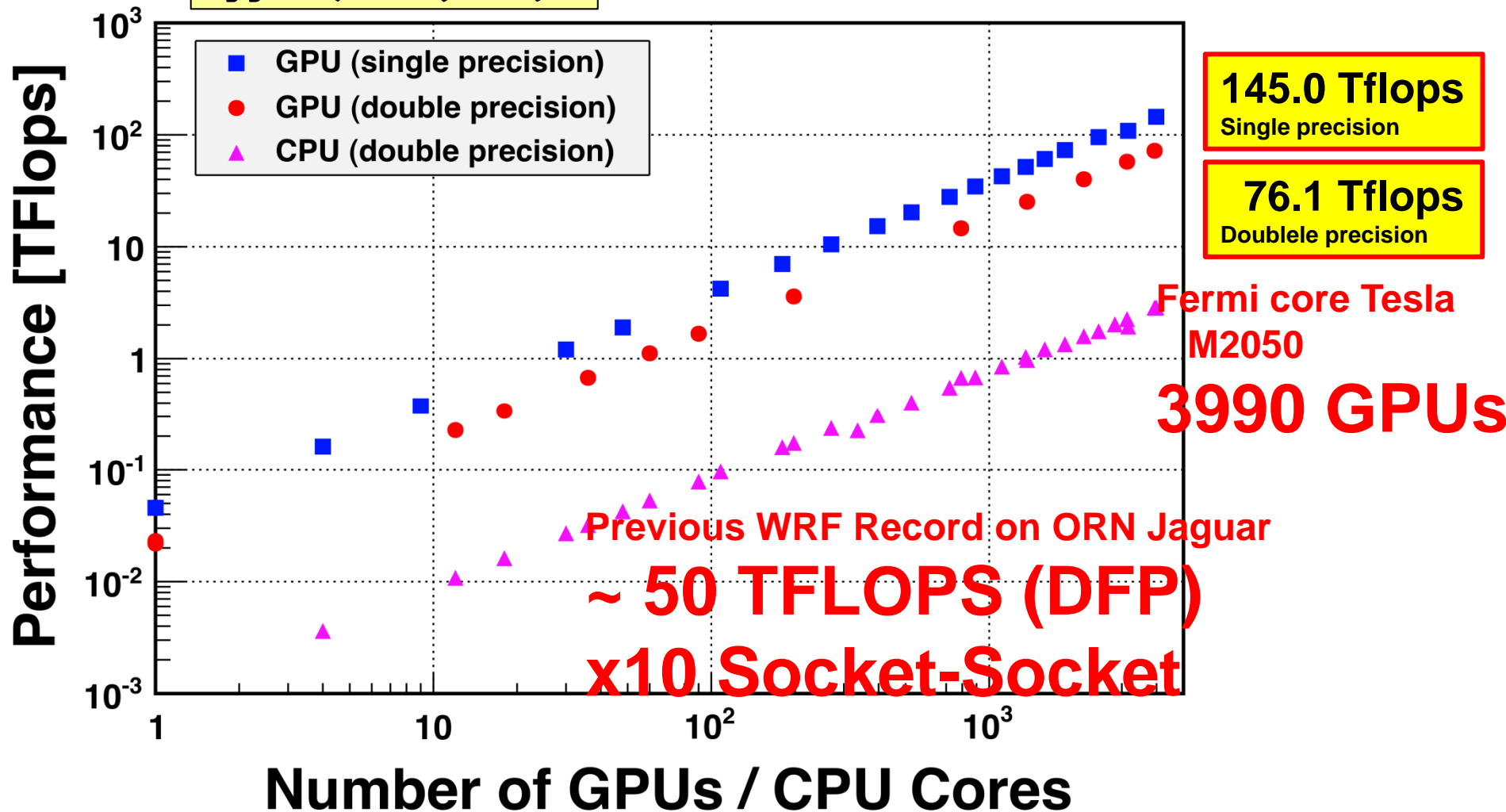
# TSUBAME 2.0 (1 GPU)



# TSUBAME 2.0での実行性能



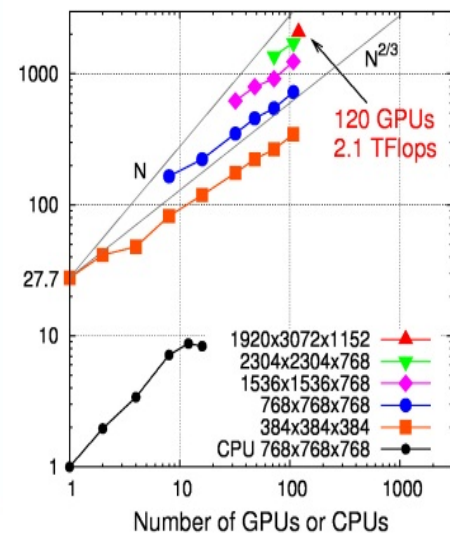
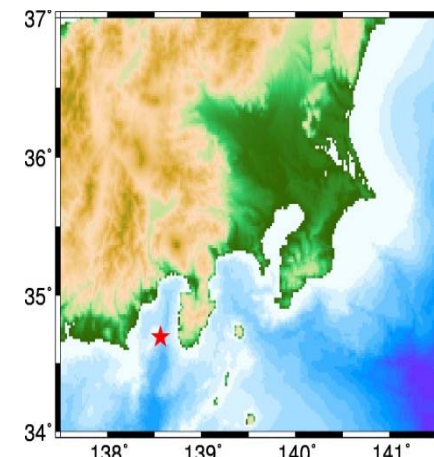
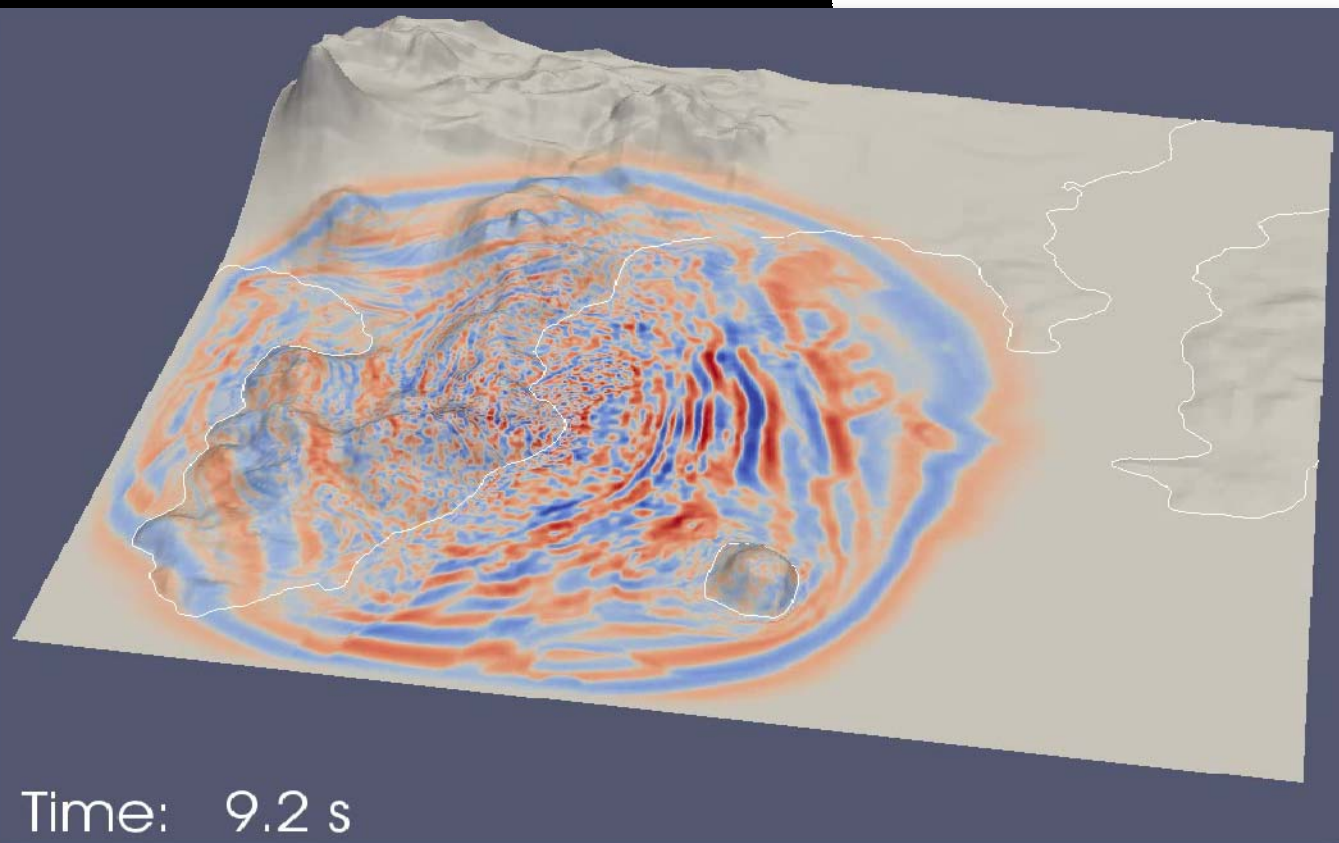
弱スケールリング



# 地震波伝播シミュレーション

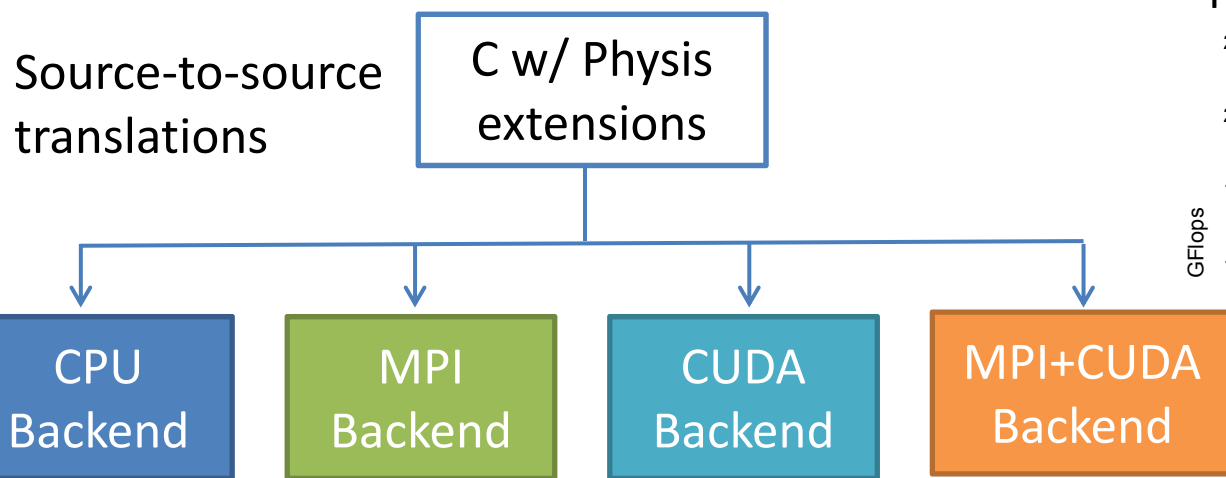
地球惑星科学専攻 岡元太郎氏 提供

**TSUBAME 1.2** 120 GPUs  
for 1920x3072x1152 2.1 TFlops

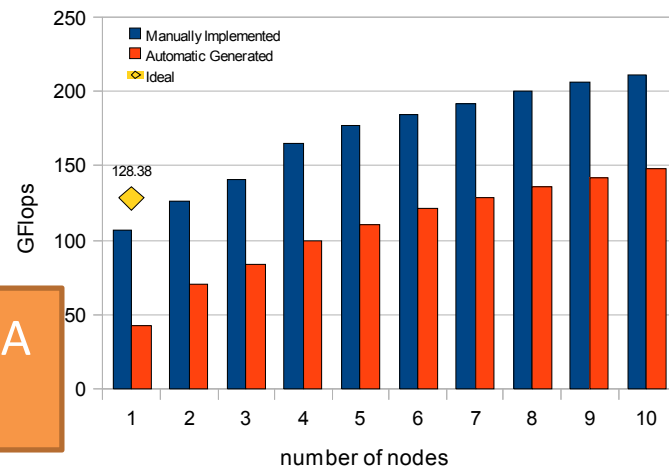


# Physis: A Domain Specific Framework for Large-Scale GPU Clusters

- Portable programming environment for stencil computing on structured grids
  - Implicitly parallel
  - Distributed shared memory
- Provides concise, declarative abstractions for stencil computing



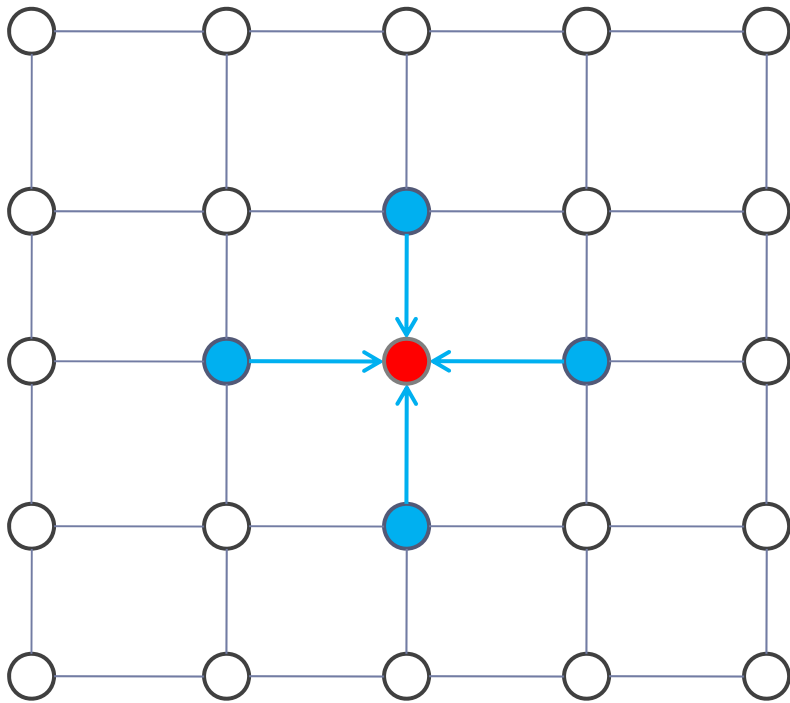
Preliminary Performance Results



# A five-point stencil

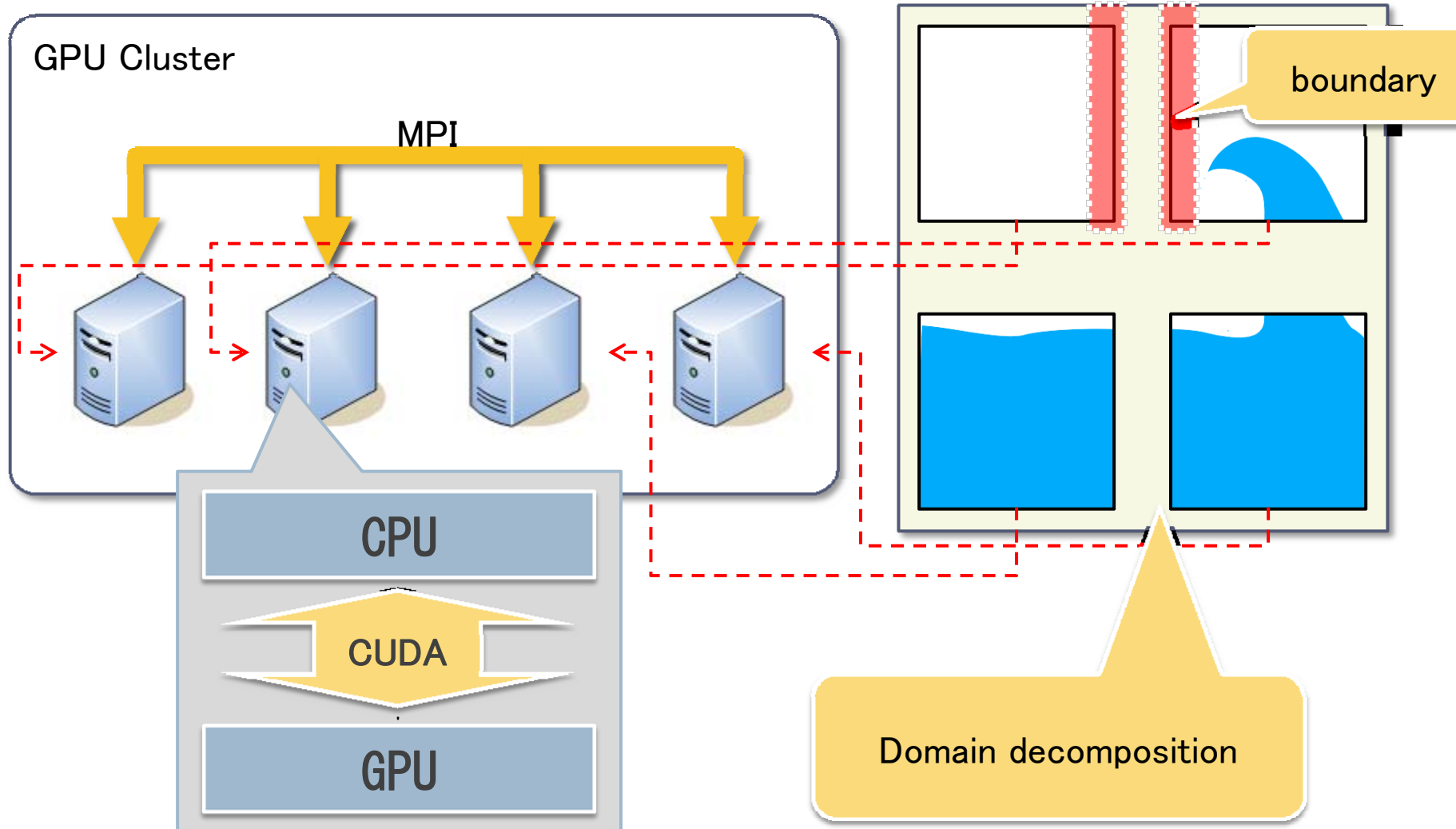
---

- ▶  $T$  : time
- ▶  $X, Y$  : space



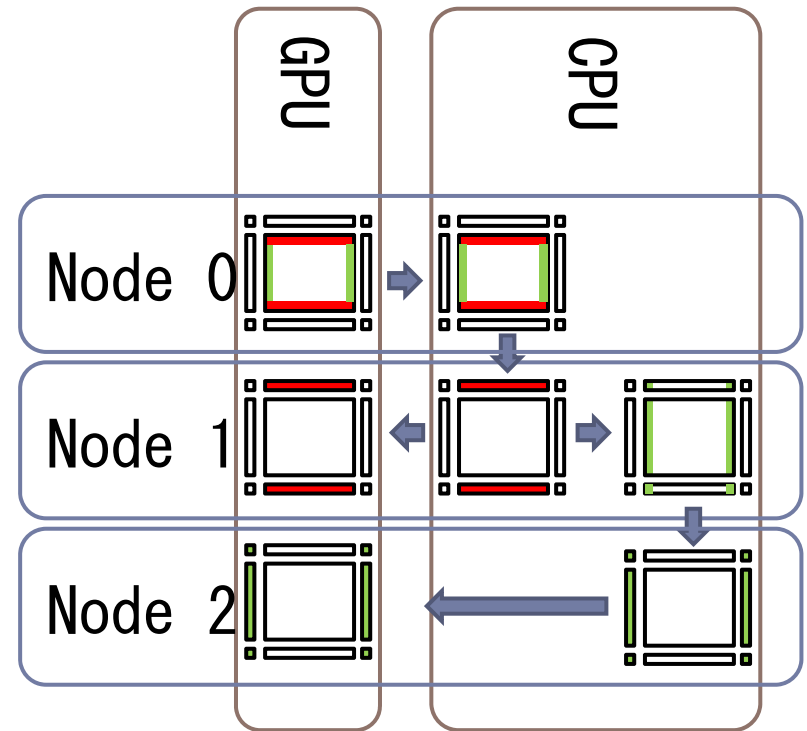
```
for (t = 0.0; t < T; t += dt) {  
  for (y = 0; y < Y; y++) {  
    for (x = 0; x < X; x++) {  
      new_f(x, y) = e1*old(y, x)  
        + e2*old(y, x-1) + e3*old(y, x+1)  
        + e4*old(y-1, x) + e5*old(y+1, x);  
    }  
  }  
}
```

# Implementation on GPU clusters



# Complexity of implementation

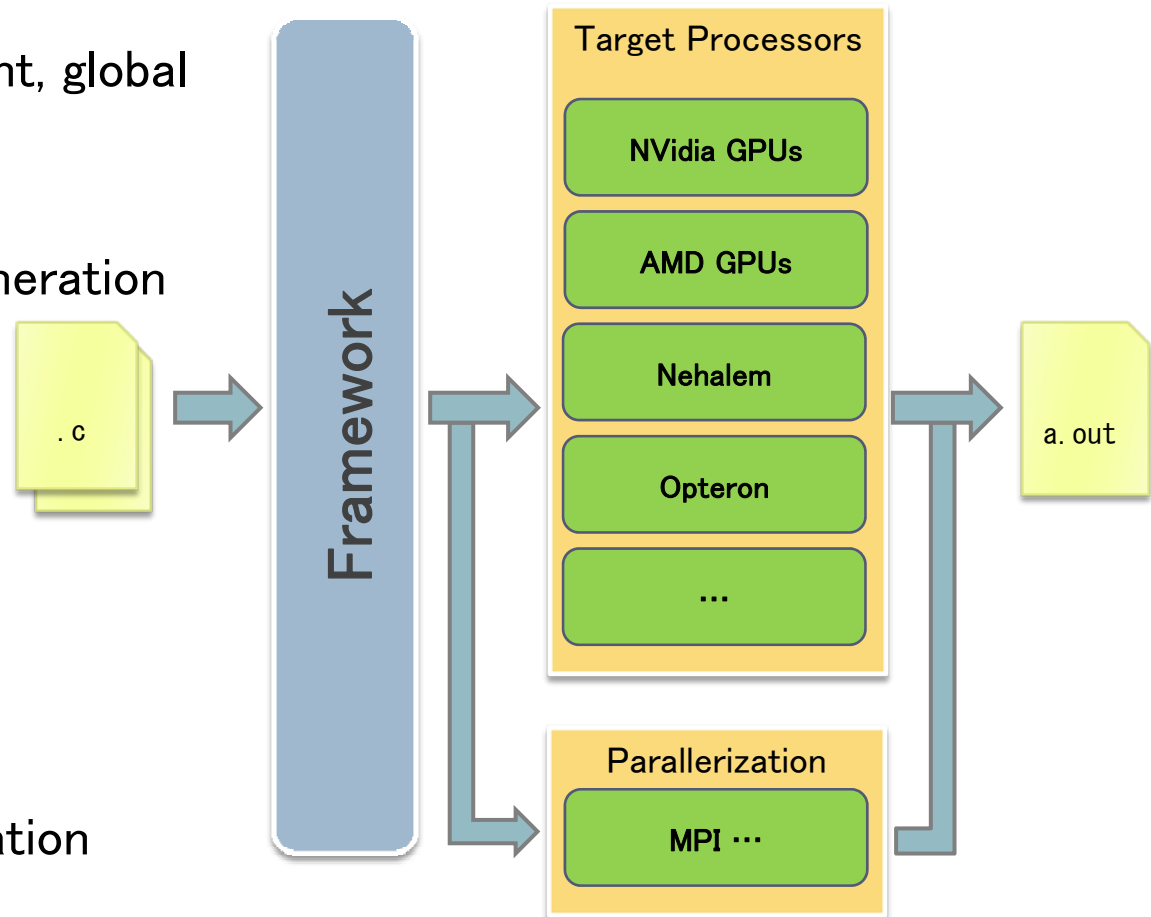
- ▶ CPU,GPU,MPI
- ▶ Code for omputation is concise, code for parallelization isn' t.
  - ▶ Problem decomposition
  - ▶ Boundary exchange
  - ▶ **GPUs cannot communicate directly**
  - ▶ GPU→CPU → CPU→GPU
- ▶ Code for optimization brings more complicacy
- ▶ **Most difficult parts are non-essential for stencil computation**



Procedure of boundary exchange

# Overview of the framework

- ▶ Architecture independent, global view description
- ▶ CPU,GPU,MPI code generation
- ▶ Code 2 Code
- ▶ Optimization
- ▶ Auto-tuning
- ▶ Checkpointing
- ▶ Optimal resource allocation



# An example of a 7-point stencil

```
__stencil__ void average(int x, int y, int z, grid3d_real g) {  
    float ret = psGridGet(g, 0, 0, 0)  
        + psGridGet(g, -1, 0, 0) + psGridGet(g, 1, 0, 0)  
        + psGridGet(g, 0, -1, 0) + psGridGet(g, 0, 1, 0)  
        + psGridGet(g, 0, 0, -1) + psGridGet(g, 0, 0, 1);  
    psGridEmit(g, ret / 7.0);  
}
```

Parallel execution

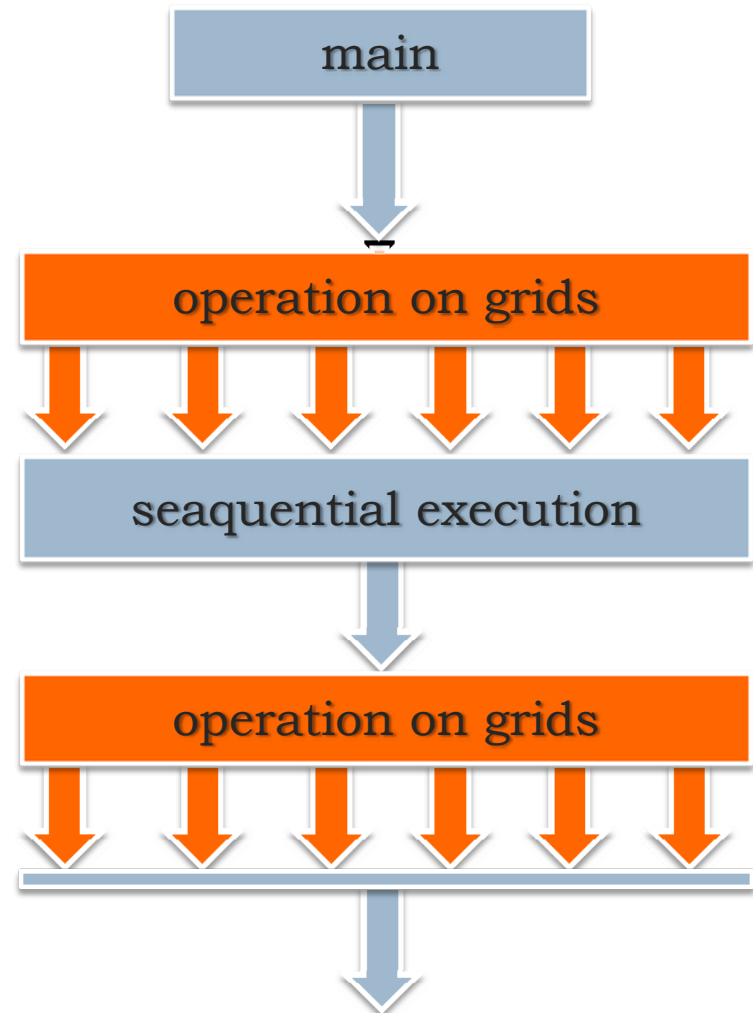
```
void computation(float *inbuff, float *outbuff) {  
    PS_Grid g = psGridNew(float, N, N, N);  
    psGridCopyIn(g, inbuff);  
    for (int t = 0; t < T; t += dt) psStencilMap(average, g);  
    psGridCopyOut(g, outbuff);  
}
```

Apply stencil kernel to a grid

# Execution Model

```
__stencil__
void kernel(int x, int y, int z, grid g) {
    float val = (psGridGet(-1,0,0)
                + psGridGet(1,0,0)) / 2.0;
    psGridEmit(g, val);
}

int main(int argc, char *argv[]) {
    psInit(&argc, &argv);
    int i;
    PS_Grid g = psGridNew(float, 256, 256, 256);
    printf("start\n");
    int *buff = (int *)malloc(256*256*256*4);
    for (i = 0; i < 256; i++) {
        buff[i] = rand();
    }
    psGridCopyIn(g, buff);
    PS_Dom dom = psDom(0, 255, 0, 255, 0, 255);
    for (i = 0; i < 100000; i++) {
        psStencilMap(kernel, dom, g);
    }
    psGridCopyOut(g, buff);
    printf("end\n");
    psFinalize();
    return 0;
}
```



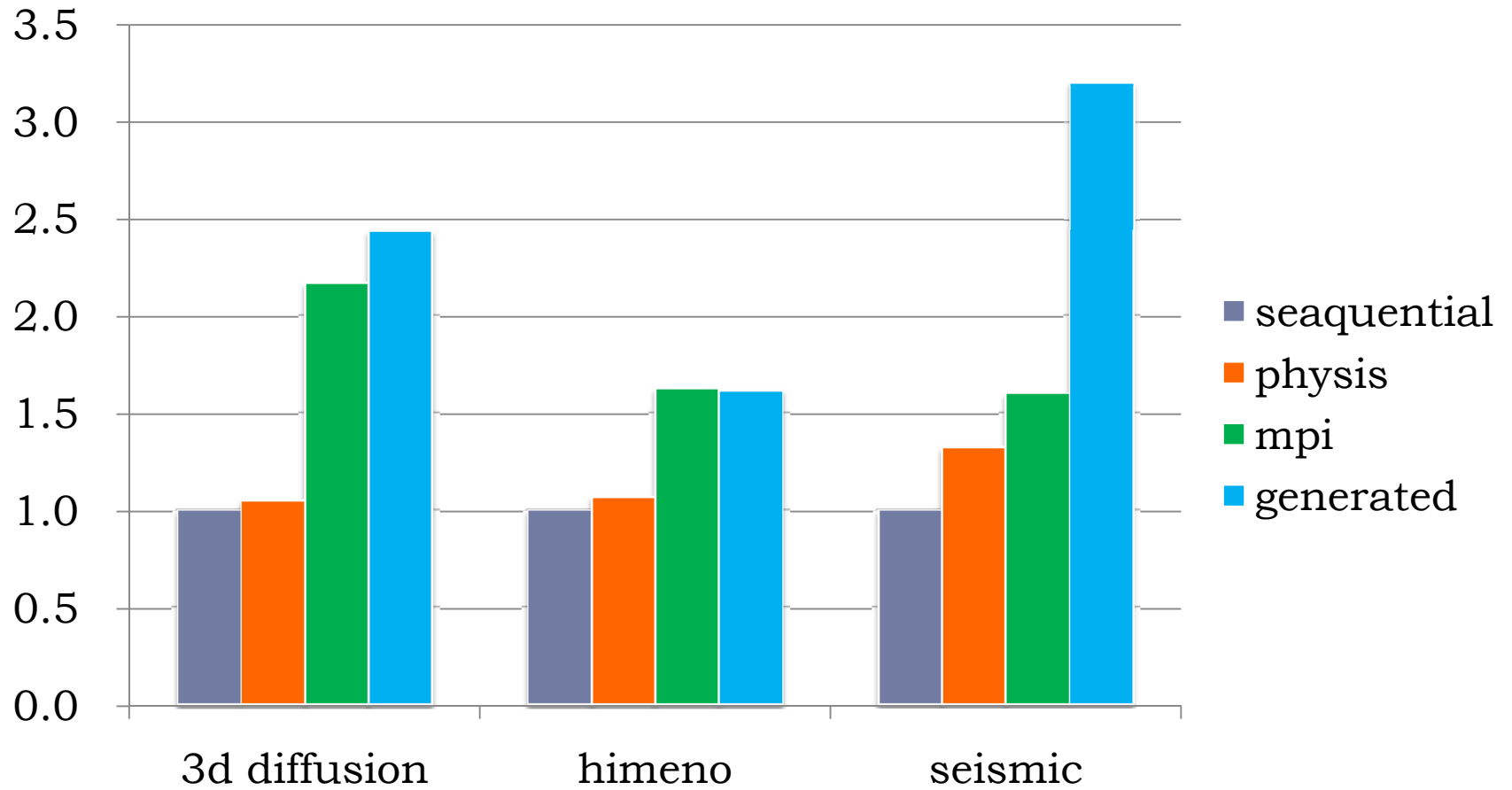
# Evaluation

---

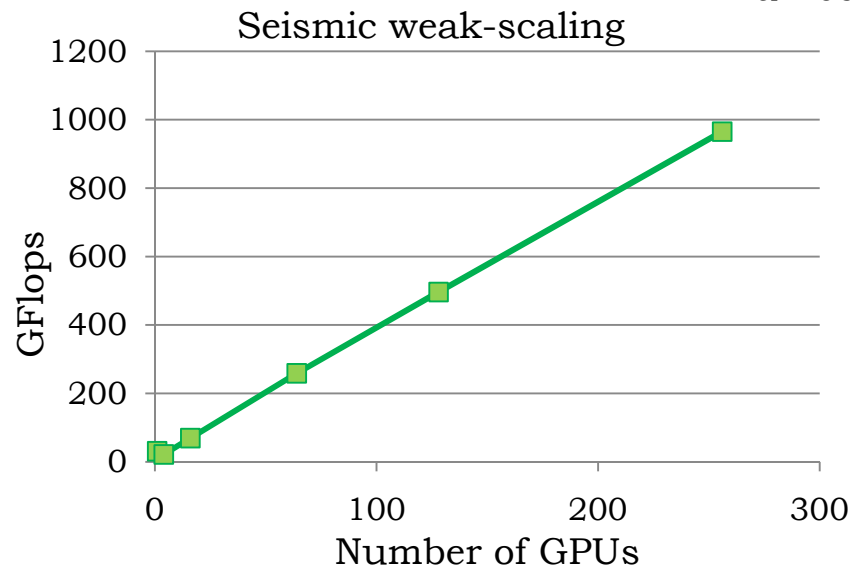
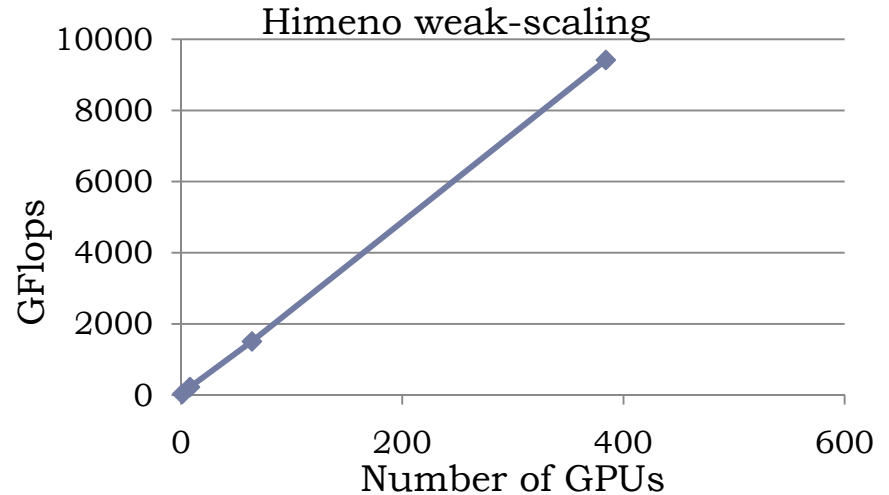
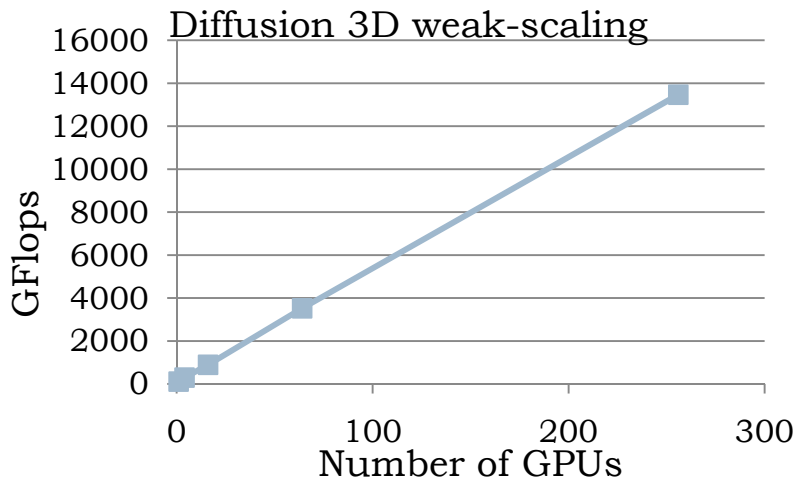
- ▶ Evaluated the performance and scalability of Physis on TSUBAME 2.0
  - ▶ 1D/2D decomposition
  - ▶ Overlapping of boundary exchange and computation
- ▶ Target applications
  - ▶ 3D diffusion equation
  - ▶ Himeno benchmark
  - ▶ Seismic wave simulation code
    - ▶ Free surface boundary condition is not supported

# 生産性的な

Lines of code



# Weak Scalability



# 格子ボルツマン法による流体計算

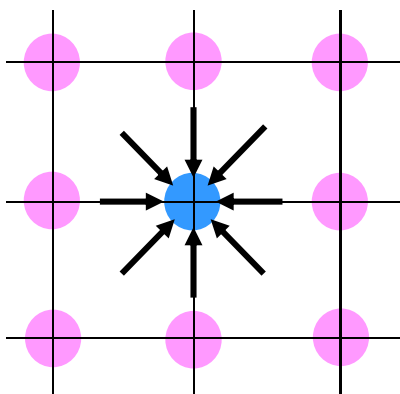


$$\frac{\partial f_i}{\partial t} + \mathbf{e}_i \cdot \nabla f_i = -\frac{1}{\lambda} (f_i - f_i^{eq})$$

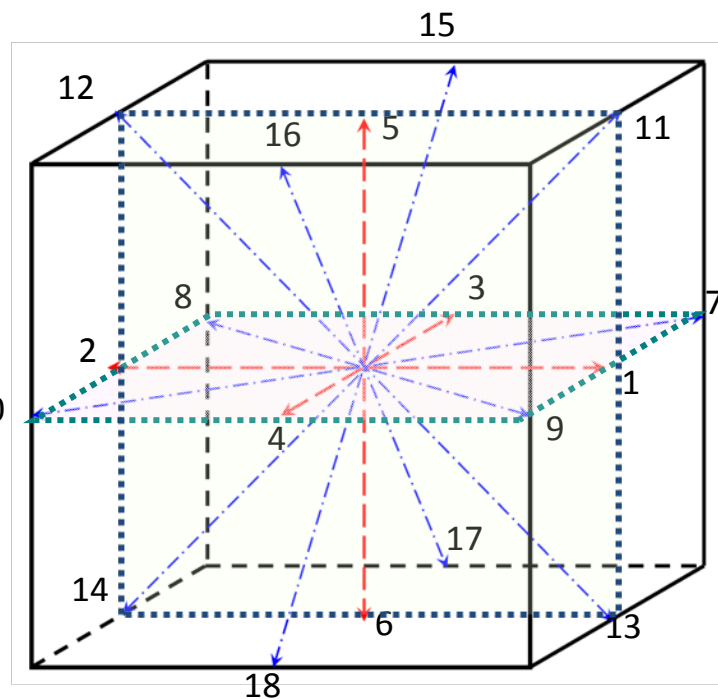
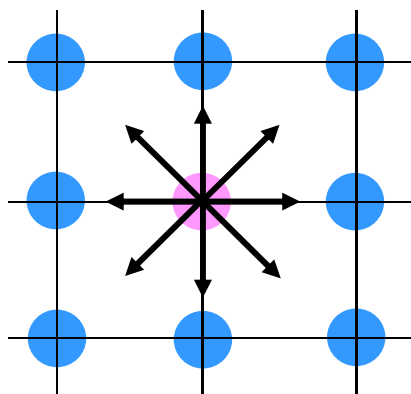
$$f_i^{eq} = \rho w_i \left[ 1 + \frac{3}{c^2} (\mathbf{e}_i \cdot \mathbf{u}) + \frac{9}{2c^4} (\mathbf{e}_i \cdot \mathbf{u})^2 - \frac{3}{2c^2} (\mathbf{u} \cdot \mathbf{u}) \right]$$

メモリアクセスが支配的な計算:

Collision step:



Streaming step:



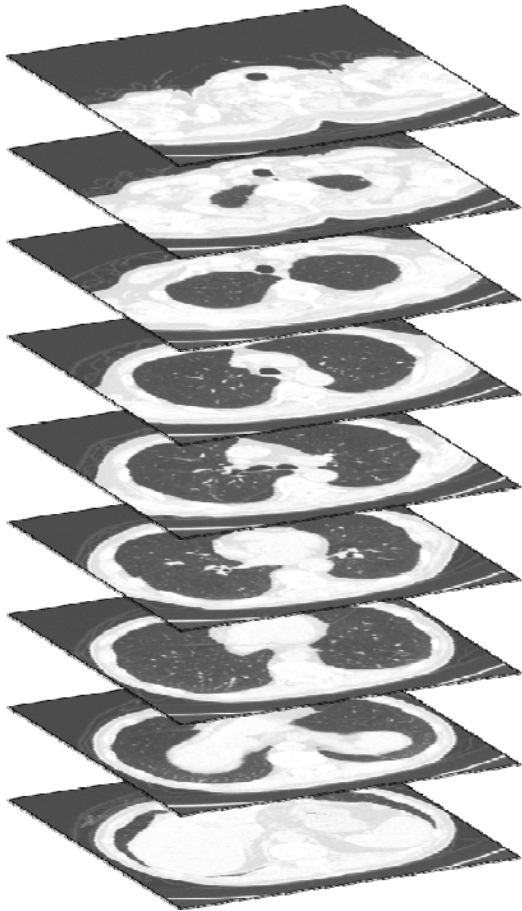
$i$  is the value in the direction of  $i$ th discrete velocity  
 $\mathbf{e}_i$  is the discrete velocity set;  
 $w_i$  is the weighting factor  
 $c$  is the particle velocity  
 $\mathbf{u}$  is the macroscopic velocity

# 肺気管の呼気流解析

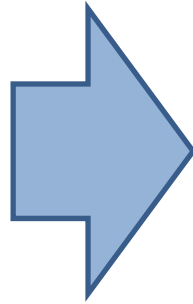
東北大学・医工系 山口研究室との共同研究



X線 CTスキャン  
512×512×512



気管構造  
の抽出

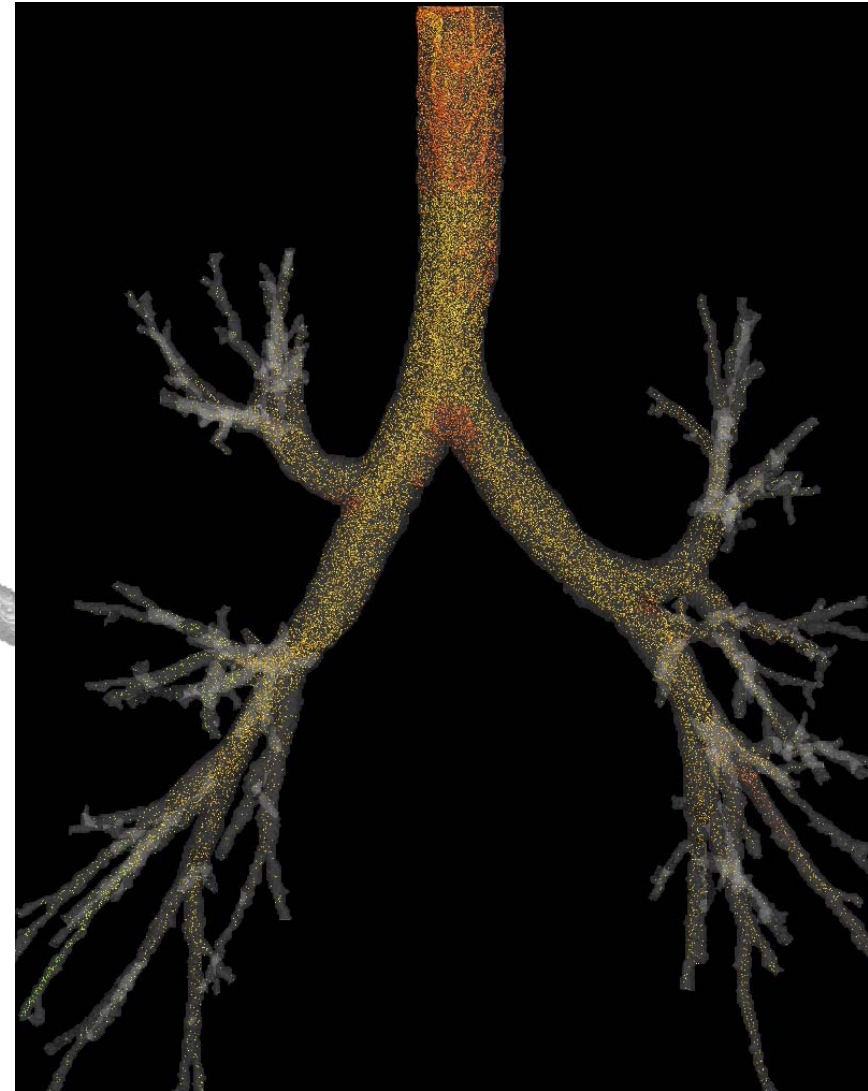
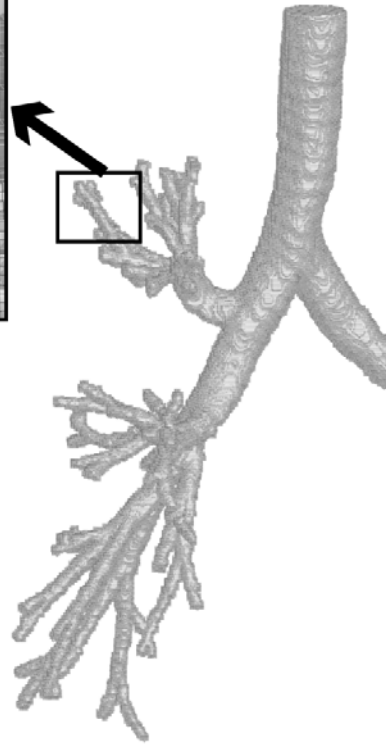
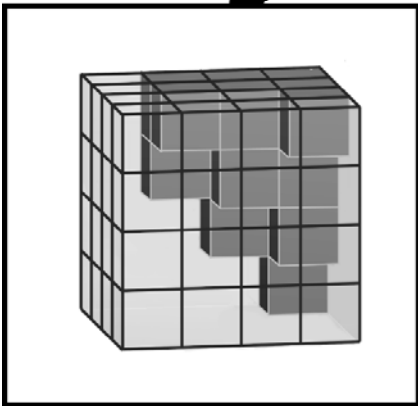
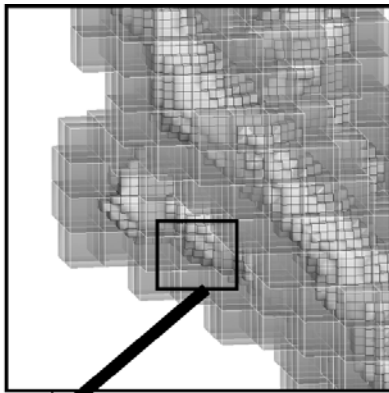


# 肺気管の呼気流解析

東北大学・医工系 山口研究室との共同研究



格子ボルツマン法  
GPU computing



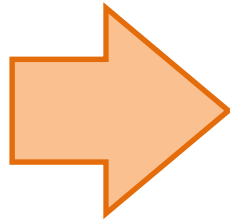
# 気液二相流



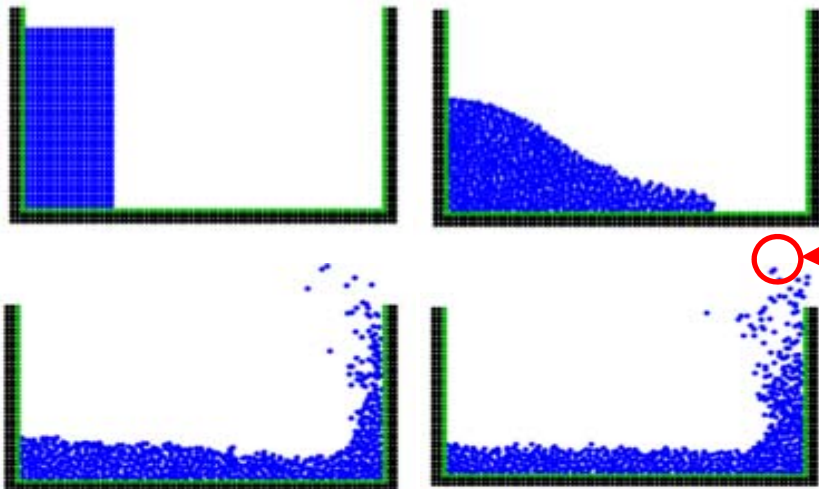
## Mesh Method

粒子法  
例: **SPH**

Low accuracy  
<  $10^6$  particles



- Navier-Stokes solver: Fractional Step
- Time integration: 3rd TVD Runge-Kutta
- Advection term: 5th WENO
- Diffusion term: 4th FD
- Poisson: AMG-BiCGstab
- Surface tension: CSF model
- Surface capture: CLSVOF(THINC + Level-Set)



High accuracy >  $10^8$  mesh points



Numerical noise and unphysical oscillation





# MUPHY : Multi-Physics Simulator

[Massimo Bernaschi]

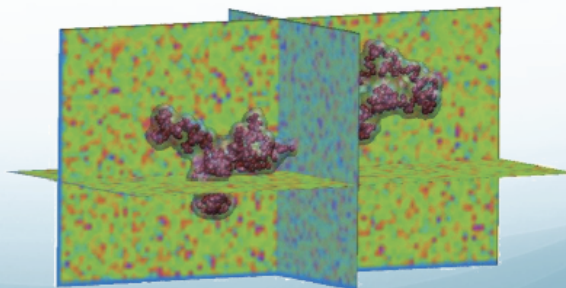
Broad spectrum of **fluid-particle** coupling mechanisms

Library of particle and molecular representations

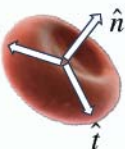
Library of fluid types

Polymers, colloidal suspensions, gels, biofluids, ...

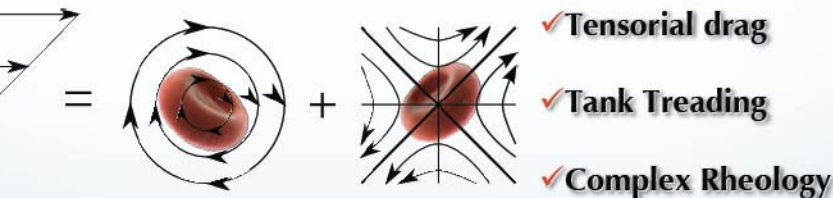
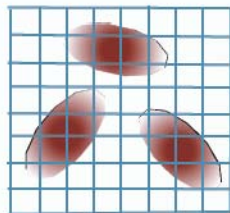
Multi-Platform



## Ellipsoidal Suspensions of RBC



$$\delta_{\vec{v}_n \vec{v}_t}^\lambda(x) = \prod_{\alpha=x,y,z} \tilde{\delta}_{\vec{v}_\alpha}^\lambda((Qx)_\alpha)$$



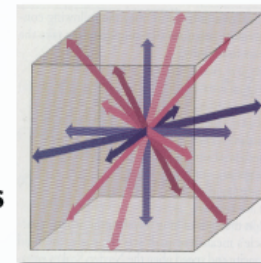
Strip off DOFs: O(10) per RBC

## Blood Plasma via Lattice Boltzmann

From (minimal) Boltzmann equation

$$(\partial_t + \vec{v} \partial_x) f(\vec{x}, \vec{v}, t) = -\omega(f - f^{eq})(\vec{x}, \vec{v}, t)$$

Collision + Streaming of a set of discrete velocities



Superset of the Navier-Stokes dynamics

Exact streaming (no self-convection): uniform mesh

Complexity O(N)

Enable complex geometries

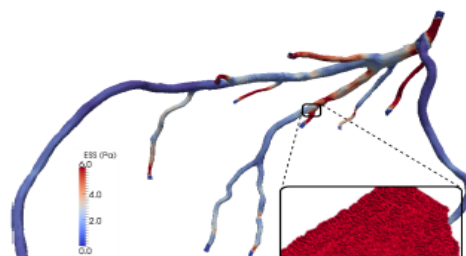
## MUPHY Performance on the TiTech GPU cluster

The performance of 1536 GPUs for the Lattice Boltzmann kernel is the same as the whole Jülich BlueGene/P system (294712 cores!)

# of GPUs	time	efficiency
256	76.16	N.A.
512	38.52	98.86%
1024	19.95	95.37%
1536	13.43	94.43%

x3 40 rack BG/P

# of GPUs	time
256	648.23
512	327.97

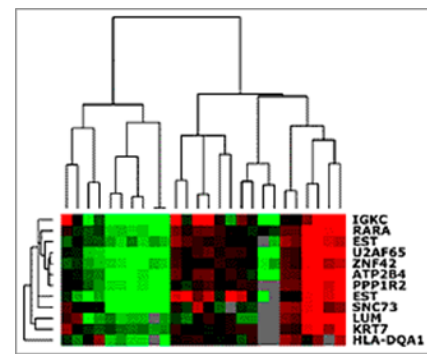
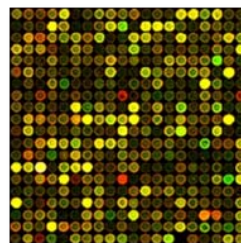
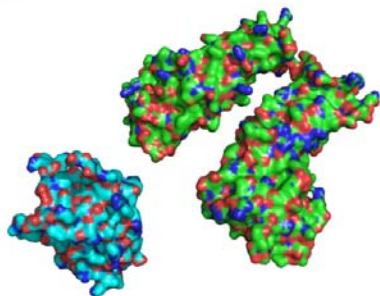


LB and Molecular Dynamics  
 $1 \times 10^9$  nodes,  $100 \times 10^6$  cells

# バイオインフォマティクス

コンピュータで生物学に関する  
大量データを解析・理解・予測する学問。

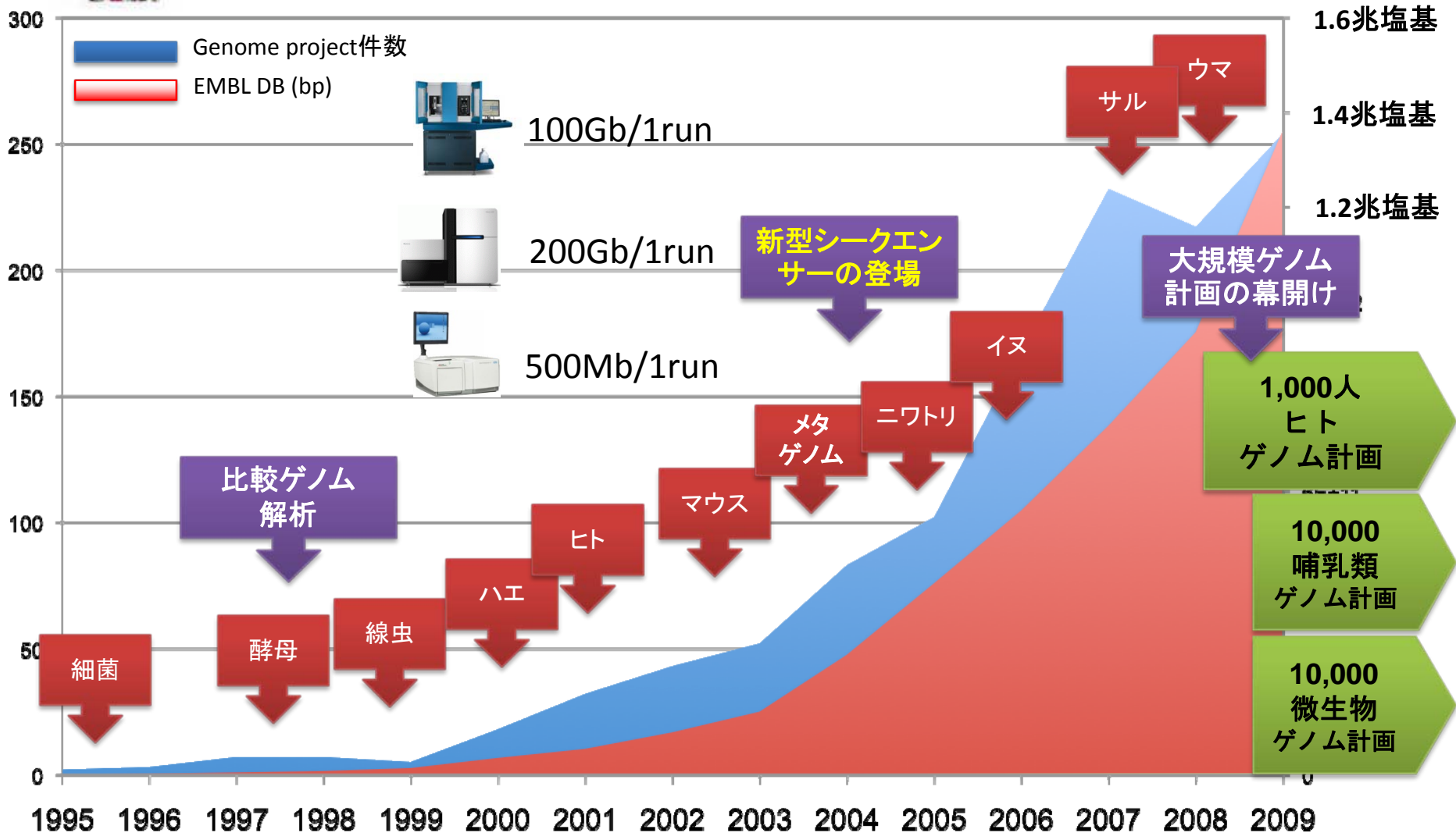
「生命情報科学」



大量データ + 傾向発見 → 予測 (データマイニング)  
系のモデル + 数値代入 → 予測 (シミュレーション)



# ゲノム科学の爆発的発展



西暦年

提供: 黒川 顕 教授(生命理工)

# メタゲノム解析

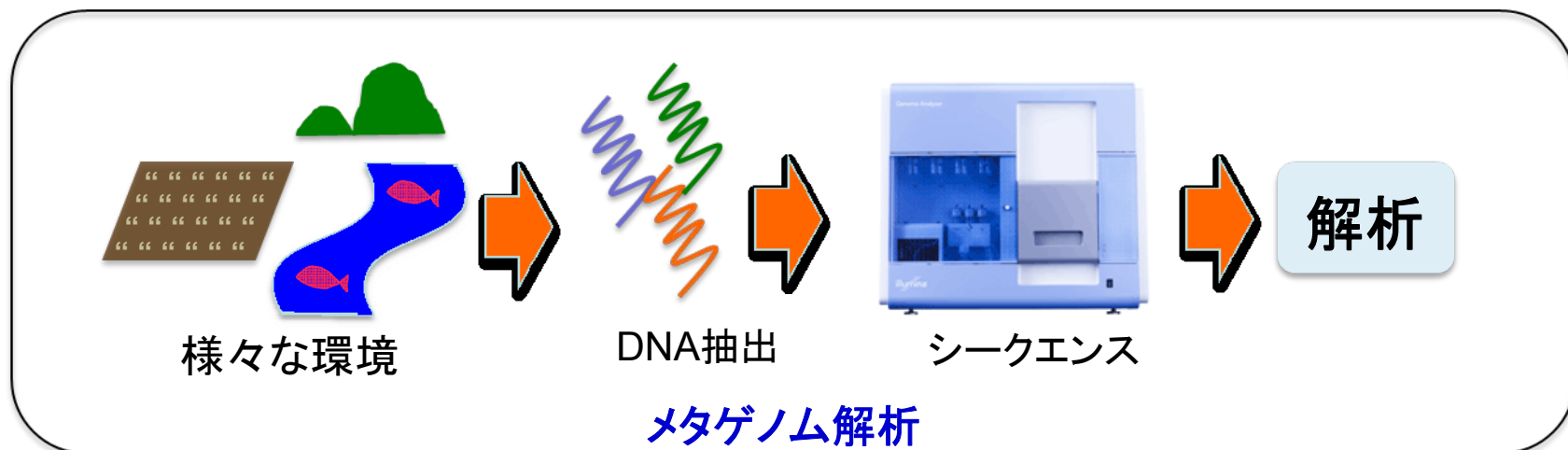
細菌は地球上のあらゆる環境に存在し、環境は細菌の遺伝子によって満たされている。



➡ 環境は**巨大な遺伝子プール**だとみなすことができる。

新型シーケンサーの登場およびコンピューター技術の発達により、ゲノム情報をより多く、より早く手に入れることが可能になった。

➡ 遺伝子プールを解明する唯一の手段、**メタゲノム解析**が可能になりつつある。



# 土壌メタゲノムプロジェクト – KEGG DBへのBLASTX –

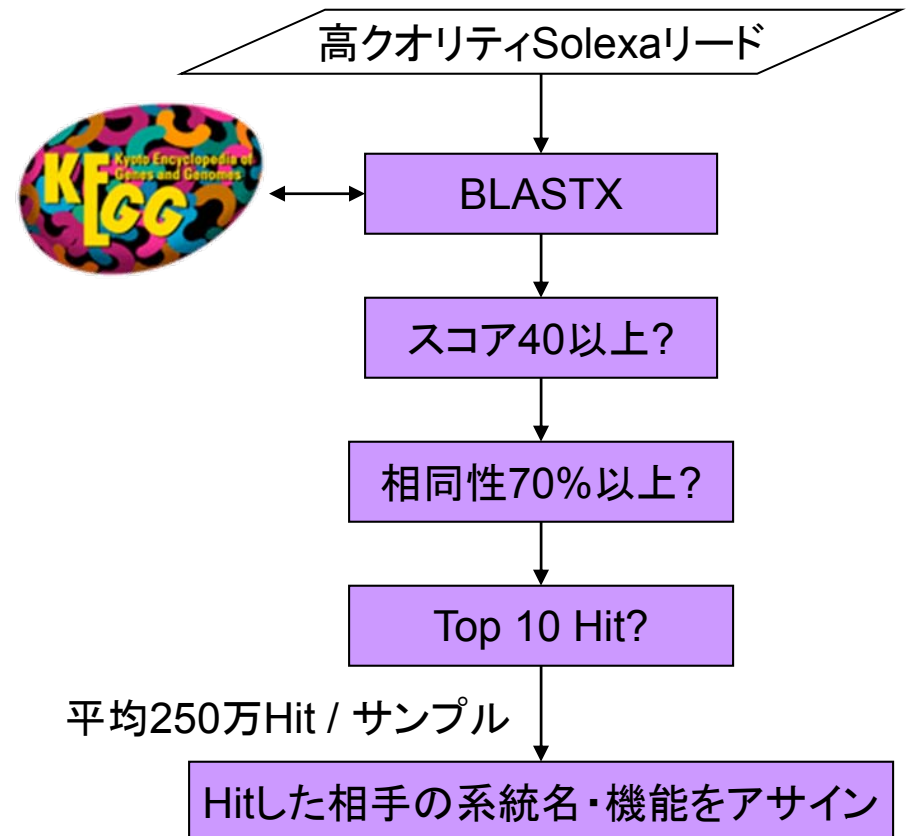


解析に使用したSolexa配列の本数

Samples	Total Reads
0week	12,717,083
1week_C	13,595,042
1week_M	11,728,687
3week_C	8,695,063
3week_M	10,405,877
6week_C	12,073,087
6week_M	11,493,280
12week_C	11,188,195
12week_M	7,360,481
24week_C	12,979,727
24week_M	14,516,215
<b>Total</b>	<b>126,752,737</b>

黒川 顕 教授  
(東工大生命情報専攻)

計算には東工大のTSUBAMEを使用



KEGG DBとアミノ酸配列レベルで比較し、微生物系統と遺伝子機能を推定する。

# マルチGPU環境による大規模バイオインフォマティクス

## 1) 大量DNA断片配列向けの相同性検索:

- 従来のRMAP等の低感度マッピング法とは一線を画するBLAST並みの高感度検索を行う"**GHOST**"システムを開発。
- メタゲノム解析で必要となるアミノ酸ベースの比較が可能。
- 4GPUのTesla S1070を1基用いた場合、単一CPUコア上でBLASTPを実行するのに比べて**約200倍の高速化を達成**。
  - 次世代シーケンサ Illumina社 Genome Analyzerによって決定された土壌中の微生物メタゲノム断片(60塩基) 10万本をKEGG DBと比較。

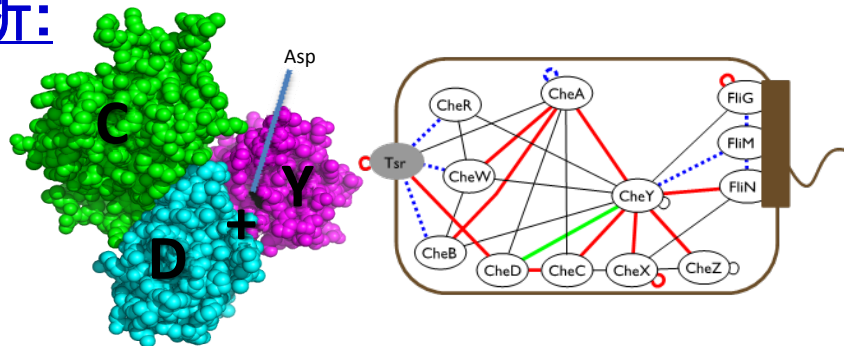
秋山 泰 教授  
(東工大計算工学専攻)



"GPU challenge 2010"  
自由課題部門 第1位受賞

## 2) タンパク質立体構造の形状相補性解析:

- $1000 \times 1000 =$  百万ペア級の、総当たりの**網羅的タンパク質間ドッキング計算**に挑戦する独自並列ソフトウェア"**MEGADOCK**"を開発。  
(MEXT 次世代生命体統合シミュレーションPJ)



大腸菌走化性系の網羅的ドッキング予測 (JBCB 2009)

- バクテリアの化学走性の制御機構の解析
- 肺がんに関係するEGFRシグナル伝達系の解析

- CheY, CheD, CheCの3つのタンパク質間の未知の相互作用の可能性を計算で示唆した。

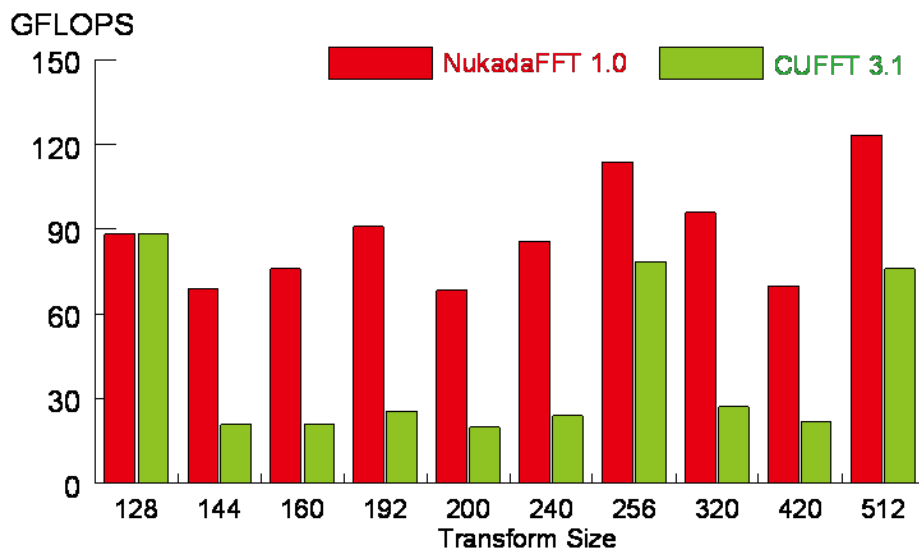


# NukadaFFT 1.0 release !? [SC08,SC09]

**NukadaFFT library is a very fast auto-tuning FFT library for CUDA GPUs.**

Tuning Parameters:

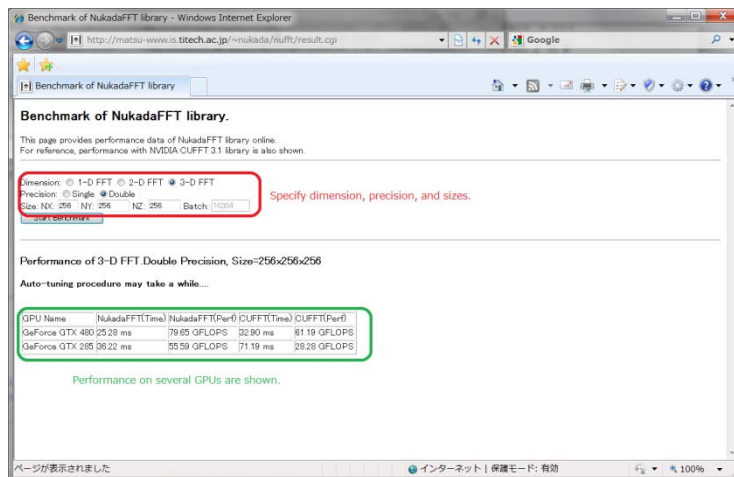
- (1) Factorization of transform size.
  - (2) # of threads launched per SM.
  - (3) Padding insertion patters for shared memory
- The library generates many kinds of FFT kernels and selects the fastest one. (exhaustive)



Performance of 1-D FFT.

(Double Precision, batch=32,768, GPU=GeForce GTX 480.)

For more details, you can see GTC 2010 Research Poster, or catch the author.

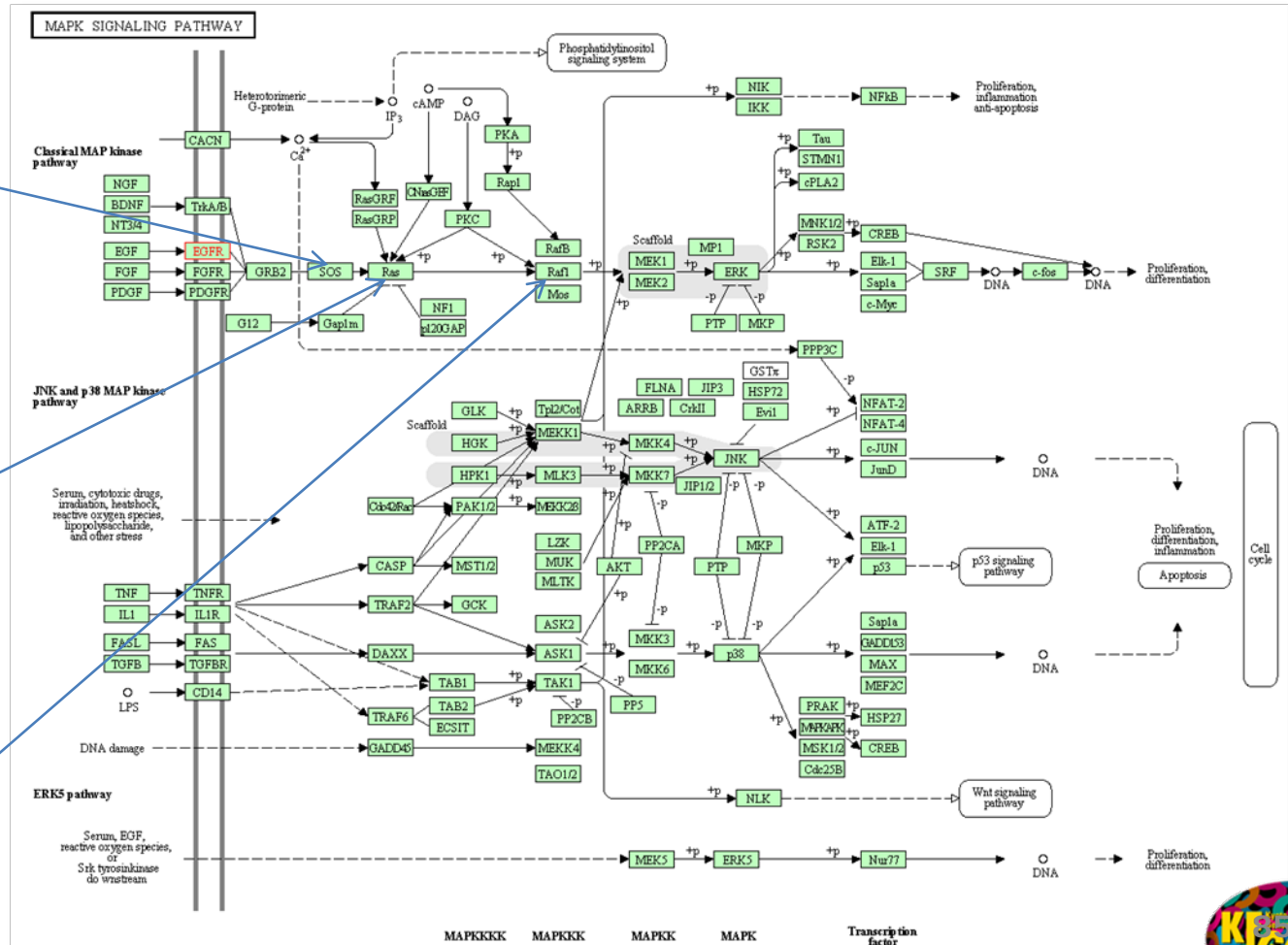
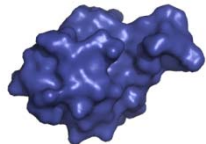
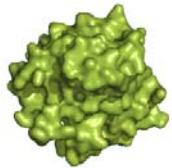
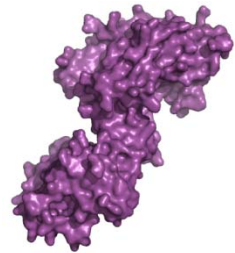


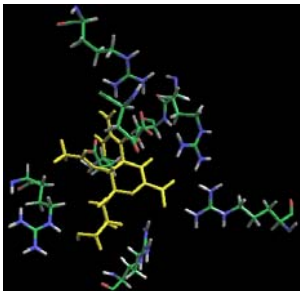
You can try online benchmarking as for the size you are interested in.

<http://matsu-www.is.titech.ac.jp/~nukada/nufft/>

# 肺がん関連(EGFR系)シグナル伝達系

497 × 497 = 247,009 pairsを解析済 (TSUBAME1)  
 1000 x 1000 (1メガ)級の相互作用予測に挑戦

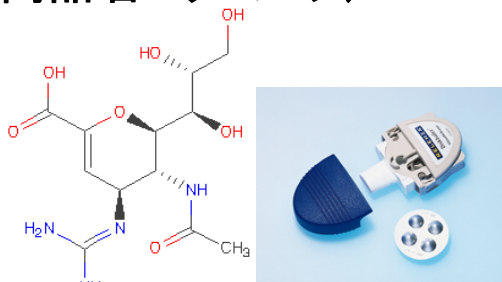




# ab initio フラグメント分子軌道法計算

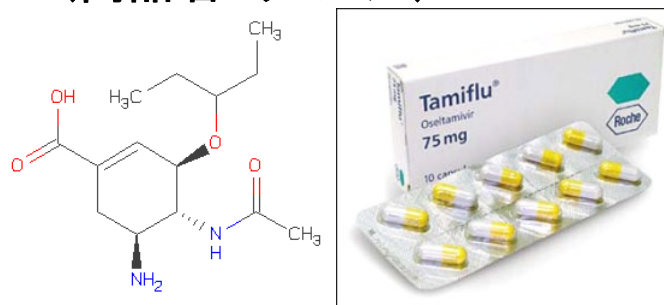
ノイラミニダーゼ酵素 (NA) のポケット部分の立体構造を計算機内で変位させて、薬剤結合性の変化を予測したい。

ザナミビル  
(商品名 リレンザ)



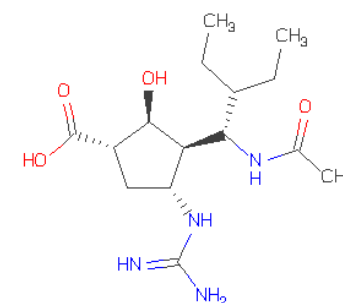
ビオタ社 (1989)

オセルタミビル  
(商品名 タミフル)

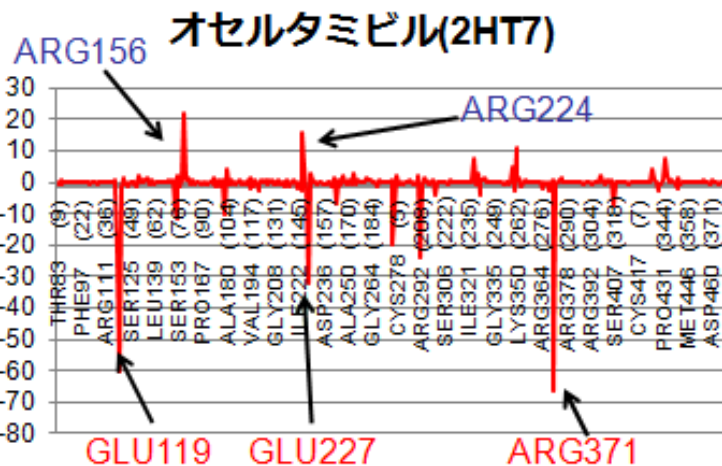


ギリアド・サイエンス社 (1996)

ペラムビル(注射薬)



バイオクリスト社



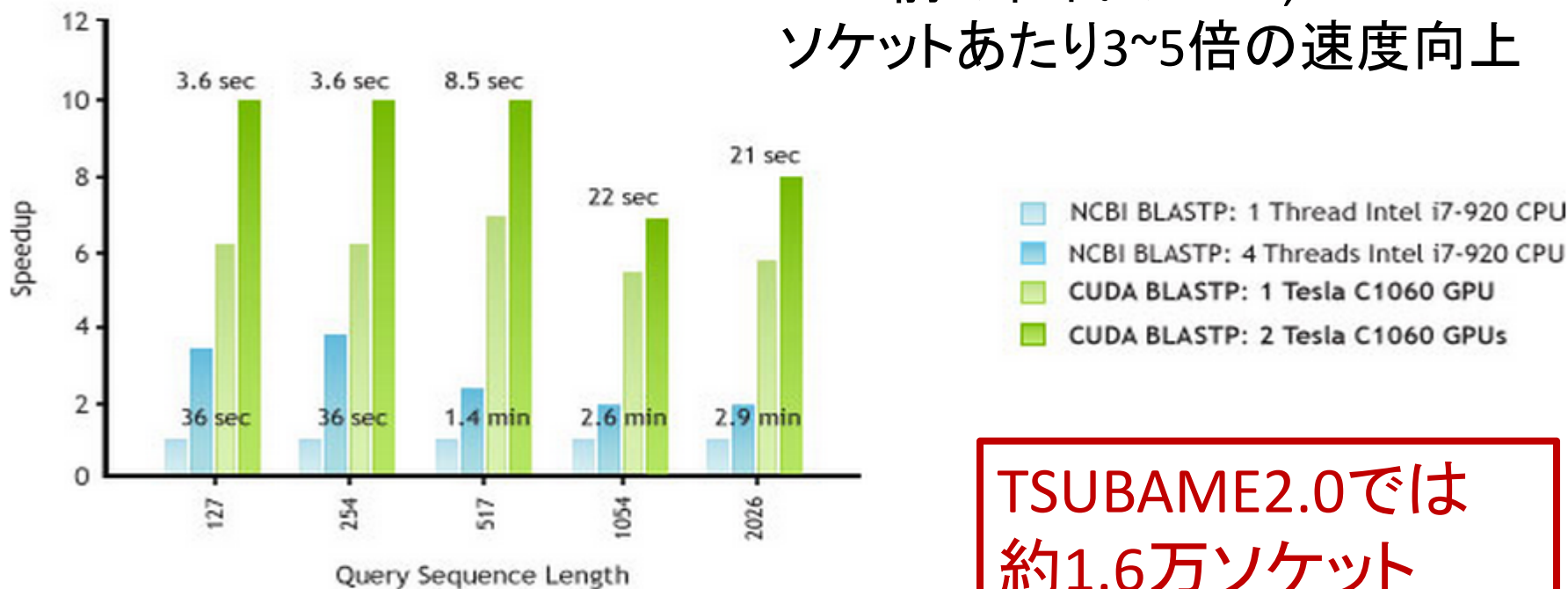
各阻害薬とノイラミニダーゼ酵素の結合プロファイル解析 (尾渡・秋山, 2009)

# バイオインフォ: 遺伝子相同性検索BLAST on GPUs

- CUDA-BLASTP (NTU)

[http://www.nvidia.com/object/blastp\\_on\\_tesla.html](http://www.nvidia.com/object/blastp_on_tesla.html)

CUDA-BLASTP vs NCBI BLASTP Speedups



Data Courtesy of Nanyang Technological University, Singapore

- GPU-BLAST (CMU)

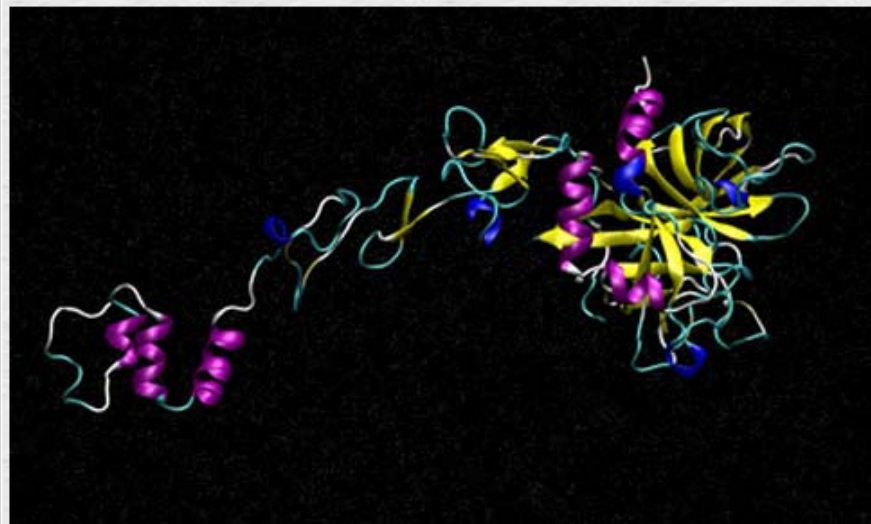
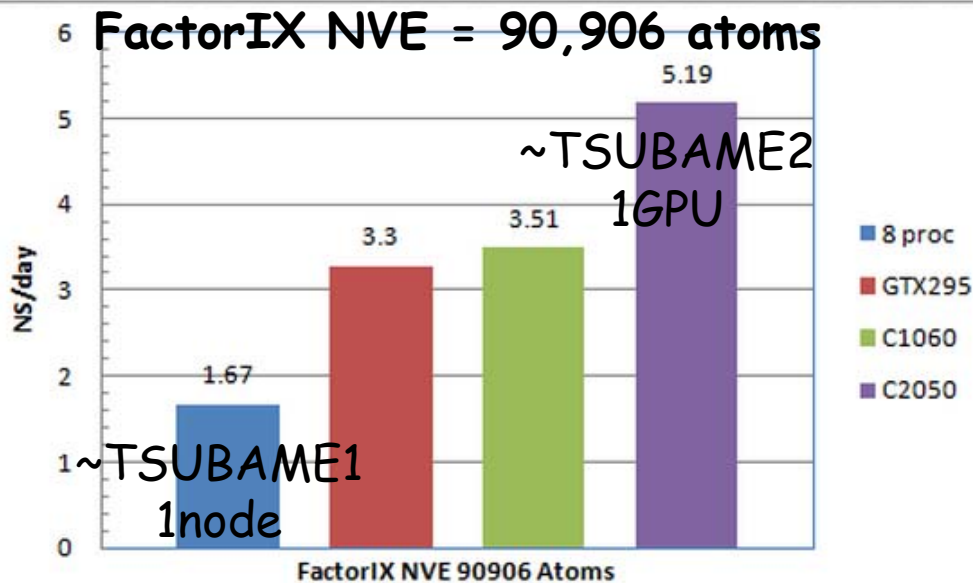
<http://eudoxus.cheme.cmu.edu/gpublast/gpublast.html>

“4 times speedup on Fermi GPUs”

TSUBAME2.0では  
約1.6万ソケット  
(10万CPUコア)相当

# 分子動力学: GPU Amber 11

- ベンチマークでGPU1枚あたり8コアのCPUノードの4-20倍高速
  - マルチGPU版は「9月末に出る」はずだったがまだ出ていない。
- 精度は「問題ない」そうだが、今後検討の余地あり
- 平均10倍とすると、TSUBAME2.0では30万コア相当



# GPUは「アクセラレータ」か？



- 高速計算用専用ハードウェア
  - 少量生産・特殊マーケット・高価格 ×
  - ソフトウェアの世代間の継承の困難さ ×に近い
- アプリケーション分野の限定
  - 特殊な計算処理のみ高速  $\Delta \Rightarrow \times$
  - 「嵌らない」計算はできないか、CPUよりかなり遅い ×
- 一般的なプログラムの不動作
  - 特殊なプログラミング・言語等  $\Delta \Rightarrow \times$
  - ポインタ、リカーション、構造体などの制限  $\Delta \Rightarrow \times$
  - OS等、システムソフトウェアは動かない・連動しない  
 $\Delta \Rightarrow \times$  (CUDA xxx, Denver/Fusion, ...)

以下參考資料



# 今後のペタ級マシン

Inst/Agency/Country(	Name	Machine	Peak Perf
ORNL/DoE/US	Jaguar Upgrade	Cray XT5	2.3PF
Tennessee大学/NSF/US <sup>2009</sup>	Cracken	Cray XT5	1PF
Julich/欧州(ドイツ)	Jugene	IBM BG/P	1PF
中国・防衛大学	天河 (Tihanhe 1)	GPU Cluster/Dawning	1.2PF
中国・深圳国立スパコン	星雲 (Nebulae)	GPU Cluster/???	3PF
日本・東工大	TSUBAME2.0	GPU Cluster/HP-NEC	2.4 PF
LBNL/DoE/US <sup>2010</sup>	Hopper	Cray XE6	1.3PF
中国・防衛大学	天河 (Tihanhe 1-A)	GPU Cluster/Dawning	5 PF
欧州PRACE計画・仏CEA	Tera 100	Nehalem-EX Cluster/Bull	1.25PF
ORNL/DoE/US	Jaguar Upgrade 2	Cray XE6 +GPU	20PF
NCSA/NSF/US	Blue Waters	IBM Power7 server	10PF
LLNL/DoE/US	Sequoia	IBM BG/Q	20PF
ArgonneNL/DoE/US <sup>2011-12</sup>	???	IBM BG/Q	10PF
日本・理研	「京」	富士通 Venus 専用設計	10PF
日本・筑波大	HA-PACS	GPU Cluster/HP-NEC	1PF
欧州ペタコン群/PRACE計画	???	IBM, Cray等	~PF x 4~5
中国	4~6個所	???.Dawning?	合算数十PF以上

# ペタ～エクサへのスケーリング のロードブロック

- 「10億並列へ」は勇ましいが。。。
  - 電力・エネルギー
  - (強)スケーリングの欠落
  - $N^2$  vs.  $N$  問題により深まるメモリ階層 (I/O 含む)
  - 極端に低まる信頼性と実行不能性
  - プログラミングや実行モデル

**ExaScale Computing Study:  
Technology Challenges in  
Achieving Exascale Systems**



**Peter Kogge, Editor & Study Lead**  
 Keren Bergman  
 Shekhar Borkar  
 Dan Campbell  
 William Carlson  
 William Dally  
 Monty Denneau  
 Paul Franzon  
 William Harrod  
 Kerry Hill  
 Jon Hiller  
 Sherman Karp  
 Stephen Keckler  
 Dean Klein  
 Robert Lucas  
 Mark Richards  
 Al Scarpelli  
 Steven Scott  
 Allan Snively  
 Thomas Sterling  
 R. Stanley Williams  
 Katherine Yelick

**Petaを達成したが中国に抜か  
れた米国は2018-2020  
Exa(10<sup>18</sup>)flopへ驀進を開始**  
**Peter Koggeらによる  
300ページのDoD  
Exascaleシステムの  
レポート**

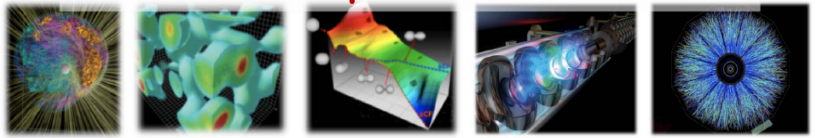
September 28, 2008

This work was sponsored by DARPA IPTO in the ExaScale Computing Study with Dr. William Harrod

**Exa-scale Computational Resources**

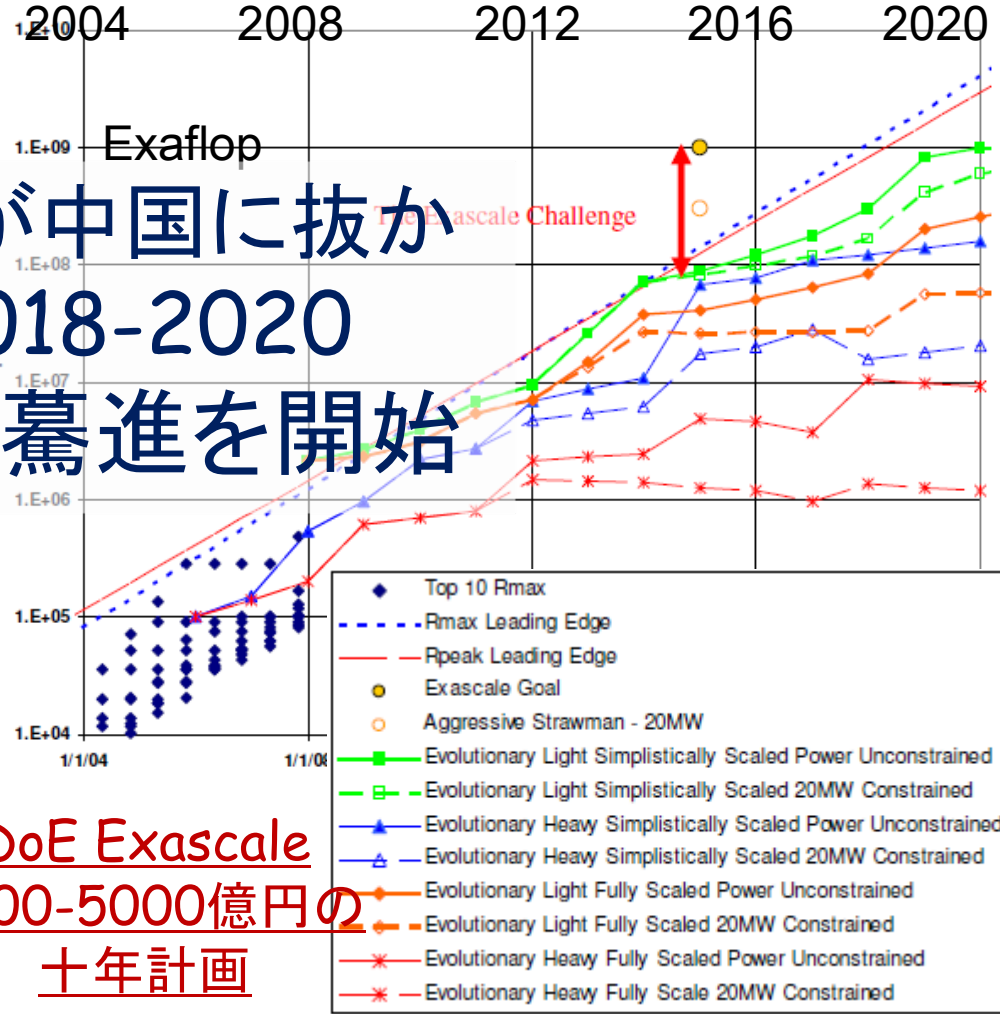
(slide courtesy Martin Savage)

Meeting structured around 6 areas of effort  
**6アプリ分野のExascale Workshop(2008-2009)**



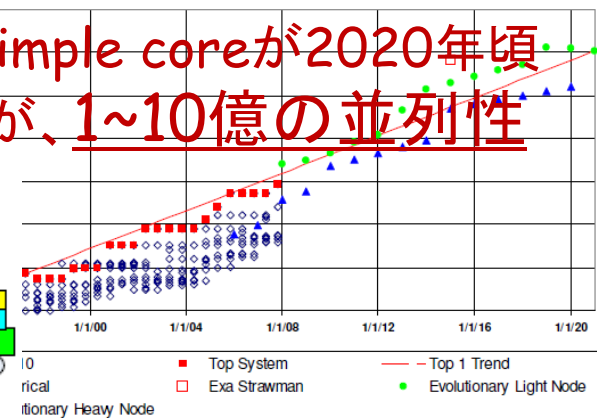
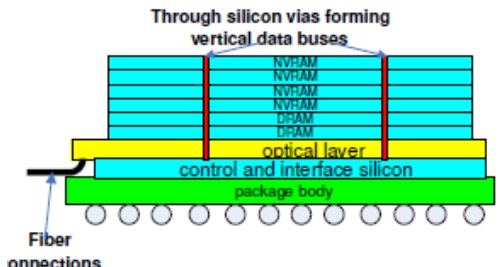
- Exa-scale computing is **REQUIRED** to accomplish the Nuclear Physics mission in each area
- Staging to Exa-flops is crucial :
  - 1 Pflop-yr to 10 Pflop-yrs to 100 Pflop-yrs to 1 Exa-flop-yr (sustained)

Paul Messina June 28, 2009



**DoE Exascale  
2000-5000億円の  
十年計画**

**軽量なsimple coreが2020年頃  
有望だが、1~10億の並列性**



# DoE Exascale 性能指標

System attributes	“2010”		“2015”		“2018-20”	
System peak	2 PetaFlops		100-200 PetaFlops		1 ExaFlop	
Power	Jaguar 6 MW	TSUBAME 1.3 MW	15 MW		20 MW	
System Memory	0.3PB	0.1PB	5 PB		32-64PB	
Node Perf	125GF	1.6TF	0.5TF	7TF	1TF	10TF
Node Mem BW	25GB/s	0.5TB/s	0.1TB/s	1TB/s	0.4TB/s	4TB/s
Node Concurrency	12	O(1000)	O(100)	O(1000)	O(1000)	O(10000)
#Nodes	18,700	1442	50,000	5,000	1 million	100,000
Total Node Interconnect BW	1.5GB/s	8GB/s	20GB/s		200GB/s	
MTTI	O(days)		O(1 day)		O(1 day)	



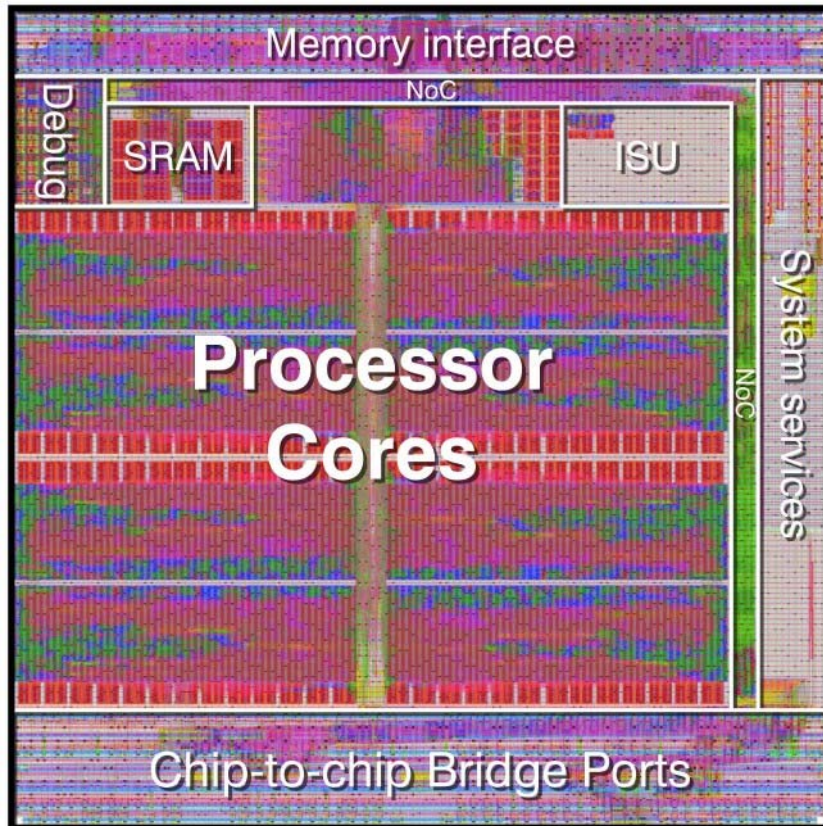
# Exaflopsへ向けた我が国のeScience インフラ・基盤センターへの提言

- 世界レベルのLeadership Computing and Data Facilityとしての性能ロードマップ策定と、基盤センター群による競争・協調・多様性を伴った年次の着実な遂行: HPCIのあるべき型
  - 国家レベルでの年次スケーリングの目標設定
  - 多様性と競争原理の適用→センター毎の定額予算からの脱却
- HPCIの資源センターが自らの計算科学・計算機科学・応用数学を連動するHPC研究開発・人材育成・産学連携体制
  - 理研NLPや研究所を中心とした連携・人材交流
  - 基礎研究=>運用実験=>(リーダーシップ)実運用
  - 「カタログからマシンを買うだけのセンター」はいらない
- 「ガラパゴス」から「国際連携」へ
  - LHCや国際宇宙ステーションに学べ



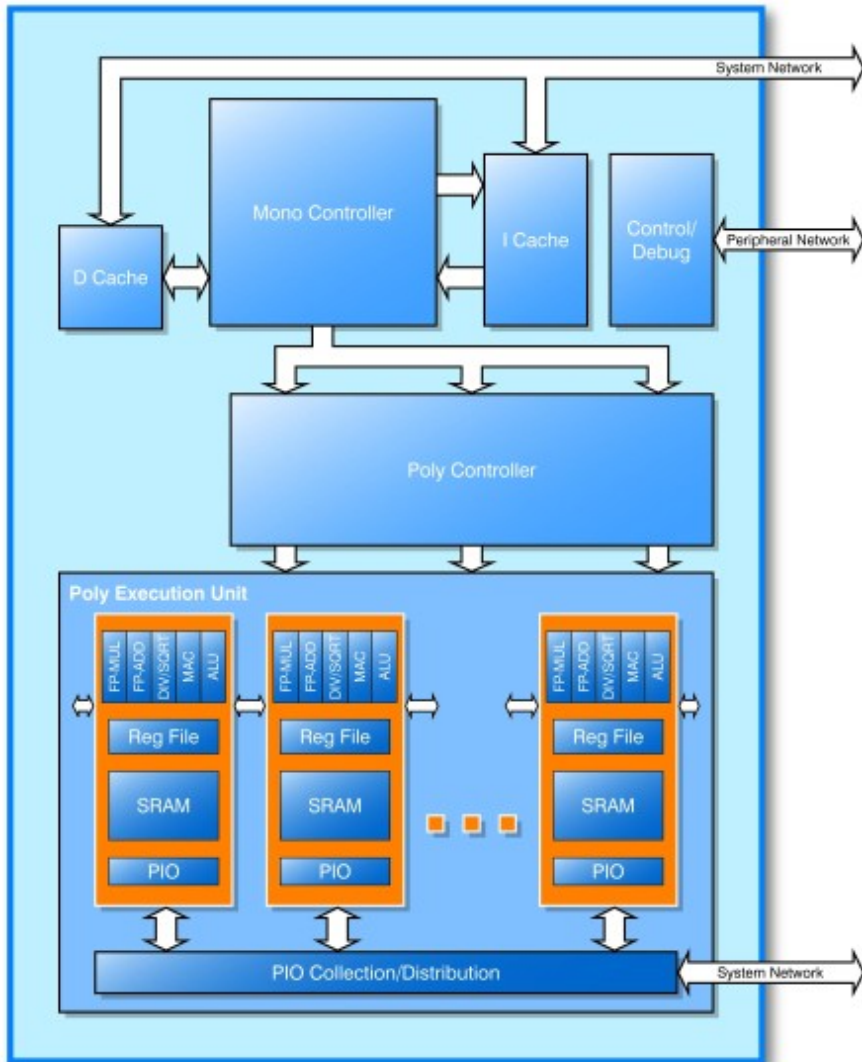
国際Exascale SW Project  
<http://www.exascale.org/>  
筑波 10/19-21/2009

# CSX600 coprocessor layout



- Array of 96 Processor Elements
- 250 MHz, 48 GFlops (Double FP c.f. Grape SFP)
- IBM 0.13 $\mu$ m FSG process, 8-layer metal (copper)
- 47% logic, 53% memory
  - More logic than most processors!
  - About 50% of the logic is FPUs
  - Hence around one quarter of the chip is floating point hardware
- 15 mm x 15 mm die size
- 128 million transistors
- Approx. 10 Watts

# CSX600 processor core



## Multi-Threaded Array Processing

- Programmed in high-level languages
- Hardware multi-threading for latency tolerance
- Asynchronous, overlapped I/O
- Run-time extensible instruction set
- Bi-endian (compatible with host CPU)

## Array of 96 Processor Elements (PEs)

- **Each is a Very Long Instruction Word (VLIW) core, not just an ALU**
- **Flexible data parallel processing**
- Built-in PE fault tolerance, resiliency

## High performance, low power dissipation

# TSUBAME2.0(ファイルサービス基盤:全体概要)

ファイルサービス基盤は3つのサービス基盤から構成

- **並列ファイルサービス基盤**
  - ▶ Lustreを構築し、並列ファイルシステム領域として利用
  - ▶ LustreのRedundancy機能により信頼性を確保
- **ホームファイルサービス基盤**
  - ▶ NFS, CIFSを構築し、ホーム領域のマウントポイントとして利用
  - ▶ iSCSIによりネットワーク経由で仮想ブロック、オブジェクトストレージの作成が可能
- **Gridファイルサービス基盤(今後サービス提供予定)**
  - ▶ 学外のファイルサービスに対して、ファイル転送
  - ▶ グリッドのファイル共有システムを構築するため、GridFTP, Gfarm2を構築
  - ▶ Gfarm2により、学外から並列ファイルシステム領域の利用が可能

## TSUBAME2.0のファイルサービス

7.13PB

1) Lustre  
並列ファイルシステム領域を提供するサービス  
高速, 高信頼性 5.93PB

2) NFS, CIFS, iSCSI  
ホーム領域を提供するサービス  
高信頼性, 高可用性 1.2PB

## 学外のファイルサービス

ファイル転送, ファイル共有

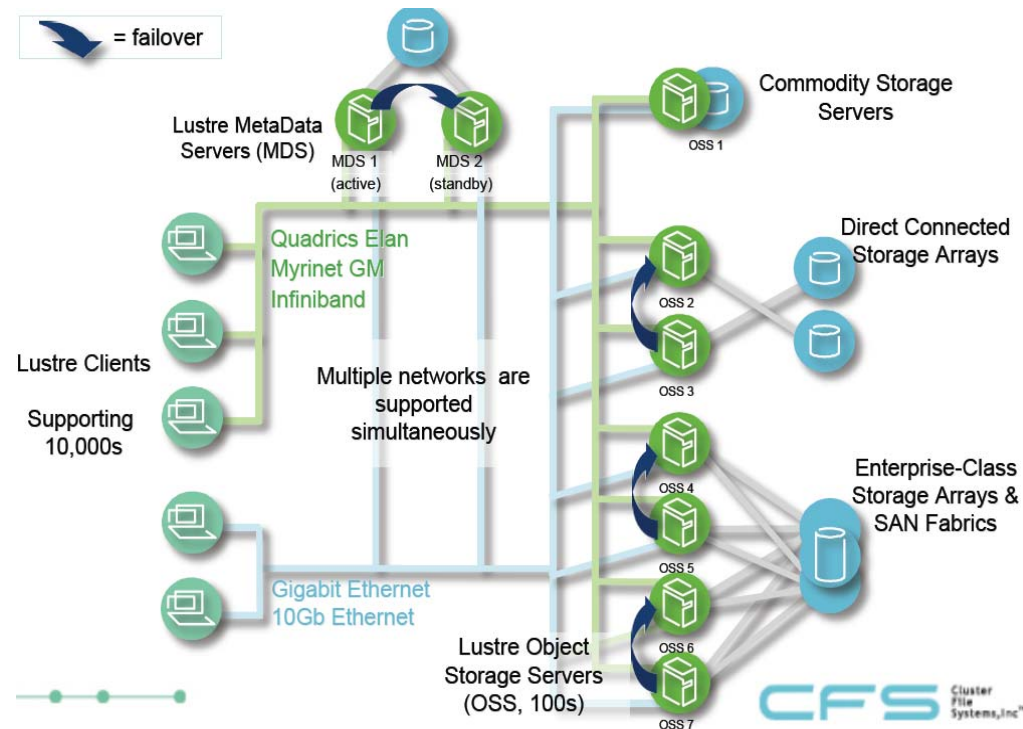
3) Gfarm2 : Gridファイル共有サービス  
GridFTP: Gridファイル転送サービス

# TSUBAME2.0( 並列ファイルシステムサービス基盤 )

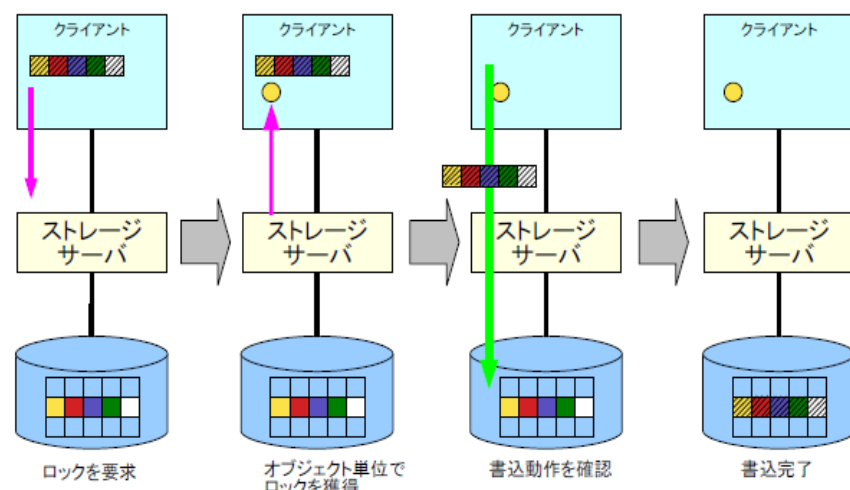
大規模グリッド環境で、容量、アクセス性能の両面において優れたスケーラビリティを発揮し、豊富な稼働実績を有するLustre並列ファイルシステムで構築

- オブジェクトストレージサーバ・ベースの並列(クラスター)ファイルシステム

- ▶ オブジェクトストレージサーバの導入によりクライアントとストレージ装置をSAN等で直接接続することなく、大規模な並列ファイルシステムを構築することが可能
- ▶ メタデータサーバは、オブジェクトの生成等にのみ関与し実I/Oには関与しないため高いスケーラビリティを実現



## オブジェクト・レベル・ロック



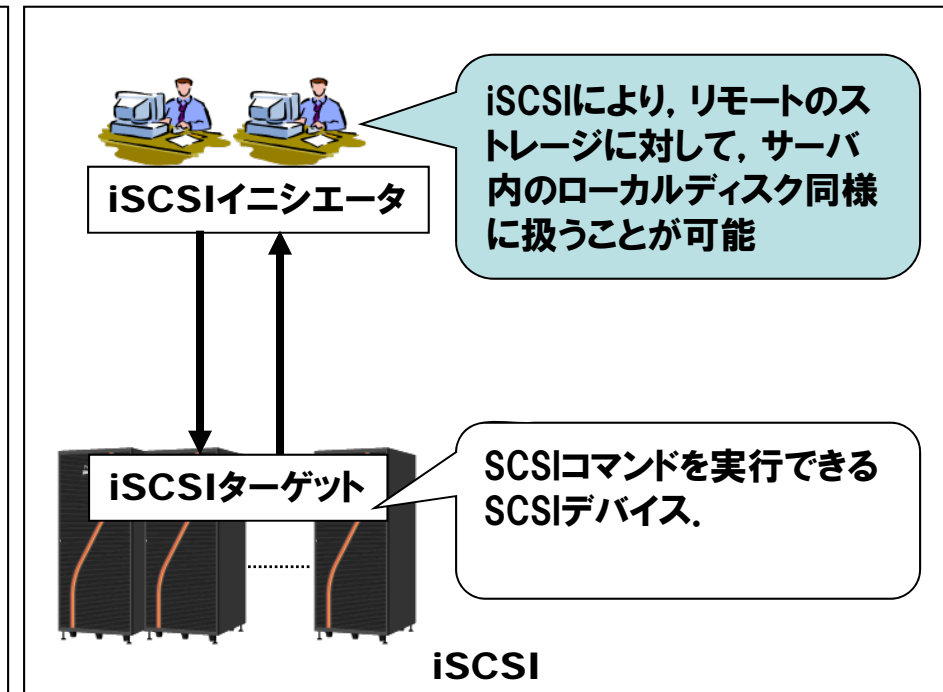
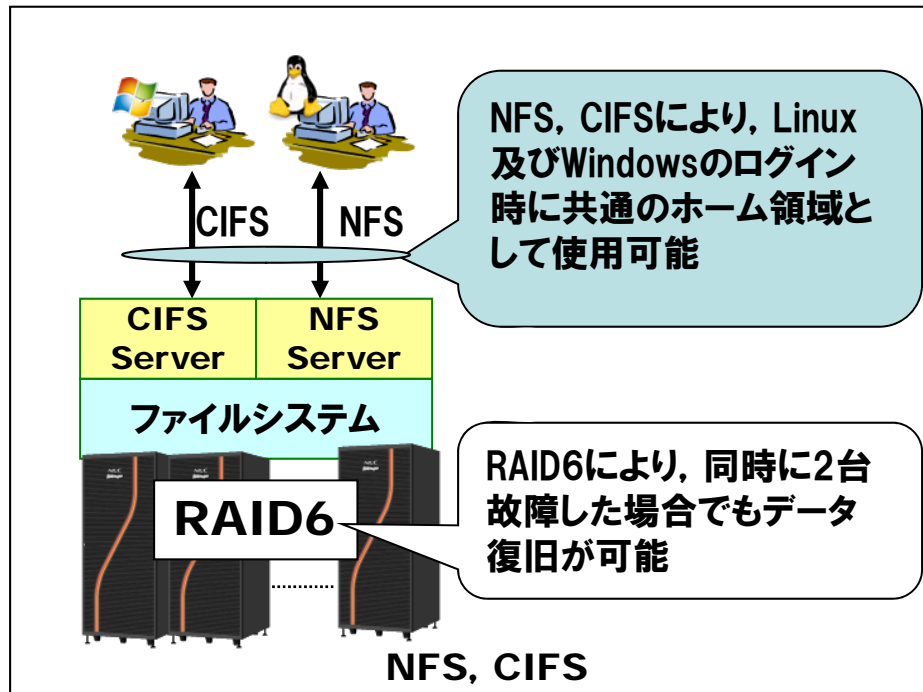


# TSUBAME2.0(ホームファイルシステムサービス基盤) -NFS, CIFS, iSCSI-

Linux及びWindowsからマウント可能なホーム領域を堅牢性を高めて構成

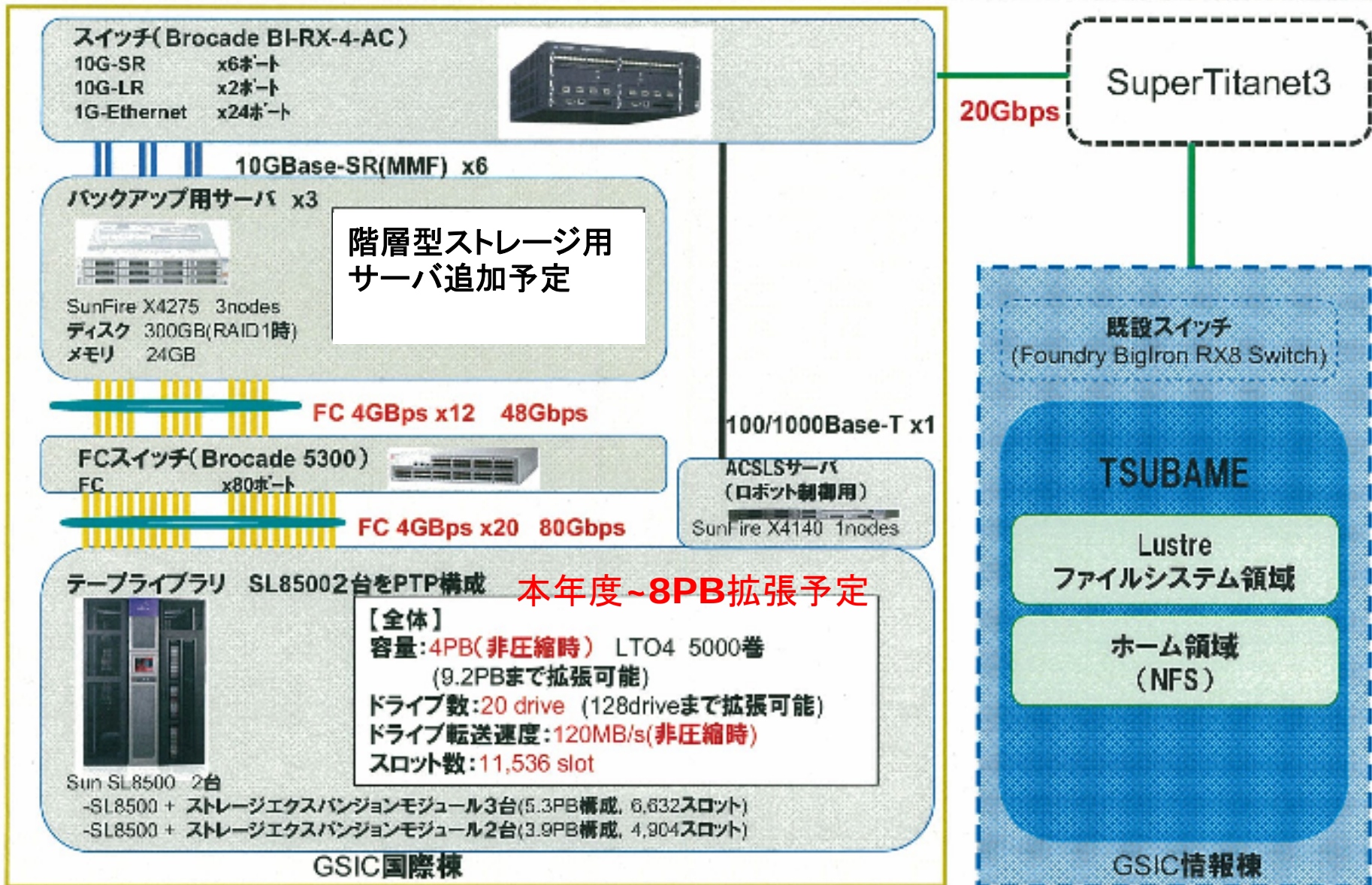
## ● データ保存サービスの特長

- ▶ LinuxノードからNFSにより利用可能
- ▶ WindowsノードからCIFSにより利用可能
- ▶ RAID6により2台故障した場合でも復旧可能 ※RAID5,RAID1+0でも構成可能
- ▶ iSCSIにより, リモートのストレージに対して, サーバ内のローカルディスク同様に扱うことが可能



# TSUBAME2.0 テープシステム (別調達)

## 合計15PB以上、階層ファイルシステムの構築



# 東工大 e-Science RENKEI-POP による分散ストレージ・HPCIへの貢献

- 目的: 高速SINET網を活用・スパコンセンター間データ共有基盤の構築
  - ▶ RENKEIプロジェクト(文科省e-Science委託事業)と連携
- ストレージサーバRENKEI-PoP (Point of Presence) の開発・全国に配備
  - ▶ 大容量、高速IO性能を備えたデータ転送用サーバアプライアンス
  - ▶ SINET3上に広域ファイルシステムGfarm等によりRENKEI-クラウド構築
  - ▶ TSUBAME2.0や他の機関のスパコン間の大規模データ交換



CPU	Core i7 975 Extreme (3.33 GHz)
Memory	12GB (DDR3 PC3-10600 , 2GB*6)
NIC	10GbE (without TCP/IP Offload Engine)
System Disk	500GB HDD
SSD RAID	30TB (RAID 5, 2TB HDD x 16)

- 現在9拠点に配備、110TBの高速分散クラウドストレージとして利用可能

東京工業大学

大阪大学

国立情報学研究所

高エネルギー加速器研究機構

名古屋大学

筑波大学

産業技術総合研究所

東北大学

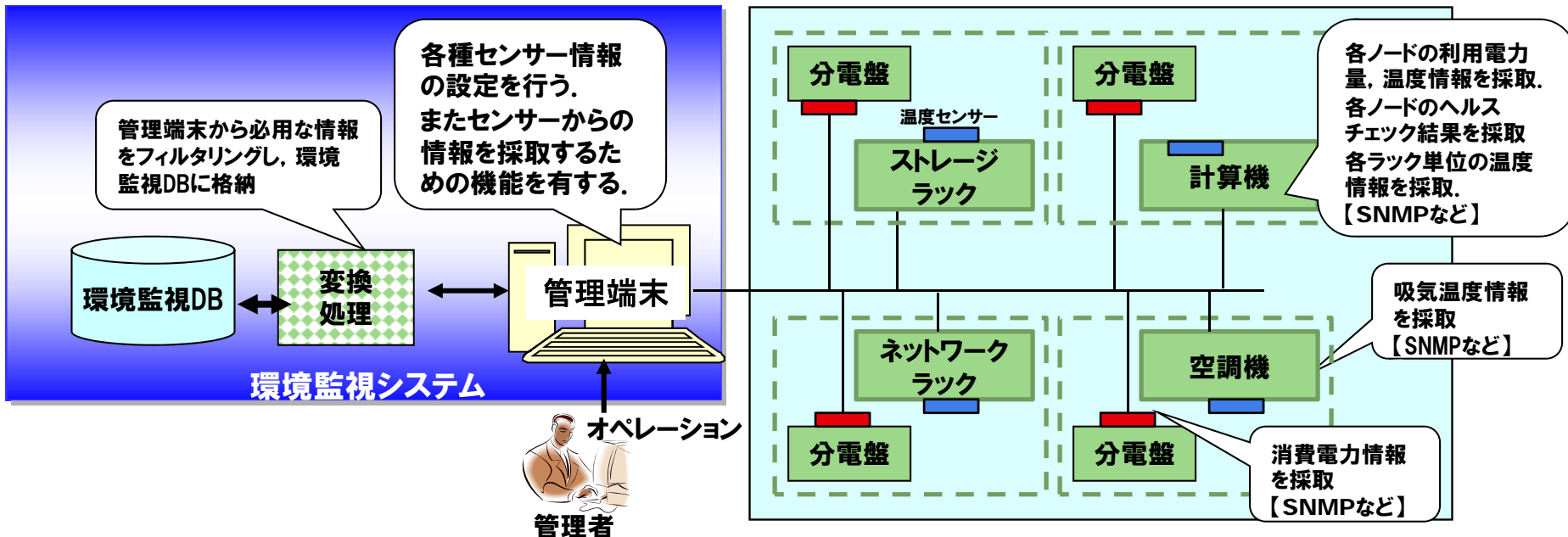
近年度中に全大学  
盤センターに?



# グリーンスパコン: 環境監視システム

各計算ノード, ラック, 及び計算機室の温度情報・消費電力等を監視する「**環境監視システム**」。

- センサー情報及び各計算ノードの情報をオンラインでモニタリング
  - ▶ 温度情報(温度センサーから取得)
  - ▶ ヘルスチェック結果, サービス提供状況, 故障の有無
  - ▶ 消費電力(各ノード・及び各分電盤から取得)



# TSUBAME2.0 (Green:ピーク電力抑制制御)

「ジョブ管理システム」と「運転管理システム」により、電力抑制警報発令時に手動で縮退運転へ移行。これにより、Peak電力を削減することが可能

## ● 電力抑制警報発令時の特徴

- ▶ 現行ユーザのチェックポイントの取得が可能なジョブはチェックポイントを取り、ノードを停止することにより縮退運転に移行。
- ▶ チェックポイントを取得したジョブはリスタート機能、取得できないジョブは再投入により、ユーザジョブを直接的に妨げること防ぎます。

